

ГОСУДАРСТВЕННЫЙ КОМИТЕТ СССР ПО ГИДРОМЕТЕОРОЛОГИИ
И КОНТРОЛЮ ПРИРОДНОЙ СРЕДЫ

ИНСТИТУТ ГЕОГРАФИИ АКАДЕМИИ НАУК СССР

РЕСУРСЫ ПОВЕРХНОСТНЫХ ВОД СССР

КАТАЛОГ ЛЕДНИКОВ СССР

Том 14

СРЕДНЯЯ АЗИЯ

ВЫПУСК 3

АМУДАРЬЯ

ЧАСТЬ 11

БАССЕЙН р. ВАНЧА

ЧАСТЬ 12

БАССЕЙН р. ЯЗГУЛЕМА



ЛЕНИНГРАД
ГИДРОМЕТОИЗДАТ·1978

ГОСУДАРСТВЕННЫЙ КОМИТЕТ СССР ПО ГИДРОМЕТЕОРОЛОГИИ
И КОНТРОЛЮ ПРИРОДНОЙ СРЕДЫ

ИНСТИТУТ ГЕОГРАФИИ АКАДЕМИИ НАУК СССР

РЕСУРСЫ ПОВЕРХНОСТНЫХ ВОД СССР

КАТАЛОГ ЛЕДНИКОВ СССР

Том 14

СРЕДНЯЯ АЗИЯ

ВЫПУСК 3

АМУДАРЬЯ

ЧАСТЬ 11

БАССЕЙН р. ВАНЧА

ЧАСТЬ 12

БАССЕЙН р. ЯЗГУЛЕМА

Г. Б. ОСИПОВА



ЛЕНИНГРАД
ГИДРОМЕТОИЗДАТ · 1978

Каталог ледников бассейнов рек Ванча и Язгулема составлен и отредактирован в отделе гляциологии Института географии АН СССР. Каталог рекомендован к печати секцией гляциологии Межведомственного геофизического комитета при Президиуме АН СССР

Ответственный редактор
О. Н. ВИНОГРАДОВ

Редакторы:
Г. И. КОНОВАЛОВА, П. Н. ОГАНОВСКИЙ

В Каталоге дается характеристика географического положения, морфологии, климатических условий существования ледников бассейнов рек Ванча и Язгулема. Приводятся основные сведения о ледниках, схемы расположения ледников.

Рассчитан на географов, гляциологов, гидрологов, метеорологов.

ПРЕДИСЛОВИЕ

Каталог ледников бассейнов рек Ванча и Язгулема составляет две части многотомного издания «Каталога ледников СССР», входящего в свою очередь в качестве самостоятельного раздела в издание «Ресурсы поверхностных вод СССР».

Каталог ледников бассейнов рек Ванча и Язгулема входит в т. 14 — Средняя Азия, вып. 3 — Амударья, разделенный на 18 частей. Бассейн р. Ванча составляет часть 11, а бассейн р. Язгулема — часть 12 выпуска. Деление Каталога ледников СССР на тома, выпуски и части приведено ниже.

Вследствие территориальной близости рек Ванча и Язгулема, сходства физико-географических условий их бассейнов, а также принадлежности к одной административной единице — Ванчскому району — в Каталоге дается общая характеристика географического положения, морфологии, климатических условий и режима ледников этих бассейнов с последующим делением на части при составлении табл. I — Основные сведения о ледниках (с пояснениями).

Бассейн р. Ванча разделен на три частных района. Первый включает бассейны правых притоков р. Ванча до слияния рек Ванча и Абдукарова (ледники № 1—95), второй район — бассейн верховьев р. Ванча и его крупного левого притока — р. Абдукарова (ледники № 96—170), третий район — бассейны левых притоков р. Ванча (ледники № 171—243).

Бассейн р. Язгулема также разделен на три района. Ледники бассейнов правых притоков р. Язгулема до слияния рек Мазардара и Ракзоу (№ 1—43) составляют ледники первого района, ледники бассейнов рек Мазардара и Ракзоу (№ 44—151) — второго, а ледники бассейнов левых притоков р. Язгулема (№ 152—244) — третьего.

Каталог состоит из пяти основных таблиц:

Таблица I — Основные сведения о ледниках (с пояснениями),

Таблица II — Список гидрометеорологических станций и постов в районе ледников,

Таблица III — Список суммарных осадкомеров и снегомерных пунктов в районе ледников,

Таблица IV — Экспедиционные и стационарные исследования ледников,

Таблица V — Список работ, содержащих сведения о ледниках.

Все эти таблицы составлены в соответствии с требованиями «Руководства по составлению Каталога ледников СССР».

Таблицы II—V составлены без разделения на части.

Кроме того, Каталог содержит характеристику географического положения, климатических усло-

вий и морфологии ледников, орографическую схему района, схему расположения в бассейне гидрометеорологических станций и постов, суммарных осадкомеров, а также графический и табличный материалы.

В табл. 1 приведены сведения о линейных размерах и площади каждого ледника, его морфологическом типе, экспозиции, высоте над уровнем моря, положении фирновой линии, площадях аккумуляции и абляции, площадях с моренным покрытием и без него.

В процессе камеральных и полевых работ выяснилось, что контуры ледников на крупномасштабных картах нанесены очень схематично и обобщенно, а иногда неверно (в случаях особо грубого искажения участков местности морфометрические данные в табл. I даны в скобках). Поэтому основным источником для уточнения и исправления гляциологических контуров явились материалы аэрофотосъемок. Летом 1972 г. было проведено аэровизуальное дешифрирование ледников, во время которого корректировались граници ледников, отмечались их расхождения с аэрофотоснимками, определялись морфологические типы ледников, характер питания ледников, распределение на них моренного покрытия, наличие погребенных льдов и др. К сожалению, зима и весна 1972 г. были многоснежными и в августе, когда проводились полеты, большая часть ледников еще не освободилась от снежного покрова. Поэтому не было возможности уточнить положение границы питания на ледниках.

В бассейне р. Ванча на ледниках Меджежем и Географического общества с 1963 по 1974 г. проводила работы Памирская высокогорная экспедиция Института географии АН СССР под руководством Л. Д. Долгушина. В составе этой экспедиции автором были произведены маршрутные обследования этих ледников, а также ледников бассейнов рек Абдукарова, Дустироза, Дарансунгат и Дарайсед.

Камеральное дешифрирование аэросъемки производилось по нетрансформированным аэрофотоснимкам при помощи стереоскопа. Окончательно отдешифрованный контур ледника визуально переносился на крупномасштабную топографическую карту, с которой были получены все морфометрические данные, помещенные в табл. I.

Морфологический тип ледника (графа 4, табл. I), как правило, определялся по аэрофотоснимкам, а также по наблюдениям с воздуха или маршрутным исследованиям. Морфологический тип ледников соответствует классификации, рекомендованной

«Руководством по составлению Каталога ледников СССР».

Экспозиция ледника (графа 5) определялась в соответствии с экспозицией основной его площади. В тех случаях, когда ледник резко меняет свое направление, экспозиция дана отдельно для его частей, а экспозиция основной площади ледника, которая была принята для составления табл. 7 и 8, выделена жирным шрифтом.

Длина ледника измерялась по карте масштаба 1 : 100 000 дважды: вдоль оси ледника от его конца и отдельно от чистого конца ледника до верховьев самого длинного из питающих его потоков, при помощи измерителя с раствором 2 мм. Длина ледника дается с точностью до 0,1 км. Площадь ледника также измерялась дважды по специально подготовленной топографической карте при помощи палетки со стороной квадрата 1 мм. Средние значения из двух измерений площади ледника с точностью до 0,1 км² заносились в графы 8, 9, 15, 16. В тех случаях, когда площадь одной из частей ледника составляла менее 0,1 км², в соответствующей графе ставился прочерк. В конце каждой группы ледников, принадлежащих к определенному речному бассейну, в графах 8, 9, 15 записываются суммарные значения площадей ледников, открытых частей и областей аблации. Если в бассейне реки имеются ледники площадью менее 0,1 км², то их количество и суммарная площадь записывались ниже итоговых данных вне граф таблицы и далее приводилась общая сумма площадей всех ледников.

Высотные отметки характерных точек ледников (графы 10, 11, 12) приводятся с точностью до 10 м. Высота фирновой линии (графа 13) определялась при дешифрировании аэрофотоснимков и поэтому является высотой границы питания на дату съемки. Она определялась с точностью до 50 м. Для ледников с асимметричным питанием или с многокамерными областями питания, в пределах бассейнов которых высота границы питания меняется, даны пределы ее изменения.

Объем льда (графа 17) вычислен по формуле Н. В. Ерасова $V=0,0277\sqrt{S^3}$, где S — площадь ледника. Он приводится с точностью до 0,0001 км³. В итоге для каждого бассейна дается суммарный объем льда.

Непосредственно за табл. I в Каталоге помещены пояснения к ней, где в необходимых случаях представлены дополнительные сведения о ледниках. В таких случаях в графе 1 табл. I у номера ледника, к которому имеется пояснение, ставится звездочка(*)

Таблица II содержит список гидрометеорологических станций и постов, данные которых могут быть использованы для суждения о климатических условиях существования современного оледенения. В списке указаны все станции и посты независимо от их ведомственной принадлежности, действовавшие в момент составления Каталога. Все помещенные в табл. II станции и посты показаны на рис. 32.

Литературных данных о ледниках бассейнов рек Ванча и Язгулема мало. Основная работа по этому району — сводка Р. Д. Забирова «Оледенение Памира» (табл. V № 25). К ней приложен каталог ледников Памира, где впервые показана площадь оледенения, близкая к действительной. Однако точного представления о характере оледенения бассейнов рек Ванча и Язгулема этот каталог не дает, так как при его составлении учитывались только крупные ледники и во многих случаях целые группы ледников характеризовались как один ледник.

Кроме этой сводки, встречаются лишь общие описания некоторых крупных ледников верховьев рек Ванча и Язгулема. В последнее время появились работы, касающиеся ледников Медвежьего и Географического общества в связи с пульсирующим характером их режима. Все работы, в которых есть сведения о ледниках бассейнов рек Ванча и Язгулема, помещены в табл. V.

Физико-географическое описание района составлено на основании материалов экспедиционных исследований, литературных источников и анализа имеющегося картографического и аэрофотосъемочного материала.

Настоящие части Каталога ледников СССР подготовлены и составлены в отделе гляциологии Института географии АН СССР. В сборе полевого материала и в аэровизуальном дешифрировании принимал участие ст. научный сотрудник отдела Л. Д. Долгушин, раздел «Климатические условия» написан ст. научным сотрудником отдела А. П. Волошиной.

ДЕЛЕНИЕ КАТАЛОГА ЛЕДНИКОВ СССР НА ТОМА, ВЫПУСКИ И ЧАСТИ

Подразделение Каталога ледников СССР на тома и выпуски полностью соответствует подразделению на тома и выпуски справочного издания «Ресурсы поверхностных вод СССР» (рис. 1). Как

ледников СССР составляется лишь на районы, охватываемые томами 1, 3, 8, 9, 13—17, 19, 20 этого издания.

В связи с неравномерностью распределения оле-

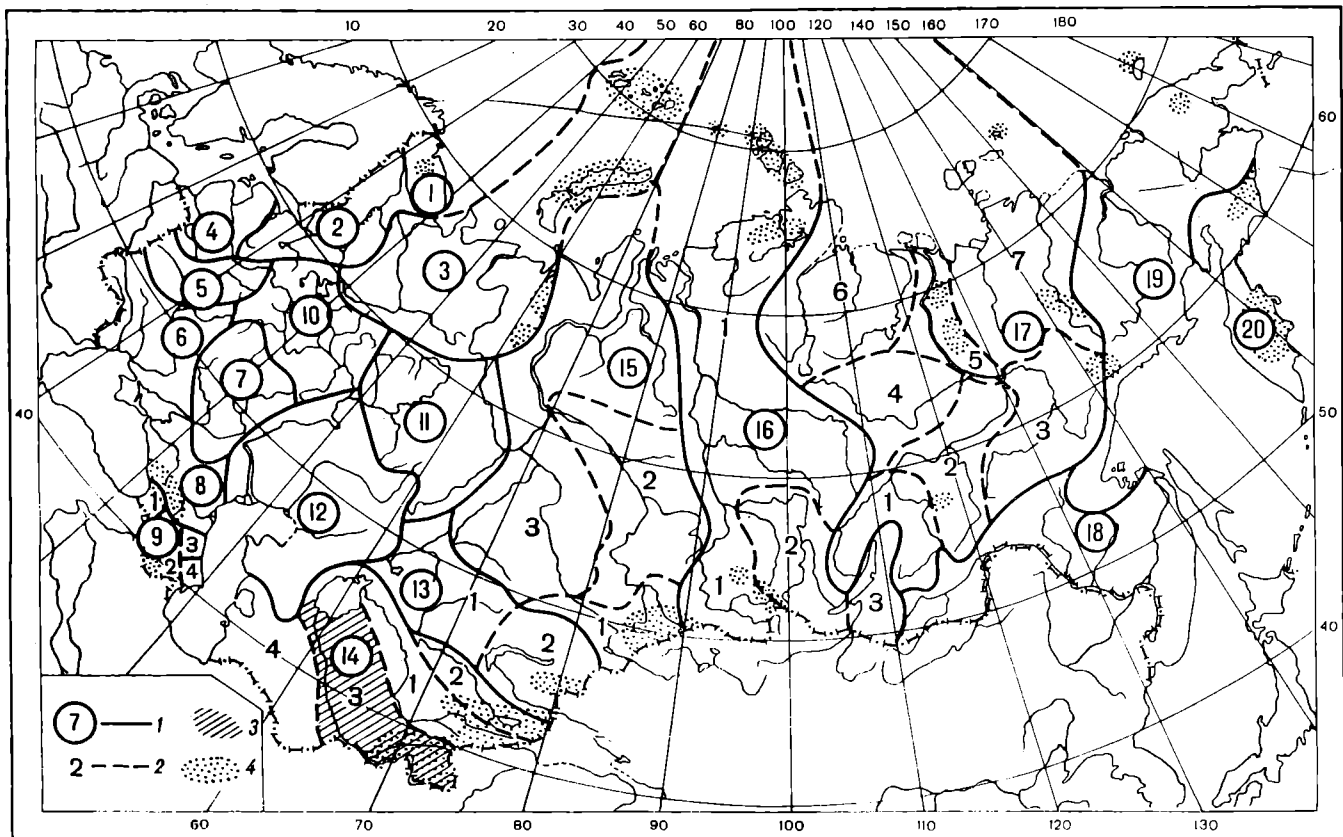


Рис. 1. Схема деления территории СССР на тома и выпуски Каталога ледников.

1 — номер тома и границы отнесенной к нему территории; 2 — номер выпуска и границы отнесенной к нему территории, сведения о которой включены в том 14, вып. 3 — Амударья; 4 — районы современного оледенения.

известно, этот справочник состоит из 20 томов, характеризующих вместе всю территорию Советского Союза. В основу разделения справочника на тома положен принцип принадлежности территории к крупным речным бассейнам.

Поскольку области современного оледенения находятся не в каждом из 20 районов — томов издания «Ресурсы поверхностных вод СССР», Каталог

денения на территории СССР в пределах выделенных томов и отдельных выпусков предусматривается издание нескольких частей Каталога ледников СССР (см. список). Так, например, том 14 — Средняя Азия, вып. 3 — Амударья, разделенный на 18 частей, включая части 11 — Бассейн р. Ванча — и 12 — Бассейн р. Язгулема (рис. 2).

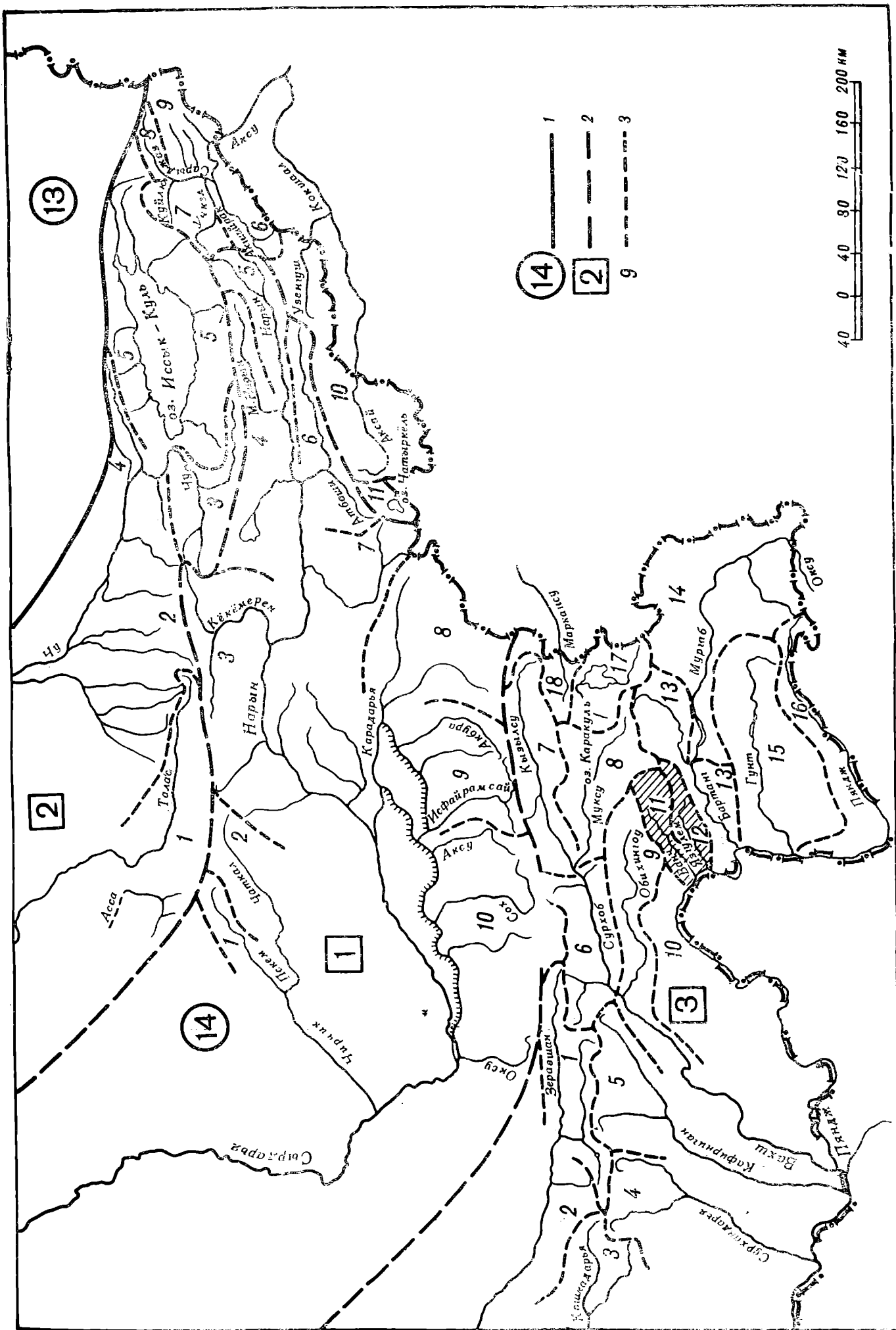


Рис. 2. Схема деления на выпуски и части тома 14 — Средняя Азия — Каталога журналов СССР.

1 — номер тома и границы отнесенной к нему территории; 2 — номер выпуска и границы отнесенной к нему территории; 3 — номер части и границы отнесенной к ней территории (штриховкой выделена территория, отнесенная к частям 11 и 12 вып. 3 тома 14).

СПИСОК ТОМОВ, ВЫПУСКОВ И ЧАСТЕЙ КАТАЛОГА ЛЕДНИКОВ СССР

Том 1. КОЛЬСКИЙ ПОЛУОСТРОВ

Часть 1. Хибинские горы (издано в 1966 г.)

Том 3. СЕВЕРНЫЙ КРАЙ

Часть 1. Земля Франца-Иосифа (издано в 1965 г.)

Часть 2. Новая Земля

Часть 3. Урал (издано в 1966 г.)

Том 8. СЕВЕРНЫЙ КАВКАЗ

Часть 1. Бассейны рек Белой, Лабы, Урупа (издано в 1967 г.)

Часть 2. Бассейны рек Большого Зеленчука, Малого Зеленчука (издано в 1967 г.)

Часть 3. Бассейн р. Теберды (издано в 1967 г.)

Часть 4. Бассейн верховьев р. Кубани (издано в 1967 г.)

Часть 5. Бассейны рек Малки, Баксана (издано в 1970 г.)

Часть 6. Бассейн р. Чегема (издано в 1973 г.)

Часть 7. Бассейн р. Черека (издано в 1973 г.)

Часть 8. Бассейн р. Уруха (издано в 1976 г.)

Часть 9. Бассейн р. Ардона (издано в 1976 г.)

Часть 10. Бассейны рек Фиагдона, Гизельдона (издано в 1977 г.)

Часть 11. Бассейн верховьев р. Терека (издано в 1977 г.)

Часть 12. Бассейны правых притоков р. Сунжи (издано в 1977 г.)

Том 9. ЗАКАВКАЗЬЕ И ДАГЕСТАН

Выпуск 1. Западное Закавказье

Часть 1. Бассейн р. Мzymты (издано в 1977 г.)

Часть 2. Бассейн р. Бзыби (издано в 1975 г.)

Часть 3. Бассейн р. Келасури (издано в 1975 г.)

Часть 4. Бассейн р. Кодори (издано в 1975 г.)

Часть 5. Бассейн р. Ингури (издано в 1975 г.)

Часть 6. Бассейны рек Хоби, Рioni (издано в 1975 г.)

Часть 7. Бассейны левых притоков р. Куры (издано в 1975 г.)

Выпуск 2. Армения

Часть 1. Бассейн р. Аракса

Выпуск 3. Дагестан

Часть 1. Бассейн р. Сулака (издано в 1975 г.)

Часть 2. Бассейн р. Самура (издано в 1975 г.)

Выпуск 4. Восточное Закавказье

Часть 1. Бассейн р. Кусарчая (издано в 1975 г.)

Том 13. ЦЕНТРАЛЬНЫЙ И ЮЖНЫЙ КАЗАХСТАН

Выпуск 2. Бассейн оз. Балхаш

Часть 1. Бассейны левых притоков р. Или от устья р. Тургени до устья р. Курты (издано в 1967 г.)

Часть 2. Бассейн р. Чилика (издано в 1968 г.)

Часть 3. Бассейны рек Чарына, Текеса (издано в 1969 г.)

Часть 4. Бассейны рек Хоргоса, Усека (издано в 1975 г.)

Часть 5. Бассейн р. Карагата

Часть 6. Бассейны рек Биена, Аксу, Лепсы (издано в 1970 г.)

Часть 7. Бассейны рек Тентека, Ргайты (издано в 1969 г.)

Том 14. СРЕДНЯЯ АЗИЯ

Выпуск 1. Сырдарья

Часть 1. Бассейн р. Пскема (издано в 1968 г.)

Часть 2. Бассейн р. Чаткала (издано в 1970 г.)

Часть 3. Бассейны правых притоков р. Нарына ниже устья р. Кёкмерена

Часть 4. Бассейны правых притоков р. Нарына от устья р. Кёкмерена до устья р. Малого Нарына (издано в 1973 г.)

Часть 5. Бассейны правых и левых притоков верховьев р. Нарына (издано в 1977 г.)

Часть 6. Бассейн р. Атбashi (издано в 1974 г.)

Часть 7. Бассейны левых притоков р. Нарына от устья р. Атбashi до устья р. Карадары (издано в 1977 г.)

Часть 8. Бассейн р. Карадары

Часть 9. Бассейны левых притоков р. Сырдарьи от устья р. Карадары до устья р. Аксу (издано в 1974 г.)

Часть 10. Бассейны левых притоков р. Сырдарьи от устья р. Аксу и ниже (издано в 1974 г.)

Часть 11. Бассейн р. Арыси (издано в 1976 г.)

Выпуск 2. Киргизия

Часть 1. Бассейны рек Ассы, Таласа (издано в 1968 г.)

Часть 2. Бассейны левых притоков р. Чу ниже устья р. Коморчека (издано в 1973 г.)

Часть 3. Бассейн верховьев р. Чу (издано в 1971 г.)

Часть 4. Бассейны правых притоков р. Чу ниже Боамского ущелья (издано в 1969 г.)

Часть 5. Реки бассейна оз. Иссык-Куль (издано в 1976 г.)

Часть 6. Бассейн р. Акшийрака (издано в 1970 г.)

Часть 7. Бассейны правых притоков р. Сарыджаза между устьями рек Акшийрака и Куйлю (издано в 1969 г.)

Часть 8. Бассейн верховьев р. Сарыджаза от устья р. Куйлю и выше (издано в 1977 г.)

Часть 9. Бассейны левых притоков р. Сарыджаза (реки Иныльчик, Каинды, Каюкан) (издано в 1977 г.)

Часть 10. Бассейн р. Кокшала (издано в 1971 г.)

Часть 11. Реки бассейна оз. Чатыркель (издано в 1971 г.)

Выпуск 3. Амударья

Часть 1. Бассейн верховьев р. Зеравшана от устья р. Фандары

Часть 2. Бассейн р. Зеравшана ниже устья р. Фандары

Часть 3. Бассейн р. Кашкадары (издано в 1969 г.)

Часть 4. Бассейн р. Сурхандары (издано в 1969 г.)

Часть 5. Бассейн р. Кафирнигана

Часть 6. Бассейн р. Сурхоба между устьями рек Обихингую и Муксу (издано в 1971 г.)

Часть 7. Бассейн р. Кызылсу (издано в 1976 г.)

Часть 8. Бассейн р. Муксу

Часть 8A. Система ледника Федченко (издано в 1968 г.)

Часть 9. Бассейн р. Обихингую

Часть 10. Бассейны правых притоков р. Пянджа от устья р. Вахса до устья р. Ванча

Часть 11. Бассейн р. Ванча

Часть 12. Бассейн р. Язгулема

Часть 13. Бассейн р. Бартанга

Часть 14. Бассейн р. Мургаба

Часть 15. Бассейн р. Гунта

Часть 16. Бассейн верховьев р. Пянджа выше устья р. Гунта

Часть 17. Реки бассейна оз. Каракуль (издано в 1975 г.)

Часть 18. Бассейн верховьев р. Маркансу (издано в 1975 г.)

Часть 19. Бассейн р. Восточной Кызылсу

Часть 20. Бассейны правых притоков р. Пянджа между устьями рек Язгулема, Бартанга и Гунта.

Том 15. АЛТАЙ И ЗАПАДНАЯ СИБИРЬ

Выпуск 1. Горный Алтай и Верхний Иртыш

- Часть 1.** Бассейны левых притоков р. Иртыша (издано в 1969 г.)
Часть 2. Бассейн р. Кабы (издано в 1969 г.)
Часть 3. Бассейны рек Курчума, Бухтармы, Ульбы, Убы (издано в 1969 г.)
Часть 4. Бассейн верховьев р. Катуни
Часть 5. Бассейн р. Аргута
Часть 6. Бассейн р. Чуи (издано в 1974 г.)
Часть 7. Бассейн р. Бии
Часть 8. Бассейны рек Моген-Бурен, Каргы
Часть 9. Кузнецкий Алатау

Том 16. АНГАРО-ЕНИСЕЙСКИЙ РАЙОН

Выпуск 1. Енисей

- Часть 1.** Северная Земля
Часть 2. Бассейн р. Таймыры (горы Бырранга)
Часть 3. Бассейны рек Казыра, Кана (издано в 1973 г.)
Часть 4. Бассейн р. Кемчика (издано в 1973 г.)
Часть 5. Бассейн верховьев р. Енисея выше устья р. Кемчика (издано в 1973 г.)
Часть 6. Горы Пutorана
Часть 7. Остров Ушакова

Выпуск 2. Ангара

- Часть 1.** Бассейн верховьев рек Оки, Уды (издано в 1973 г.)

Том 17. ЛЕНО-ИНДИГИРСКИЙ РАЙОН

Выпуск 2. Средняя Лена

- Часть 1.** Бассейны рек Чары и Витима (хребет Кодар) (издано в 1972 г.)

Выпуск 3. Алдан

- Часть 1.** Бассейн р. Юдомы (горы Сунтар-Хаята) (издано в 1977 г.)

Выпуск 5. Нижняя Лена

- Часть 1.** Хараулахские горы
Часть 2. Хребет Орулган (издано в 1972 г.)

Выпуск 7. Яна, Индигирка

- Часть 1.** Острова Де-Лонга
Часть 2. Бассейны левых притоков р. Средней Индигирки (хребет Черского)
Часть 3. Бассейны левых притоков верховьев р. Индигирки (горы Сунтар-Хаята) (издано в 1977 г.)
Часть 4. Бассейны правых притоков р. Средней Индигирки (хребет Черского)

Том 19. СЕВЕРО-ВОСТОК

- Часть 1.** Остров Врангеля
Часть 2. Бассейн р. Анадыри (хребет Пекульней)
Часть 3. Бассейн р. Дельку (горы Сунтар-Хаята) (издано в 1977 г.)
Часть 4. Бассейн р. Колымы

Том 20. КАМЧАТКА

- Часть 1.** Корякский хребет
Часть 2. Бассейны рек западного побережья Камчатки (издано в 1968 г.)
Часть 3. Бассейн р. Камчатки (издано в 1968 г.)
Часть 4. Бассейны рек восточного побережья Камчатки (издано в 1968 г.)

СПИСОК ПРИНЯТЫХ СОКРАЩЕНИЙ

Учреждения и организации

- АН — Академия наук
 ВГО — Всесоюзное географическое общество
 ИГАН — Институт географии Академии наук СССР
 ИГиГ АН УзССР — Институт геологии и геофизики Академии наук Узбекской ССР
 ДАН УзССР — Доклады Академии наук СССР
 ИМАН УзССР — Институт математики Академии наук Узбекской ССР
 МГГ — Международный геофизический год
 МГУ — Московский государственный университет
 РГО САРНИГМИ — Русское географическое общество
 Среднеазиатский региональный научно-исследовательский гидрометеорологический институт
 САИГИМС — Среднеазиатский институт геологии и минерального сырья
 Тадж. компл. экспед. — Таджикская комплексная экспедиция
 Турк. отд. РГО УГМС — Туркестанское отделение Русского географического общества
 Управление гидрометеорологической службы Таджикской ССР
 Географгиз — Государственное географическое издательство
 Гидрометеоиздат — Государственное научно-техническое гидрометеорологическое издательство
- Пункты наблюдений**
- гмст — гидрометеорологическая станция
 гп — гидрологический пост

- мп — метеорологический пост
 ос — осадкомер суммарный
 сп — снегомерный пункт

- Морфологические типы ледников**
- асим. дол. — асимметричный долинный
 вис. — висячий
 вис. дол. — висячий долинный
 вис. кар. — висячий каровый
 дол. — долинный
 кар. — каровый
 кар.-вис. — карово-висячий
 кар.-дол. — карово-долинный
 пригребн. — пригребневой
 сл. дол. — сложный долинный
 дендрит. — дендритовый

- Способ определения высоты фирновой линии**

- АФС — по аэрофотоснимкам

Прочие

- басс. — бассейн
 г. — гора, год
 геофиз. — геофизический
 геол. — геологический
 гляциол. — гляциологический
 гориз. — горизонтальный
 кишл. — кишлак
 оз. — озеро
 пер. — перевал
 пр. р. — приток реки
 р. — река
 хр. — хребет

ХАРАКТЕРИСТИКА ГЕОГРАФИЧЕСКОГО ПОЛОЖЕНИЯ, МОРФОЛОГИИ, КЛИМАТИЧЕСКИХ УСЛОВИЙ И РЕЖИМА ЛЕДНИКОВ

Рельеф

Бассейны рек Ванча и Язгулема, крупных притоков р. Пянджа, расположены в пределах глубоко расчлененной части Западного Памира. Реки занимают продольные долины между вытянутыми с северо-востока на юго-запад хребтами Дарвазским, Ванчским и Язгулемским (рис. 3). Дар-

Все структурные элементы этого антиклинория вытянуты на северо-восток. В его строении участвуют преимущественно протерозойские и нижнепалеозойские породы, прорванные мощными интрузиями в основном гранитоидного состава. Долины рек Ванча и Язгулема приурочены к синклинальным зонам, осложненным крупными разрывами и на-двигами.

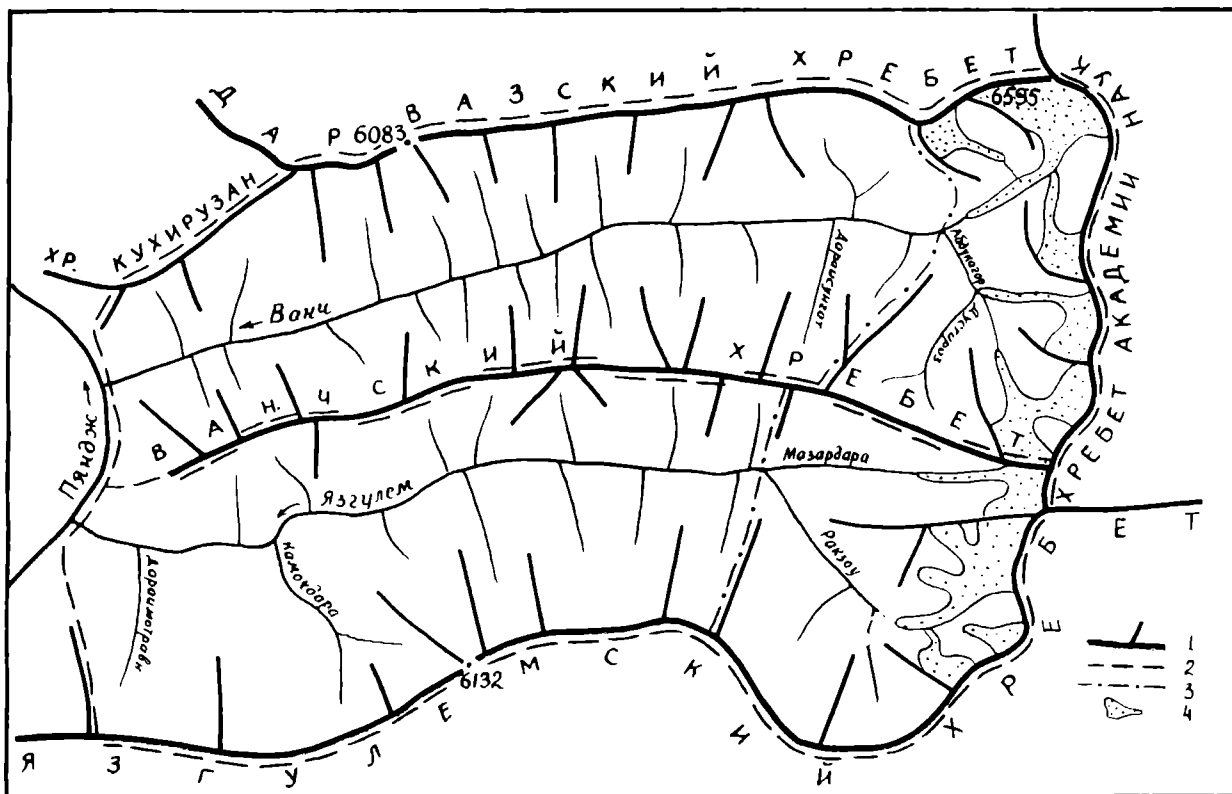


Рис. 3. Орографическая схема бассейнов рек Ванча и Язгулема.

1 — главный хребет и его отроги, 2 — граница бассейна, 3 — граница части бассейна, 4 — крупный ледник района.

вазский хребет служит северной границей района и является водоразделом рек Ванча и Обихингоу, Ванчский хребет является водоразделом рек Ванча и Язгулема, а Язгулемский хребет ограничивает описываемый район с юга, разделяя бассейны рек Язгулема и Бартанга. На востоке эти хребты призывают к хребту Академии Наук, имеющему меридиональное направление. Гребень этого хребта является восточной границей района.

Вся территория представляет собой сложный Ванч-Язгулемский антиклинорий, построенный, крупными складками, разделенными разломами.

Описываемый район относится к Памирской области устойчивых неотектонических поднятий. Максимальными амплитудами поднятий (до 7000 м) характеризуется хребет Академии Наук в районе ников Коммунизма и Гармо. Этот район отличается большими абсолютными и относительными высотами, глубоким расчленением рельефа и является очагом крупного современного оледенения. Все наиболее крупные ледники бассейнов рек Ванча и Язгулема приурочены к району стыка хребта Академии Наук с Дарвазским, Ванчским и Язгулемским хребтами.

Современный рельеф является отражением истории его развития. Сформировавшийся в течение неогена среднегорный рельеф с широкими плоскими долинами и пологими хребтами после поднятия Памира и начавшегося оледенения был в значительной степени изменен. В межледниковую эпоху на Западном Памире происходило быстрое эрозионное расчленение, врез достигал 550—600 м. В следующую эпоху оледенения большая часть долин была занята крупными ледниками, оставившими яркие следы экзарационной и аккумулятивной деятельности.

В настоящее время в верхних частях гор на высотах около 4000 м встречаются остатки рельефа среднегорного типа, вытянутые вдоль главных осей хребтов. Выше поднимаются резкорасчлененные гляциальные формы, а ниже — глубокорасчлененные эрозионные формы рельефа, в значительной степени переработанные древними ледниками.

Таким образом, рельеф водоразделов среднегорного типа, широкая сеть глубоко врезанных долин и большие абсолютные высоты создают благоприятные условия для развития оледенения преимущественно долинного и карового типа.

Хребет Академии Наук на участке от пика Гармо до Язгулемского перевала имеет среднюю высоту около 5400 м. Самая высокая точка на этом участке — пик Гармо (6595 м), самая низкая — пер. Ка-шалаик (4340 м). Этот хребет не имеет четко выраженной гребневой линии, в его водораздельной части расположены обширные фирновые поля, пытающие крупнейшие ледники Советского Союза — ледники Федченко, Гармо, Географического общества и др. С фирновых полей, расположенных на хр. Академии Наук, берут начало ледники Медвежий, Абдукагорский и Язгулемский.

Западный склон хребта обрывается в виде крутой стены, к которой с запада примыкают Дарвазский, Ванчский и Язгулемский хребты. Долина р. Ванча, разделяющая Дарвазский и Язгулемский хребты, своими верховьями врезана почти до самого гребня хр. Академии Наук, который возвышается над дном долины почти на 3000 м.

Дарвазский хребет от пика Гармо протягивается на юго-запад. Направление хребта на участке вдоль р. Ванча соответствует направлению основных тектонических линий и простиранию слоев. Близ долины р. Пянджа хребет поворачивает к северо-западу и уходит к р. Обихингу. Участок хребта, непосредственно примыкающий к хр. Академии Наук, имеет среднюю высоту 5800 м. Остальная его часть характеризуется средними высотами 4950 м и только пик Арнавад (6083 м) резко выделяется на общем фоне. Южный склон Дарвазского хребта, обращенный к долине р. Ванча, — крутой и короткий. Чертвы рельефа Дарвазского хребта носят следы интенсивного молодого поднятия. Узкие ущелья правых притоков р. Ванча в своих верховьях резко расширяются, эрозионные долины сменяются обширными древними цирками, которые нередко вытянуты вдоль оси хребта. На склонах этих цирков располагаются группы современных долинных, каровых и карово-долинных ледников. Хребет Кухирузан является продолжением Дарвазского хребта и служит водоразделом бассейнов рек Ванча и Пянджа.

Ванчский хребет вытянут параллельно Дарвазскому с северо-востока на юго-запад. Высоты

хребта редко превышают 5000 м, средняя высота 4950 м. Основные черты рельефа Ванчского хребта имеют много общего с Дарвазским хребтом. Его южный склон круто обрывается к долине р. Язгулема. Долины правых притоков р. Язгулема, берущих начало с Ванчского хребта, — короткие, и оледенение здесь незначительно. Северный склон хребта более длинный, рассечен параллельными, глубоко врезанными долинами, имеющими значительное оледенение. Верховья долин, доходящие до гребневой линии, расширены и заканчиваются огромными древними цирками. Нередко эти цирки, как и в Дарвазском хребте, вытянуты вдоль осевой линии хребта, и их днища заняты долинными ледниками. Такие ледники встречаются как на северном склоне (долина р. Дараисунгат), так и на южном (долина р. Дарайгуджовасай).

Южной и юго-восточной границей района является Язгулемский хребет. Высоты его не так однобразны, как Ванчского хребта. К западу от истоков р. Ракзоу он имеет средние высоты 5370 м и максимальную высоту 6132 м — пик Вудор в верховьях р. Выдвяджа. Участок Язгулемского хребта меридионального направления к северу от г. Ляп-Назар имеет более значительную высоту — в среднем 5650 м. В западной части хребта главный водораздел смешается то к югу, то к северу. Северный склон хребта глубоко расчленен сложной системой речных долин. Поперечный профиль Язгулемского хребта аналогичен поперечному профилю Ванчского хребта. Отличие заключается лишь в более глубоком расчленении рельефа верхнего яруса.

Гидрографическая сеть

Реки Ванч и Язгулем — типичные горные реки: они многоводны, имеют порожистый продольный профиль и быстрое течение, несут огромное количество взвешенных и донных наносов, сильно вздуваются в период таяния ледников и снежников.

Истоком р. Ванча считается река, берущая начало из ледника Географического общества на высоте 2580 м. В 3 км от истока река принимает слева крупный приток — р. Абдукагор, которая начинается от одноименного ледника на высоте 3560 м. Длина р. Абдукагора 16 км, площадь бассейна 329 км². На протяжении 2 км река течет среди участков погребенного льда, расположенных ниже ледника, а в 7 км от истока она меняет русло в зависимости от состояния пульсирующего ледника Медвежьего, который периодически продвигается вниз по долине. При подвижке 1963 г. язык ледника Медвежьего перегораживал р. Абдукагор и в его долине образовалось озеро (рис. 4). Прорыв этого озера произошел поперек ледника Медвежьего, и в течение 7 лет (до 1970 г.) р. Абдукагор текла в ледяном туннеле внутри ледника. Лишь затем река прорыла себе русло вдоль его левого борта. В настоящее время, после очередной подвижки ледника Медвежьего в 1973 г., р. Абдукагор вновь течет под языком ледника Медвежьего, а в долине р. Абдукагора выше перегородившего его языка ледника существует озеро. Прорывы озера, образующегося после подвижек ледника Медвежьего, носят катастрофический характер. И в 1963, и в 1973 гг. они вызвали разрушительные сели в доли-

ие р. Ванча с расходами движущейся массы до 1000 м³/с. Ниже конца ледника Медвежьего р. Абдукагор принимает еще один крупный приток — р. Дустироз.

Ниже устья р. Абдукагора р. Ванч течет по широкой долине с плоским дном и низкой валунно-галечниковой поймой, разветвляясь на многочисленные рукава. Большинство притоков р. Ванча, берущих начало из ледников Дарвазского

ненения: Гидропосты, имеющиеся в районе, расположены в устьях рек Ванча и Язгулема и не дают количественной характеристики стока верхней ледниковой зоны. Данные о гидрологическом режиме рек района взяты из работ А. О. Кеммериха (V/№ 35, 36, 37), основанных не только на данных гидропостов, но и на материалах полевых исследований этого автора.

Площадь всего водосборного бассейна р. Ванча

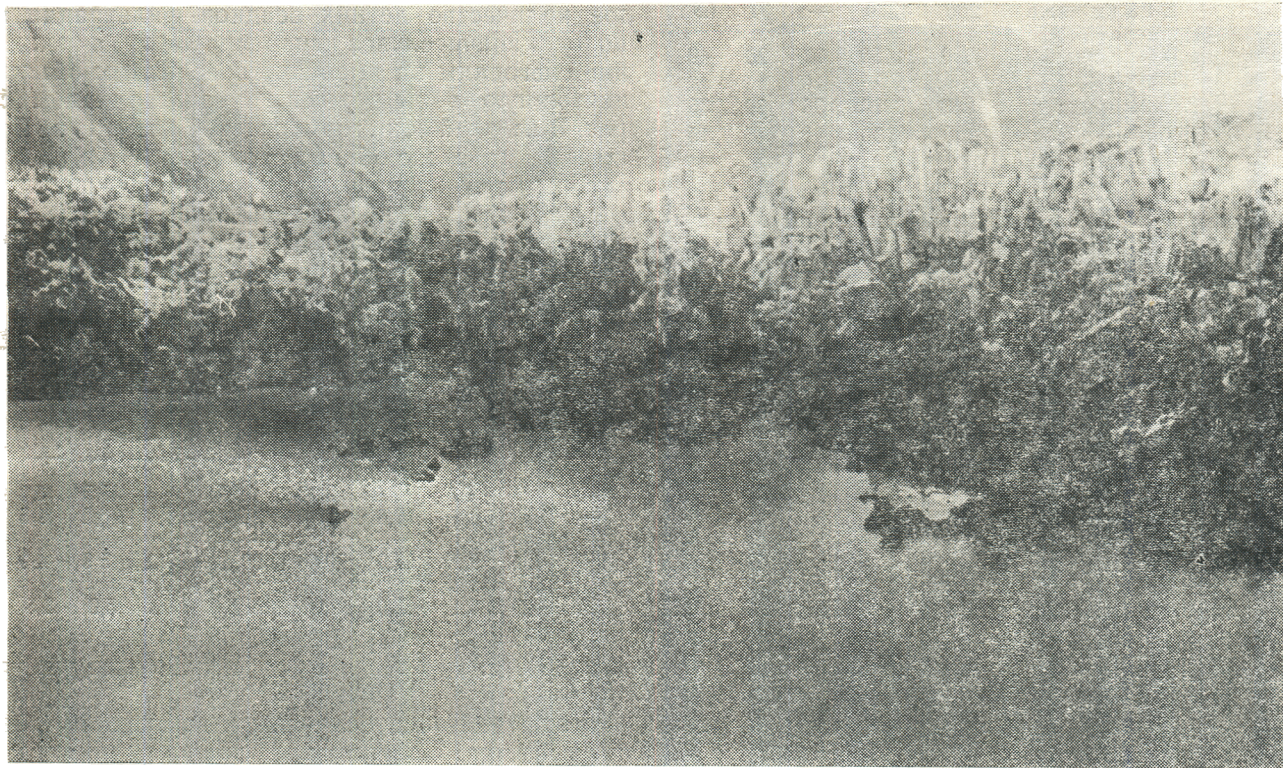


Рис. 4. Озеро в долине р. Абдукагора, образовавшееся при подвижке ледника Медвежий в 1973 г. Фото Л. Д. Долгушкина.

и Ванчского хребтов, при подходе к его руслу образуют мощные конусы выноса. Наиболее крупные притоки — Дараисунгат, Дарапоймазар, Дарайлянгар и др. В 5 км выше владения в р. Пяндж долина р. Ванча образует ущелье с глубоко врезанным в дно руслом реки шириной до 18 м. Длина р. Ванча 95 км.

Река Язгулем образуется после слияния рек Мазардара и Ракзоу. Река Мазардара берет начало из ледника Язгулемского на высоте 3600 м и на протяжении 13 км течет по древней ледниковой долине. Река Ракзоу начинается от одноименного ледника на высоте 3420 м. После слияния рек Мазардара и Ракзоу р. Язгулем протекает в узкой долине с крутыми скалистыми берегами, принимая многочисленные короткие (6—10 км), но многоводные притоки с крутым падением. Наиболее крупные притоки впадают слева в ее нижнем течении. Это реки Камочдара (длина 21 км) и Дараймотравн (14 км). Длина р. Язгулема 80 км.

Гидрологический режим

Реки Ванч и Язгулем относятся к типичным рекам с ледниково-снеговым питанием. Почти половина стока этих рек формируется в бассейнах их верховий, где находится основная площадь оледе-

нивания. Гидропосты, имеющиеся в районе, расположены в устьях рек Ванча и Язгулема и не дают количественной характеристики стока верхней ледниковой зоны. Данные о гидрологическом режиме рек района взяты из работ А. О. Кеммериха (V/№ 35, 36, 37), основанных не только на данных гидропостов, но и на материалах полевых исследований этого автора.

Площадь всего водосборного бассейна р. Ванча

равна 2070 км². За период наблюдений с 1938 по 1962 г. средний годовой расход воды близ устья равен 49,4 м³/с, что соответствует модулю стока 25,7 л/(с·км²). Площадь всего водосборного бассейна р. Язгулема составляет 1970 км². За период с 1940 по 1966 г. средний годовой расход воды в низовье реки (пос. Мотравн) был равен 36,2 м³/с, что соответствует модулю стока 18,7 л/(с·км²). В наиболее многоводные годы модуль стока р. Язгулема увеличивается до 25, а в маловодные годы снижается до 13,2 л/(с·км²).

Основными источниками питания рек Ванча и Язгулем являются воды, поступающие от таяния сезонного снега и ледников (табл. 1).

Доля ледникового питания в суммарном стоке рек зависит главным образом от степени оледенения бассейна и средней высоты водосбора. В бассейне верховьев р. Ванча (бассейн ледника Географического общества), где ледники занимают более 50% площади бассейна, а средняя высота водосбора равна 4370 м, доля ледникового питания составляет 63%. В бассейне р. Дараймотравн (левый приток р. Язгулема), где средняя высота водосбора и площадь оледенения менее значительны, доля ледникового питания понижается до 15%.

В стоке рек Ванча и Язгулема большую роль играют подземные воды, формирующие из

Таблица 1
Доля различных источников питания в годовом стоке рек
(% от объема среднего годового стока) (по V/№ 37)

Бассейн реки	Место наблюдений	Площадь водосбора, км ²	Средняя высота водосбора, м	Питание		
				подземное	снеговое	ледниково-
Ванч	гп Ванч В 2,5 км ниже истока	1920 206	3780 4370	33 —	26 37	41 63
Абдукагор	В 9 км ниже истока	320	4450	32	26	42
Язгулем	гп Мотравн	1940	3920	36	29	35
Дараимотравн ¹	Устье	122	3730	40	45	15

¹На картах мелкого масштаба река называется Матраундара.

трансформированных дождевых и талых вод сезонных снегов и ледников. Большая роль подземного стока объясняется распространением в бассейнах рек Ванча и Язгулема водопроницаемых горных пород — известняков, мергелей, аллювиальных и моренных отложений. Подземные воды создают некоторую зарегулированность стока. Поэтому даже в зимнее время в низовьях рек Ванча и Язгулема довольно высокие модули минимального стока — соответственно 5,94 и 4,69 л/(с·км²). Малое количество летних осадков, фильтрация их в почву и значительное испарение летом, а также летние снегопады на высотах более 4000 м объясняют ничтожную роль дождевых вод в годовом стоке рек. В верхней зоне гор дождевое питание не превышает 1% годового объема стока.

Режим стока в низовьях рек Ванча и Язгулема характеризуется двумя фазами — весенне-летним половодьем и зимней меженью (табл. 2). Посте-

Таблица 2

Распределение стока рек Ванча и Язгулема по месяцам, % годового стока (V/№ 37)

Бассейн реки	Место наблюдений	Водосбор		I	II	III	IV	V	VI	VII	VIII	IX	X	XI	XII	
		площадь, км ²	средняя высота, м													
Ванч	гп Ванч В 2,5 км ниже истока	1920 206	3780 4370	2,3	2,1	2,1	2,9	6,1	12,0	24,8	21,9	14,4	5,5	3,3	2,6	—
Абдукагор	В 9 км ниже истока	320	4450	3,0	2,5	2,5	4,0	9,0	14,0	19,0	20,0	13,0	5,5	4,0	3,0	—
Язгулем	гп Мотравн	1940	3920	2,6	2,5	2,5	3,3	6,4	15,0	24,8	20,6	11,2	5,0	3,5	2,7	—

пенное увеличение расходов воды начинается обычно в середине апреля и заканчивается в конце октября. За период половодья проходит 86% годового стока р. Ванча и 83% р. Язгулема. Годовые максимумы расходов наблюдаются в июле и августе и совпадают с повышением средних суточных температур воздуха и усилением таяния ледников, сезонных и высокогорных снегов, когда в формировании стока принимает участие большая часть бассейна. На р. Ванче наибольший срочный расход 4/VIII 1948 г. составил 278 м³/с, а на р. Язгулеме в 1941 г. — 293 м³/с.

В верховьях бассейнов весенне-летнее половодье начинается позже — в конце апреля — начале мая. Увеличение расходов воды происходит постепенно, а со второй половины июля и в августе половодье протекает бурно. В 1965 г. в бассейне ледника Географического общества максимальные средние суточные расходы воды (45,5—59 м³/с) наблюдались в период с 21 по 29/VII. Мгновенный максимум расходов воды, наблюдавшийся 27/VII, был равен 85 м³/с, что соответствовало максимальному модулю стока 413 л/(с·км²). В сентябре наблюдается постепенное снижение стока. В зимнее время в бассейне ледника Географического общества поверхностный сток практически прекращается.

Для бассейнов рек с незначительной долей подземного питания и незарегулированным стоком характерен резко выраженный суточный ход расходов и уровней воды. В бассейне ледника Географического общества в период летнего половодья суточная амплитуда расходов достигает 25—35 м³/с. В бассейне р. Абдукагора, где подземные воды регулируют сток, максимальные средние су-

точные расходы всего в 3,8 раза больше, чем средние годовые.

Воды р. Ванча отличаются высокой мутностью, по средним многолетним данным, достигающей в низовье реки (кишл. Ванч) 1950 г/м³ (сток взвешенных наносов равен 2463 тыс. т в год). Повышенная мутность объясняется наличием в бассейне реки пород, легко поддающихся размыву, а также деятельностью ледников. Мутность р. Язгулема составляет 890 г/м³, в период таяния ледников она повышается.

Долина р. Ванча является селеопасным районом. Помимо катастрофических селей, возникающих при прорывах подпруживаемого ледником Медвежьим озера в долине р. Абдукагора, селевые паводки наблюдаются довольно часто на многих других притоках р. Ванча.

Заметную роль в формировании стока рек Ванча и Язгулема играют лавины, нередко достигающие уровня дна долин. Отдельные лавинные конусы сохраняются до конца лета и оказывают регулирующее воздействие на сток этих рек (рис. 5).

Климатические условия

На территории описываемого района имеется одна метеостанция Хумроги, расположенная в долине р. Пянджа близ устья р. Ванча. По ее данным невозможно составить верное представление о климате ледниковой зоны. Ближайшая высокогорная метеорологическая станция Ледник Федченко расположена на высоте 4170 м над ур. м. Но вследствие особенностей своего местоположения (на ригеле, выступающем над ледником на

200 м) она дает несколько искаженные сведения об осадках и снежном покрове.

Общая циркуляция. Климат района связан с географическим положением — в субтропической области центральной части Евразии, на западной периферии обширного горного поднятия. Климат ледниковой зоны обусловлен в большей степени влиянием свободной атмосферы и вертикальной зональностью. Циркуляция воздуха в холодное по-

облачном небе, что обусловлено малой мощностью облачных систем и большим числом просветов в них. Поэтому отношение действительной суммарной радиации к возможной в исследуемом районе составляет около 90% (в большинстве районов СССР оно колеблется от 60 до 80%). Изменчивость притока солнечной радиации от года к году невелика ($\pm 7\%$), а ее средняя величина за май—октябрь, рассчитанная за 20 лет, равна 103 ккал/см².



Рис. 5. Лавинный конус в долине р. Абдукагора, сохраняющийся до конца лета.

лугодие определяется частой повторяемостью юго-западной периферии сибирского максимума (24% случаев), западных и северо-западных вторжений (29%) и смещением циклонов с юго-запада (23%), приносящих осадки, особенно обильные в весенние месяцы.

В теплом полугодии перенос осадков осуществляют западные и северо-западные массы воздуха (их повторяемость 49%). Устойчивая малооблачная погода наблюдается в условиях термической депрессии (8%), а также на юго-западной периферии антициклонов (24% случаев). Резкие похолодания связаны с северными вторжениями (11%).

Радиационный режим. Несмотря на значительную закрытость горизонта в долинах, куда спускаются языки ледников, суммарная радиация в теплом полугодии оказывается здесь выше, чем на равнине. Так, средняя многолетняя величина суммарной радиации при безоблачном небе на леднике Медвежьем (на высоте 3000 м) за май—октябрь составляет 116 ккал/см² (для равнины на той же широте она равна 108 ккал/см²). Отличительной чертой радиационного режима района являются большие значения коротковолновой радиации при

Поглощение тепла коротковолновой радиации верхним слоем ледника зависит от его альбедо. На крупных долинных ледниках поверхность льда характеризуется низкими величинами альбедо (0,12—0,20), что связано с наличием моренного материала. Высоко расположенные каровые и карово-висячие ледники загрязнены слабее, поэтому альбедо их выше. В наихудших условиях инсоляции находятся ледники крутых склонов северной экспозиции.

Температура воздуха. Ледники описываемого района располагаются в значительном диапазоне высот (2600—6500 м), и поэтому температурный режим воздуха над ними весьма разнообразен. Основываясь на многолетнем ряде наблюдений метеостанции Ледник Федченко, а также принимая во внимание расчеты температуры воздуха на высоте границы питания, проведенные А. Н. Кренке¹, и результаты непосредственных наблюдений на леднике Медвежьем в 1972 г., можно получить ориентировочные характеристики температуры воздуха на ледниках исследуемого района для разных сезонов и высот (табл. 3).

¹ Кренке А. Н. Климатические условия существования современного оледенения Средней Азии.—«Изв. АН СССР. Сер. геогр.», 1973, № 1.

Таблица 3
Средняя температура воздуха в ледниковой зоне, °С

Высотный уровень	Абс. высота, м	Зима (XII—II)	Весна (III—V)	Лето (VI—VIII)	Осень (IX—XI)	Год
Коны долинных ледников	3000	—10	1	12,5	2	1
Средняя высота концов ледников	3500	—12,5	—2	9	—1	—2
границы питания	4500	—17,5	—8	2	—7	—7,5
верхних точек ледников	5000	—20	—11	—1,5	—10	—10,5

Суточные и месячные значения температуры воздуха меняются в более широких пределах. Так, рассчитанные по данным метеостанции Ледник Федченко средние месячные температуры воздуха для конца ледника Медвежьего (3000 м) в летние месяцы колеблются от 6,8 (июнь 1972 г.) до 13,9°С (июль 1973 г.). Межсуточная изменчивость температуры воздуха в теплое время года может достигать 4—5°С. В летние месяцы горизонтальный градиент температур воздуха в пределах исследуемого района направлен с северо-запада на юго-восток. Сумма положительных средних суточных температур воздуха в нижней части ледниковой зоны (на уровне 3000 м) за 1954—1973 гг. составляет в среднем около 1300°С, в отдельные годы она колеблется от 1050 до 1600°С.

Ветер. Ветровой режим очень неоднороден в пространстве и во времени. Скорость ветра в различные периоды определяется барической обстановкой и соотношением направлений основного потока и хребтов. В целом скорость ветра повышается в зимние месяцы. В теплом полугодии (III—X) велика роль горно-долинной циркуляции, которая здесь получает большое развитие благодаря соседству раскаленных полупустынь и ледниковых полей. Днем местные ветры проникают высоко в горы и обуславливают повышение температуры воздуха над ледниками на 2—3°С.

Осадки. В первой половине теплого полугодия (III—VI) Северо-западный Памир характеризуется значительной облачностью и увеличением осадков. По данным метеостанции Ледник Федченко, наибольшее месячное количество осадков наблюдается в среднем в марте, но в отдельные годы может отмечаться в разные месяцы холодного полугодия. За период с мая по октябрь здесь выпадает около 30% годовой суммы осадков. В течение этого периода число дней с осадками уменьшается от мая (22 дня) к августу (6 дней) и снова возрастает осенью (в октябре до 14 дней).

В высокогорных районах определение действительного количества выпадающих осадков представляет большие трудности как из-за неточности их измерений, так и вследствие значительной пространственной изменчивости. По данным метеостанции Ледник Федченко, измеренное годовое количество осадков за 1954—1973 гг. составляет в среднем 1220 мм, а колебания от года к году — от 800 до 1900 мм. Используя методику определения осадков по температуре воздуха на высоте границы питания ледников, получаем годовое количество осадков на высоте 4,5 км, равное 1100 мм.

Снегосъемки, проведенные в районе ледника Федченко весной 1959 г. (после многоснежной зи-

мы), показали изменение высоты снежного покрова от 80 см на высоте 3600 м до 400 см на высоте 5000 м. При средней плотности снега 0,33 г/см³ это соответствует водности снежного покрова от 270 до 1320 мм. Р. Д. Забиров (V/№ 25) отмечает в пределах долин рек Ванча и Язгулема аномальное для Памира распределение осадков, т. е. увеличение их с запада на восток, что связано с наличием на востоке меридионально вытянутого хребта Академии Наук, обостряющего фронты.

Оледенение

Фирновая линия. Высота фирновой линии в бассейнах рек Ванча и Язгулема определялась по аэрофотоснимкам и является высотой границы питания на ледниках на даты съемок. Поскольку на разные части бассейнов использовались съемки разных лет, трудно говорить о распределении фирновой линии в целом для рассматриваемого района. Тем не менее можно заметить некоторые закономерности изменения высоты границы питания. Долины рек Ванча и Язгулема, имеющие в основном широтное простиранье, открыты на запад, что создает благоприятные условия для проникновения влажных западных и юго-западных ветров, которые при продвижении вверх по долинам теряют часть запаса влаги. Максимальных значений высота границы питания достигает на востоке района в бассейнах верховьев рек Ванча и Язгулема, где она равна 4700—4900 м при максимуме 5100 м в бассейне р. Ванча и 4900 м в бассейне р. Язгулема.

В пределах одних и тех же бассейнов на высоту границы питания большое влияние оказывает освещенность склонов. На склонах северной экспозиции граница питания в среднем ниже, чем на склонах южной экспозиции. Особенно хорошо это видно на крупных ледниках, имеющих многокамерные области питания, расположенные на склонах разной экспозиции. Граница питания в пределах таких бассейнов значительно меняет свою высоту, увеличиваясь от северных склонов к южным. На отдельных ледниках граница питания проходит ниже среднего уровня для ледников данного склона вследствие значительной роли лавин в питании ледника. На таких ледниках ее высота снижается до минимального значения для всего района — 3800 м.

Размеры ледников. В бассейне р. Ванча имеется 291 ледник общей площадью 353,9 км² (в том числе 243 ледника размерами 0,1 км² и более каждый занимает 350,4 км²), а в бассейне р. Язгулема — 269 ледников общей площадью 313,0 км² (из них 244 ледника размерами 0,1 км² и более занимают 310,9 км²). Таким образом, средняя площадь одного ледника в бассейне р. Ванча равна 1,22 км², а в бассейне р. Язгулема — 1,16 км². Если дендритовые и сложные долинные ледники не расчленять на отдельные потоки, то средняя площадь одного ледника в обоих бассейнах одинаковая — 1,29 км² (табл. 4).

Распределение ледников в бассейнах рек Ванча и Язгулема крайне неравномерное. Основная площадь оледенения этих бассейнов лежит в их верховьях, расположенных в районе стыка хребтов Дарвазского, Ванчского и Язгулемского с хр. Академии Наук. В бассейне р. Ванча 61,3% оледенения

Таблица 4

Распределение ледников по основным районам бассейнов рек Ванча и Язгулема

Бассейн реки	Ледники площадью				Всего		Максимальная площадь одного ледника, км ²	Средняя площадь одного ледника, км ²		
	0,1 км ² и более		менее 0,1 км ²		количество	площадь, км ²				
	количество	площадь, км ²	количество	площадь, км ²						
Бассейн р. Ванча										
Правые притоки р. Ванча	95	(94)	78,8	22	1,6	117 (116)	80,4	7,2 (7,2)		
Верховья р. Ванча, Абдукагор	75	(65)	215,8	14	1,1	89 (79)	216,9	28,2 (64,4)		
Левые притоки р. Ванча	73	(67)	55,8	12	0,8	85 (79)	56,6	6,0 (7,5)		
Итого	243	(226)	350,4	48	3,5	291 (274)	353,9	28,2 (64,4)		
Бассейн р. Язгулема										
Правые притоки р. Язгулема	43	(43)	28,7	13	1,1	56 (56)	29,8	4,5 (4,5)		
Мазардара и Ракзоу	108	(91)	196,5	7	0,5	115 (98)	197,0	24,3 (47,2)		
Левые притоки р. Язгулема	93	(84)	85,7	5	0,5	98 (89)	86,2	3,8 (6,9)		
Итого	244	(218)	310,9	25	2,1	269 (243)	313,0	24,3 (47,2)		

Приложение. В скобках указаны количество ледников, максимальная и средняя площади одного ледника, подсчитанные без расчленения дендритовых и сложных долинных ледников на отдельные потоки.

(216,9 км²) расположено в верховьях этой реки (бассейн ледника Географического общества) и в бассейне ее главного левого притока — р. Абдукагора. В бассейне р. Язгулема 62,9% площади оледенения (196,9 км²) сосредоточено в бассейнах ее составляющих — рек Мазардара и Ракзоу. В этих районах расположены самые крупные ледники: Географического общества, Медвежий и Абдукагорский в бассейне р. Ванча, Язгулемский и Ракзоу в бассейне р. Язгулема. Здесь средняя площадь одного ледника достигает 2,44 км² (верховья р. Ванча и р. Абдукагора) и 1,71 км² (бассейны рек Мазардара и Ракзоу), а без расчленения дендритовых и сложных долинных ледников на отдельные потоки — соответственно 2,75 и 2,01 км².

Ледники площадью более 10 км² встречаются только в верховьях рек Ванча и Язгулема, где они составляют соответственно 74 и 50,4% площади оледенения этих районов. В остальных частях бассейнов рек Ванча и Язгулема наиболее часто встречаются ледники размерами от 0,1 до 1,0 км², хотя основная доля площади оледенения в этих районах приходится на ледники размерами от 1,1 до 3,0 км² (табл. 5, 6).

Экспозиция ледников. Распределение оледенения на склонах разных экспозиций зависит прежде всего от орографии района и направления основных влагонесущих воздушных масс. Верховья рек Ванча и Язгулема характеризуются большими абсолютными высотами и сложным характером сопланинения хребтов (здесь много отрогов разных направлений), поэтому широко развиты дендритовые и сложные долинные ледники, стекающие со склонов разных экспозиций. Основная площадь оледенения приурочена к западному склону хр. Академии Наук, в пригребневой части которого благодаря большим абсолютным высотам и большому количеству осадков создаются благоприятные условия для развития и существования обширных фир-

новых полей. Кроме того, на распределение ледников большое влияние оказывает также перенос снега западными ветрами на склоны восточной экспозиции. Вследствие этого в верховьях рек Ванча и Язгулема наибольшие площади оледенения приурочены к склонам западной и восточной экспозиций (табл. 7, 8; рис. 6).

Направление языков ледников часто не отражает экспозицию наибольших площадей ледников.

Ледники правых притоков рек Ванча и Язгулема, расположенные на южных склонах Дарвазского и Ванчского хребтов, ориентированы главным образом на юго-восток. Южную составляющую определяет в основном направление склонов хребтов, а восточная составляющая связана с ветровым переносом снега западными ветрами на подветренные склоны восточной экспозиции.

Ледники левых притоков рек Ванча и Язгулема приурочены к северным склонам Ванчского и Язгулемского хребтов, для которых характерны широкие долины, ориентированные на север и разделенные отрогами того же направления. Ледники расположены в верховьях этих долин, а также на западных и восточных склонах отрогов. Здесь преобладают ледники северных румбов. Северные склоны отличаются большой заснеженностью, и ледники получают дополнительное питание за счет лавин. Для некоторых ледников лавины служат единственным источником питания.

Морфологические типы ледников. Ледники рассматриваемой территории можно разделить на три группы: 1) ледники долин, куда входят дендритовые, сложные долинные, долинные, асимметричные долинные и висячие долинные ледники; 2) ледники склонов, т. е. каровые, висячие каровые, карово-висячие и висячие ледники; 3) карово-долинные ледники, являющиеся переходными между ледниками долин и ледниками склонов.

Таблица 5.

Распределение ледников по величине их площади в бассейне р. Ванча

Размеры ледников, км²	Правые притоки р. Ванча			Левые притоки р. Ванча			Всего											
	Верховья р. Ванча, р. Аблукатор		площадь, км²	количество	площадь, км²	количество												
	количество	площадь, км²																
<0,1	22 18,8	(22 18,9)	1,6 2,0	(1,6 2,0)	14 15,7	(14 17,7)	1,1 0,5	(1,1 0,5)	12 14,0	(12 15,2)	0,8 1,4	(0,8 1,4)	48 16,6	(48 17,5)	3,5 1,0	(3,5 1,0)		
0,1—0,3	33 28,2	(32 27,6)	6,2 7,7	(5,9 7,4)	15 16,9	(15 19,0)	2,9 1,3	(2,9 1,3)	31 36,5	(31 38,0)	7,2 12,7	(7,2 12,4)	79 27,1	(79 28,0)	16,3 4,6	(16,3 4,5)		
0,4—1,0	38 32,5	(38 32,8)	22,5 28,0	(22,5 28,0)	30 33,7	(27 34,2)	18,1 8,3	(18,1 8,3)	27 31,8	(27 30,4)	17,8 31,5	(17,8 31,5)	95 32,6	(95 32,5)	58,4 16,5	(58,4 16,5)		
1,1—3,0	21 17,9	(21 18,1)	35,6 44,3	(35,9 44,6)	17 19,1	(17 19,0)	15 14,5	(15 14,5)	31,5 14,5	(31,5 14,5)	25,7 11,8	(25,7 11,8)	13 15,3	(13 13,9)	21,3 37,6	(21,3 34,3)	51 17,5	(51 17,5)
3,1—10,0	3 2,6	(3 2,6)	14,5 18,0	(14,5 18,0)	6 6,7	(6 6,7)	2 2,5	(2 2,5)	35,8 16,5	(35,8 16,5)	12,0 5,5	(12,0 5,5)	2 2,4	(2 2,4)	9,5 16,8	(9,5 16,8)	11 3,8	(11 3,8)
10,1—30,0	—	—	—	—	7 7,9	(7 7,9)	5 6,3	(5 6,3)	127,5 58,9	(127,5 58,9)	— —	(— —)	— —	(— —)	7 2,4	(7 2,4)	— —	(— —)
>30,0	—	—	—	—	— 1 1,3	(— 1 1,3)	— —	(— —)	64,4 30,0	(64,4 30,0)	— —	(— —)	— —	(— —)	— —	(— —)	— —	(— —)
Итого	117 100	(116 100)	80,4 —100	(80,4 —100)	89 100	(79 100)	216,9 216,9	(216,9 216,9)	85 100	(79 100)	56,6 100	(56,6 100)	291 100	(291 100)	353,9 100	(353,9 100)	353,9 100	(353,9 100)

Причечания. 1. В числителе — количество и площадь ледников, в знаменателе — процент общего количества ледников в и общей площади оледенения бассейна.
 2. В скобках — количество ледников и площадь оледенения, подсчитанные без расчленения дондриевых и сложных долинных ледников на отдельные потоки.

Таблица 6.

Распределение ледников по величине их площади в бассейне р. Язгулема¹

Размеры ледников, км ²	Правые притоки р. Язгулема		Левые притоки р. Язгулема		Всего	
	Реки Мазардара и Ракзую		Левые притоки р. Язгулема			
	количество	площадь, км ²	количество	площадь, км ²		
<0,1	—	—	7	$\left(\frac{1,1}{3,7}\right)$	$\frac{0,5}{0,3}$	
0,1—0,3	17	$\left(\frac{17}{30,4}\right)$	25	$\left(\frac{24}{24,5}\right)$	$\frac{5,7}{2,9}$	
0,4—1,0	20	$\left(\frac{20}{35,7}\right)$	43	$\left(\frac{38}{44,0}\right)$	$\frac{37,4}{12,7}$	
1,1—3,0	5	$\left(\frac{5}{8,9}\right)$	7,5	$\left(\frac{7,5}{25,2}\right)$	$\frac{26}{22,6}$	
3,1—10,0	1	$\left(\frac{1}{1,8}\right)$	4,5	$\left(\frac{4,5}{15,0}\right)$	$\frac{12}{10,4}$	
10,1—30,0	—	—	—	$\left(\frac{7}{7,1}\right)$	$\frac{79,1}{40,2}$	
>30,0	—	—	—	$\left(\frac{3}{3,1}\right)$	$\frac{38,1}{19,2}$	
Итого	56	$\left(\frac{56}{100}\right)$	29,8	$\left(\frac{29,8}{100}\right)$	$\frac{115}{100}$	

¹ См. примечание к табл. 5.

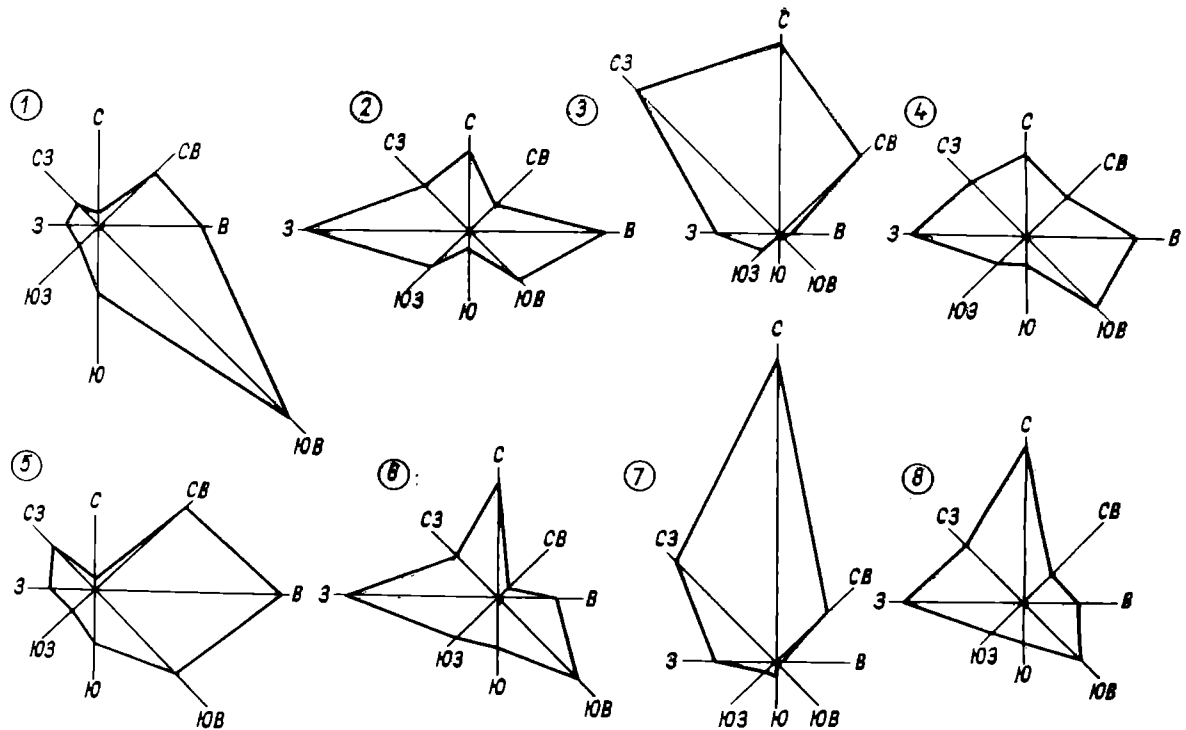


Рис. 6. Распределение площади ледников бассейнов рек Ванча и Язгулема по экспозициям.

1 — правые притоки р. Ванча, 2 — верховья р. Ванча, р. Абдукагор, 3 — левые притоки р. Ванча, 4 — в целом по бассейну р. Ванча, 5 — правые притоки р. Язгулема, 6 — реки Мазардара и Ракзоу, 7 — левые притоки р. Язгулема, 8 — в целом по бассейну р. Язгулема.

Таблица 7

Распределение ледников бассейна р. Ванча по экспозициям

Экспозиция	Правые притоки р. Ванча		Верховья р. Ванча, р. Абдукагор		Левые притоки р. Ванча		В целом по бассейну	
	количество	площадь, км ²	количество	площадь, км ²	количество	площадь, км ²	количество	площадь, км ²
C	4 4,2	1,2 1,5	16 21,3	28,9 13,4	14 19,2	17,6 31,5	34 14,0	47,7 13,6
CB	12 12,6	10,1 12,8	10 13,3	11,8 5,5	12 16,5	10,4 18,6	34 14,0	32,3 9,2
B	16 16,9	13,1 16,6	10 13,3	49,5 22,9	5 6,8	1,0 1,8	31 12,7	63,6 18,2
ЮВ	28 29,5	34,9 44,3	5 6,7	22,8 10,6	2 2,7	0,4 0,7	35 14,4	58,1 16,6
Ю	19 20,0	8,7 11,1	10 13,3	5,1 2,4	2 2,7	0,5 0,9	31 12,8	14,3 4,1
ЮЗ	8 8,4	3,1 4,0	6 8,0	16,8 7,8	4 5,5	1,9 3,4	18 7,4	21,8 6,2
3	6 6,3	3,8 4,8	10 13,3	58,0 26,9	8 11,0	5,5 9,9	24 9,9	67,3 19,2
C3	2 2,1	3,9 4,9	8 10,8	22,9 10,5	26 35,6	18,5 33,2	36 14,8	45,3 12,9
Итого	95 100	78,8 100	75 100	215,8 100	73 100	55,8 100	243 100	350,4 100

Таблица 8
Распределение ледников бассейна р. Язгулема по экспозициям¹

Экспозиция	Правые притоки р. Язгулема		Реки Мазардара и Ракзоу		Левые притоки р. Язгулема		В целом по бассейну	
	количество	площадь, км ²	количество	площадь, км ²	количество	площадь, км ²	количество	площадь, км ²
C	1 2,3	0,2 0,7	15 13,9	37,7 19,2	42 45,2	43,8 51,1	58 23,8	81,7 26,3
CB	6 14,0	5,5 19,2	8 7,4	2,8 1,4	14 15,1	9,1 10,6	28 11,5	17,4 5,6
B	10 23,3	8,7 30,3	15 13,9	18,7 9,6	4 4,3	0,9 1,1	29 11,9	28,3 9,1
ЮВ	10 23,3	5,5 19,2	16 14,8	37,2 18,8	— —	— —	26 10,6	42,7 13,8
Ю	7 16,3	2,6 9,0	17 15,7	15,6 7,9	3 3,2	2,1 2,4	27 11,1	20,3 6,5
ЮЗ	2 4,6	1,4 4,9	14 13,0	17,7 9,0	2 2,2	1,9 2,2	18 7,4	21,0 6,7
3	3 6,9	2,1 7,3	14 13,0	49,8 25,4	8 8,6	8,5 9,9	25 10,2	60,4 19,4
C3	4 9,3	2,7 9,4	9 8,3	17,0 8,7	20 21,4	19,4 22,7	33 13,5	39,1 12,6
Итого	43 100	28,7 100	108 100	196,5 100	93 100	85,7 100	244 100	310,9 100

¹ См. примечания к табл. 7.

Примечания. 1. В таблице не учтены ледники площадью менее 0,1 км².

2. В числителе — количество ледников и площадь, в знаменателе — процент общего количества ледников и общей площади оледенения бассейнов.

Таблица 9

Распределение ледников различных морфологических типов в бассейне р. Ванча

Тип ледника	Правые притоки р. Ванча		Верховья р. Абдукагор		Левые притоки р. Ванча		В целом по бассейну	
	количество	площадь, км ²	количество	площадь, км ²	количество	площадь, км ²	количество	площадь, км ²
Дендритовый	—	—	2	90,4	—	—	2	90,4
Сложный долинный	2	4,0	5	41,9	4	14,9	11	25,8
Долинный и асимметричный долинный	2,1	5,1	7,7	58,5	6,0	26,7	4,9	22,1
	31	46,1	20	44,8	19	23,2	70	114,1
	33,0	58,5	30,7	20,8	28,4	41,6	31,0	32,6
Карово-долинный	18	13,9	13	12,8	17	10,5	48	37,2
	19,2	17,6	20,0	5,9	25,3	18,8	21,2	10,6
Каровый	36	12,9	7	2,2	16	4,2	59	19,3
	38,3	16,4	10,8	1,0	23,8	7,5	26,1	5,5
Карово-висячий	—	—	4	1,1	1	0,2	5	1,3
			6,2	0,6	1,5	0,4	2,2	0,4
Висячий каровый	5	1,2	12	5,5	5	1,6	22	8,3
	5,3	1,5	18,4	2,5	7,5	2,8	9,7	2,3
Висячий	2	0,7	2	0,5	5	1,2	9	2,4
	2,1	0,9	3,1	0,2	7,5	2,2	4,0	0,7
Итого	94	78,8	65	215,8	67	55,8	226	350,4
	100	100	100	100	100	100	100	100

Примечания. 1. Ледники площадью менее 0,1 км² не учтены.

2. В числителе — количество и площадь ледников, в знаменателе — процент общего количества и общей площади оледенения бассейна.

3. Дендритовые и сложные долинные ледники при подсчете не расчленены на отдельные потоки.

Таблица 10

Распределение ледников различных морфологических типов в бассейне р. Язгулема¹

Тип ледника	Правые притоки р. Язгулема		Реки Мазардара и Ракзоу		Левые притоки р. Язгулема		В целом по бассейну	
	количество	площадь, км ²	количество	площадь, км ²	количество	площадь, км ²	количество	площадь, км ²
Дендритовый	—	—	1	47,2	—	—	1	47,2
			1,1	24,0			0,5	15,2
Сложный долинный	—	—	9	77,8	8	32,0	17	109,8
			9,9	39,6	9,5	37,3	7,8	35,3
Долинный и асимметричный долинный	12	14,7	24	39,9	26	35,5	62	90,1
	27,9	51,2	66,3	20,3	31,0	41,4	28,4	29,0
Висячий долинный	2	1,2	1	1,2	—	—	3	2,4
	4,6	4,2	1,1	0,6			1,4	0,8
Карово-долинный	8	5,1	20	18,1	14	7,3	42	30,5
	18,6	17,8	22,0	9,2	16,6	8,6	19,3	9,8
Каровый	13	5,2	17	5,8	11	2,9	41	13,9
	30,2	18,1	18,7	2,9	13,1	3,4	18,8	4,5
Карово-висячий	—	—	2	0,7	1	0,1	3	0,8
			2,2	0,4	1,2	0,1	1,4	0,2
Висячий каровый	6	2,1	11	3,9	15	4,2	32	10,2
	14,0	7,3	12,1	2,0	17,9	4,9	14,6	3,3
Висячий	2	0,4	6	1,9	9	3,7	17	6,0
	4,7	1,4	6,6	1,0	10,7	4,3	7,8	1,9
Всего	43	28,7	91	196,5	84	85,7	218	310,9
	100	100	100	100	100	100	100	100

¹ См. примечания к табл. 9.

В бассейне р. Ванча на ледники долин приходится 80,5% общей площади оледенения и 36,8% общего числа ледников, а в бассейне р. Язгулема они составляют соответственно 80,3 и 38,1% (табл. 9, 10).

Особенности орографии описываемого района являются определяющим фактором в предопределении различия в размещении ледников различных

морфологических типов. Наиболее крупные дендритовые, сложные долинные и долинные ледники расположены в верховьях рек Ванча и Язгулема. На два дендритовых ледника в истоках р. Ванча — ледник Географического общества и ледник Абдукагорский — приходится почти 26% площади оледенения всего бассейна, а площадь одного дендритового ледника Ракзоу в верховьях р. Язгулема

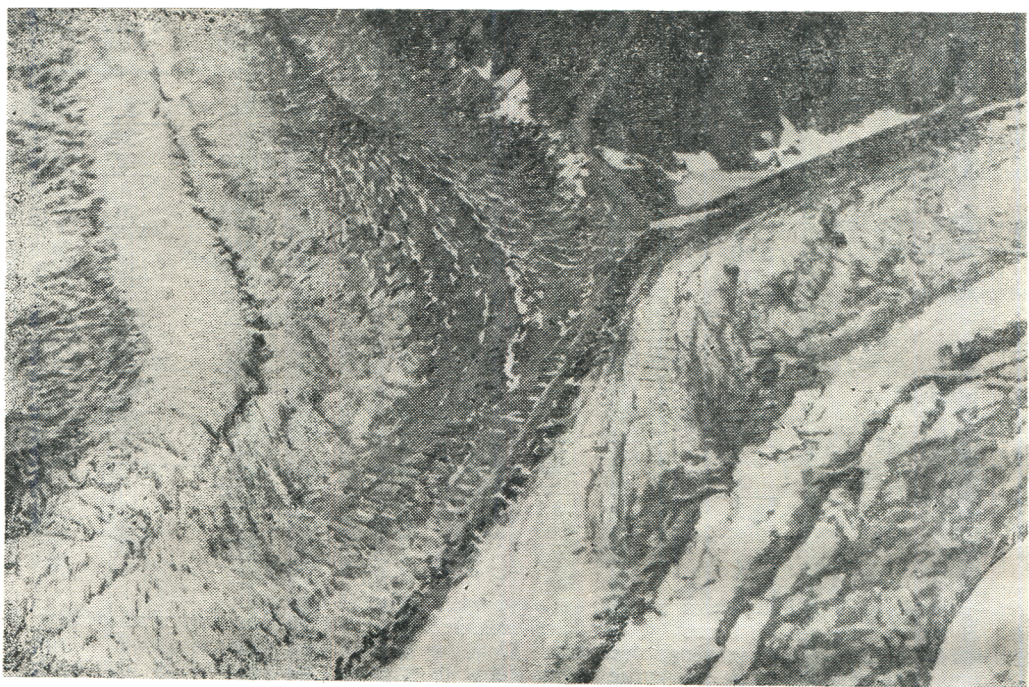


Рис. 7. Поверхность языка ледника Географического общества в районе слияния двух потоков (ледники № 96 и 97).



Рис. 8. Язык ледника Красноармейского (№ 109), 1965 г.

составляет 15,2% общей площади оледенения бассейна этой реки (табл. 11).

Ледник Географического общества расположен в верховьях Ванчской долины на стыке Дарвазского хребта с хр. Академии Наук. Этот дендритовый ледник образуется от слияния двух потоков (№ 96 и 97), стекающих от основания пиков Гармо и Ком.

Таблица 11
Крупные ледники бассейнов рек Ванча и Язгулема

Название (номер) ледника	Бассейн реки	Тип ледника	Наибольшая длина, км	Площадь, км ²
Бассейн р. Ванча				
Сед (№ 27) Географического общества (№ 96—99)	Дараисед Ванч	дол. дендрит.	11,6 24,2	7,2 64,4
Комсомолец (№ 100, 101)	«	сл. дол.	12,2	17,9
Красноармейский (№ 109)	«	дол.	11,2	15,7
Медвежий (№ 118, 119)	Абдукагор	сл. дол.	15,8	25,3
Абдукагорский (№ 123—127)	«	дендрит.	11,4	26,0
Правый Дустироз (№ 147)	Дустироз	асим. дол.	6,4	7,5
Левый Дустироз (№ 156, 157)	«	сл. дол.	5,9	10,2
Шаугадо (№ 176—178)	Шаугадо	«	5,0	7,5
Сунгат правый (№ 185)	Дараисунгат	асим. дол	6,6	6,0
Бассейн р. Язгулема				
Язгулемский (№ 62, 63)	Мазардара	сл. дол	19,5	25,5
Захарченко (№ 69, 70)	«	«	6,0	5,7
Ракзоу (№ 84—94)	Ракзоу	дендрит.	17,4	47,2
Ляп-Назар (№ 103)	«	дол.	8,0	9,5
Бирджрафдара (№ 118, 119)	Бирджрафдара	сл. дол.	9,0	11,3
№ 125, 126	Роштдара	«	5,2	7,3
№ 133, 134	«	«	10,6	15,3
Каддахт (№ 158, 159)	Дараикаддахт	«	6,3	5,5
Дара-Бугуз (№ 171—173)	Дараибугуз	«	8,8	6,9

Академии (рис. 7). Области питания обоих потоков лежат в обширных фирновых мульдах, окаймленных покрытыми снегом вершинами, достигающими 6000 м. Кроме того, в ледник Географического общества впадает несколько притоков, один из которых, ледник Кашалаяк (№ 98), смыкается в фирновой области с одноименным ледником, притоком ледника Федченко. Ледник Красноармейский (№ 109), о котором Р. Д. Забиров писал как о левом притоке ледника Географического общества, доставляющем в главный ледник около 25% общего объема фирна (табл. V/№ 21), в настоящее время не соединяется с главным стволом ледника Географического общества. В 1965 г. он оканчивался на расстоянии нескольких десятков метров от главного ствола и не принимал участия в его питании (рис. 8). Наибольшая длина ледника Географического общества от основания пика Гармо 24,2 км, а его общая площадь 64,4 км². Нижняя

часть ледникового языка покрыта сплошным чехлом моренных отложений, и только в 10 км от его конца появляется полоса чистого льда.

Дендритовый ледник Абдукагорский расположен на стыке Ванчского хребта с хр. Академии Наук и образован в результате слияния двух потоков, каждый из которых в свою очередь является сложным долинным ледником и имеет притоки. Правая ветвь ледника (ледник № 123) имеет обширную трехкамерную область питания, расположенную в осевой части хр. Академии Наук, и через пологий перевал связана с областью питания ледника Федченко. Ледниковый язык на большей части свободен от моренного покрова, и на его поверхности, особенно в верхней части, много трещин. Левая ветвь также образуется от слияния двух ледников — Каскадного (№ 125) и Обвалов (№ 126) — и питается в основном за счет лавин. Ее язык почти на всем протяжении закрыт моренным материалом. Ниже конца ледника Абдукагорского расположены участки погребенного льда, разбитые на отдельные глыбы. Вдоль бортов долины на протяжении всего языка тянутся узкие и высокие гребни береговых морен. Наибольшая длина ледника 11,4 км, площадь 26,0 км² (рис. 9). Некоторые ледники в бассейне ледника Абдукагорского, показанные на карте его притоками, до основного ствола не доходят на несколько сот метров (ледники № 136, 138, 139, 140) (рис. 10).

В бассейне р. Язгулема, в верховьях ее левой составляющей, расположена дендритовый ледник Ракзоу. В 1909 г. впервые конец этого ледника посетил Н. И. Косиненко. Язык ледника, имеющий в основном южное направление, сливается из нескольких потоков, стекающих со склонов хребтов разных экспозиций. Ледник имеет сложное строение. Выделяются три основных потока — ледники № 84, 86 и 88, 91, имеющие обширные многокамерные области питания и притоки. Долина слабо разработана, она представляет чередование озеровидных расширений (до 1000 м в поперечнике) с узкими скалистыми ущельями. Направление ее часто меняется. С высоты 4500 м начинаются моренные валы, которые на нижних 3 км ледникового языка сливаются, образуя сплошной моренный покров. Длина ледника 17,4 км, площадь 47,2 км² (рис. 11).

Большая часть крупных сложных долинных и долинных ледников также расположена в бассейнах верховьев рек Ванча и Язгулема. Это — ледники Комсомолец (№ 100) и Красноармейский (№ 109) в бассейне ледника Географического общества, ледник Медвежий (№ 118) в бассейне р. Абдукагора, ледник Язгулемский (№ 62) в верховьях р. Мазардара. Ледник Медвежий имеет один приток с левого борта (ледник № 119), который приносит незначительное количество льда. Область питания ледника расположена в обширной котловине в осевой части хребта Академии Наук. Через пологий перевал она соединяется с ледником Академии Наук (приток ледника Федченко). Из фирновой области через 800-метровый ледопад в долину стекает узкий и длинный язык ледника (ширина от 450 до 700 м) (рис. 12). Периодически с интервалом в 10—14 лет конец языка этого ледника продвигается вниз по долине и перегораживает долины рек Абдукагора и Дустироза, в которых образуются временные озера. Прорывы этих озер

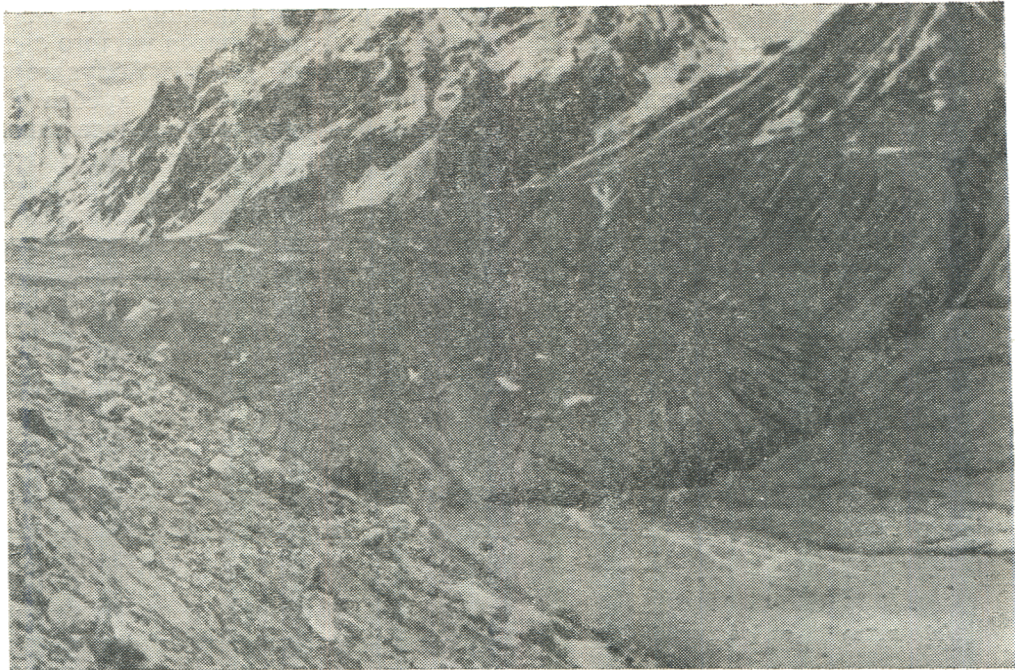


Рис. 9. Язык ледника Абдукагорского в 1970 г.



Рис. 10. Ледник № 139. На переднем плане боковая морена и погребенный лед ледника Абдукагорского.

вызывают катастрофические паводки (подробнее см. раздел «Режим и колебания ледников»).

Ледник Язгулемский (бассейн р. Язгулема) с правого борта имеет один небольшой приток (ледник № 63). Фирновая область ледника — обширное плато, вытянутое с юго-запада на северо-восток — от его языка отделена ледопадом. Пологими перевалами она соединяется с фирновыми областями ледников Федченко (на высоте 5290 м) и Язгулемдара (5670 м). Поверхность языка ледника отличается сложным мезо- и микрорельефом. В противоположность нижней части языка ледника, которая не имеет трещин, засыпана моренным материалом, на ее поверхности развиты озера и водотоки, верхняя часть сильно разбита трещинами и производит впечатление быстро движущегося активного льда. Между этими двумя частями языка четко выражена граница раздела. Вдоль левого края языка на крутом склоне скалистого барьера нависают огромные толщи фирна и снега, питающие ледник лавинами и обвалами. Лавинные конусы прослеживаются вдоль левого борта почти на всем протяжении языка ледника. Ниже конца языка расположен участок погребенного льда площадью 1,9 км², расчлененный потоками воды на отдельные глыбы. Ледник Захарченко (№ 69, 70), показанный на карте притоком Язгулемского ледника, не доходит до него и дает сток в ручей, текущий с внешней стороны левой боковой морены Язгулемского ледника (рис. 13).

В бассейнах левых и правых притоков рек Ванча и Язгулема сложные долинные ледники имеют значительно меньшие размеры, образуются от слияния двух или нескольких небольших долинных ледников [ледники Шаугадо (№ 176—178) в бассейне р. Ванча, Петруз (№ 19, 20) в бассейне р. Язгулема и др.] (рис. 14). Долинные ледники имеют один или несколько боковых притоков (например, лед-

ники № 216—218 в бассейне р. Ванча и № 156, 167 в бассейне р. Язгулема). Строение фирновых бассейнов у них различно. Есть долинные и сложные долинные ледники с хорошо развитой однокамерной областью питания и широким ледниковым языком (ледники № 9, 156 в бассейне р. Ванча и № 32, 118 в бассейне р. Язгулема). Встречаются долинные ледники с широкой областью питания

находятся участки погребенного льда. Питание таких ледников — лавинное, фирнового бассейна они не имеют. Лавинные конусы прослеживаются часто почти на всем протяжении языков. Примерами таких ледников могут служить ледники № 29 и 200—202 в бассейне р. Ванча и ледники № 42 и 115 в бассейне р. Язгулема.

Асимметричные долинные ледники расположе-

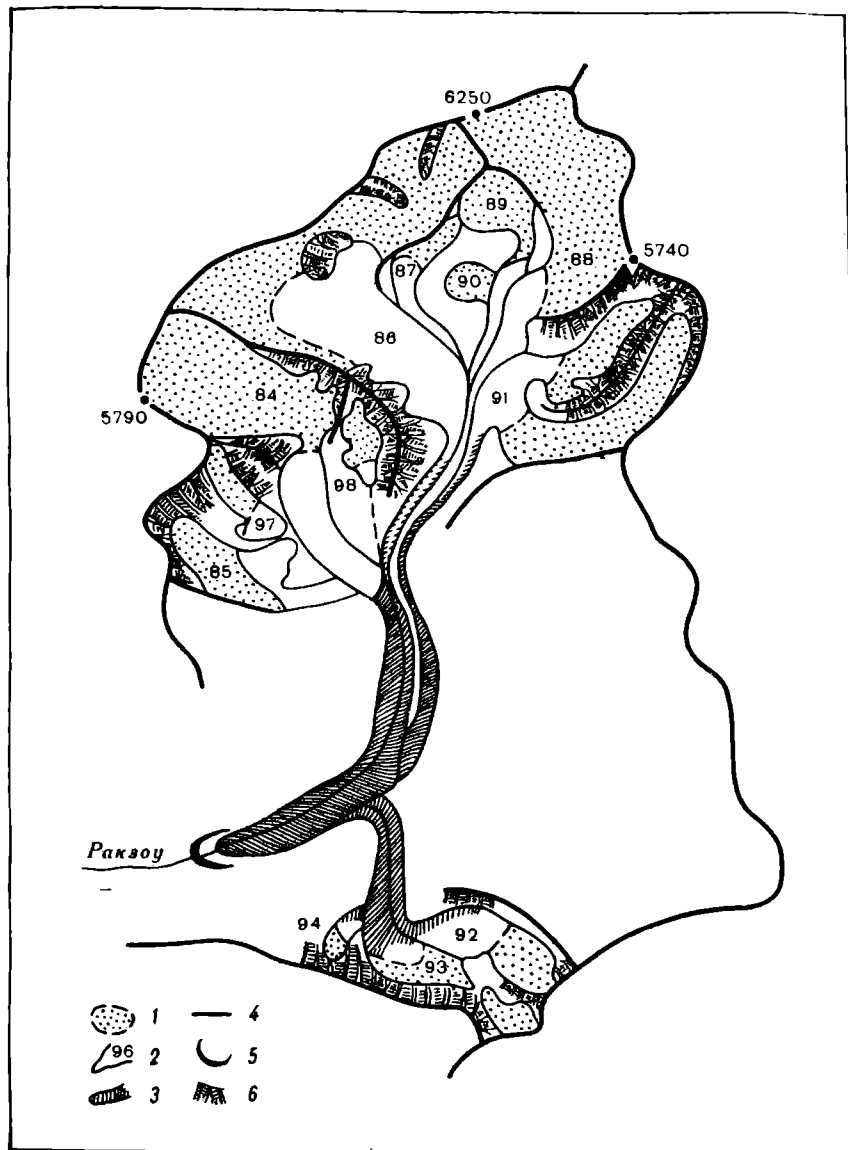


Рис. 11. Ледник Ракзоу (№ 84—94).
1 — фирновая область, 2 — чистый лед, 3 — лед под мореной, 4 — хребет, 5 — древняя
морена, 6 — выходы скал.

и коротким языком, по типу приближающиеся к котловинным ледникам. Это — ледники в верховьях крупных притоков рек Ванча и Язгулема [ледники Правый Дустироз (№ 147), Сунгат правый (№ 185) в бассейне р. Ванча и ледники Ляп-Назар (№ 103) и № 111 в бассейне р. Язгулема]. Ниже их концов часто располагаются обширные участки погребенного льда — остатки их бывших концов. Наряду с ледниками, имеющими развитый фирновый бассейн, встречаются долинные ледники «туркестанского типа», языки которых расположены в узких глубоких ущельях, сильно засыпаны моренным материалом, ниже их концов, как правило,

ны в долинах, верховья которых вытянуты параллельно осевой линии хребтов. В их питании большую роль играют лавины. В бассейне р. Ванча такими ледниками являются ледники Сунгат правый (№ 185) и Правый Дустироз (№ 147), а в бассейне р. Язгулема — ледник № 100.

Большинство долинных ледников описываемого района имеет следы недавнего отступления. Это — большие участки погребенных льдов ниже современных концов ледников, плоские заморененные ледниковые языки, которые у некоторых долинных ледников полностью превратились в участки погребенного льда. «Живые» ледники (небольшие до-

линиевые или каровые) располагаются только в верховьях рек. Так вдоль правого борта ледника Ляп-Назар тянется участок погребенного льда площадью 0,8 км², который является, по-видимому, омертвевшим языком «бывшего» притока этого ледника. Современные каровые ледники № 105—109 залегают во вторичных карах большого цирка, а их языки сливаются в общее поле погребенного льда на дне этого цирка.



Рис. 12. Ледник Медвежий (№ 118).

Карово-долинные ледники распространены в бассейнах рек Ванча и Язгулема довольно равномерно. На их долю в бассейне р. Ванча приходится 10,6%, а в бассейне р. Язгулема — 9,8% общей площади оледенения этих бассейнов. В верховьях крупных рек они составляют второй ярус оледенения и часто являются отчленившимися притоками более крупных сложных долинных ледников (например, ледники № 132, 138 и 139 в бассейне ледника Абдукаргорского и ледники № 150 и 151 в бассейне ледника Сунгат правый). В бассейнах более мелких притоков эти ледники самостоятельны. Часто это остатки более крупных ледников, ниже их концов находятся участки погребенного льда (ледники № 50, 51 и 231 в бассейне р. Ванча и № 9 и 18 в бассейне р. Язгулема). Области питания этих ледников расположены в чашах каров. Однако большая роль в их питании принадлежит также лавинам и обвалам фирновых полей, висящих на стенках каров.

Языки карово-долинных ледников более короткие и круты, чем языки долинных ледников, иногда они разделяются у конца на несколько языков (ледник № 111 в бассейне р. Ванча).

Ледники склонов, хотя и имеют в общей сложности небольшую площадь (около 9% общей площади оледенения бассейна р. Ванча и 10,7% — р. Язгулема), по числу составляют соответственно 42,2 и 44,4% числа всех ледников. Из них наиболее широко развиты каровые и висячие каровые ледники, которые, так же как и карово-долинные, в бассейнах рек Ванча и Язгулема встречаются повсеместно и в их верховьях занимают второй ярус оледенения, располагаясь на склонах долин, занятых крупными ледниками. В бассейнах притоков ледники этих типов занимают верховья небольших долин и часто являются остатками бывших более сложных ледниковых комплексов. Средняя площадь ледника 0,3 км².

Карово-висячие ледники встречаются гораздо реже, чем ледники других типов. В бассейне р. Ванча они составляют всего 2,2% общего числа ледников и 0,4% площади оледенения. В бассейне р. Язгулема их больше (соответственно 9,2 и 2,4%).

Висячие ледники не имеют ясно выраженных вместилищ и не достигают подножия склонов. Отдельные висячие фирновые поля больших размеров также отнесены к этому типу ледников. Фирновые поля, висящие на склонах в верховьях многих ледников, сильно раздробленные, не имеющие определенных границ, отнесены к областям аккумуляции главного ледника, лежащего ниже. В бассейне р. Ванча висячих ледников всего 9, это — 4% числа всех ледников и всего 0,4% общей площади оледенения. В бассейне р. Язгулема висячие ледники составляют 7,8% общего числа ледников и 1,9% общей площади оледенения бассейна.

Высотное положение ледников. Средняя взвешенная высота концов ледников в бассейне р. Ванча равна 3550 м, в бассейне р. Язгулема — 3790 м. Большие абсолютные высоты в сочетании с глубоким расчленением рельефа и значительными колебаниями уровня фирновой линии являются причиной большого разнообразия в высотном положении ледников. Основная масса оледенения бассейна р. Ванча лежит в пределах 4010—4860 м над ур. м., а средний вертикальный диапазон оледенения равен 850 м. В бассейне р. Язгулема основная площадь оледенения располагается в интервале высот 4050—4910 м, а вертикальный диапазон равен 860 м. Высота хребтов Дарвазского, Ванчского и Язгулемского увеличивается с юго-запада на северо-восток и достигает максимальных значений в районе стыка этих хребтов с хр. Академии Наук. Здесь же находятся наиболее крупные ледники, языки которых спускаются очень низко. Самой низкой отметки в бассейне р. Ванча достигает ледник Географического общества — 2580 м. Этот же ледник имеет и максимальную высотную точку — пик Гармо (6590 м). Таким образом вертикальный диапазон ледника Географического общества (4020 м) является наибольшим для бассейна р. Ванча (табл. 12).

В бассейне р. Язгулема также наблюдается повышение верхних точек ледников с юго-запада на северо-восток. Крупные ледники в верховьях р. Язгулема не достигают таких низких отметок, как ледники в верховьях р. Ванча (минимальная высота конца ледника равна 3260 м); а вертикальный



Рис. 14. Ледник Шаугадо (№ 176—178).



Рис. 13. Язык ледника Захарченко (№ 69, 70). В левом углу — поверхность нижней части ледника Язгурлемского.

Таблица 12

Высотные характеристики ледников, м над ур. м.

Бассейн реки	Средняя высота концов ледников	Минимальная высота конца ледника	Максимальная высота конца ледника	Средняя высота высших точек ледников	Минимальная высота высшей точки ледника	Максимальная высота высшей точки ледника	Средний вертикальный диапазон оледенения	Диапазон крайних точек ледников
Бассейн р. Ванча								
Правые притоки р. Ванча	3980 (3770)	2900	4660	4770	3800	6500	780	3600
Верховья р. Ванча, р. Абдукагор	4040 (3380)	2580	5040	5040	4100	6600	1010	4020
Левые притоки р. Ванча	4030 (3880)	3040	4780	4800	3700	5440	770	2400
В целом по бассейну	4010 (3550)	2580	5040	4860	3700	6600	850	4020
Бассейн р. Язгулема								
Правые притоки р. Язгулема	4000 (3920)	3260	4320	4610	3950	5100	610	1840
Реки Мазардара и Ракзоу	4130 (3790)	3380	4700	5060	4200	6250	920	2870
Левые притоки р. Язгулема	3990 (3760)	3260	4900	4910	3840	6130	920	2870
В целом по бассейну	4050 (3800)	3260	4900	4910	3840	6250	860	2990

Примечание. В скобках указаны средние взвешенные по площади высоты концов ледников.

Таблица 13

Морфометрические характеристики ледников различных морфологических типов бассейна р. Ванча

Морфологические типы и группы ледников	Количество ледников	Суммарная площадь, км ²	Площадь среднего ледника, км ²	Средняя высота концов ледников, м	Средняя взвешенная высота фирновой новой линии, м	Средняя высота высших точек ледников, м	Положительная разность оледенения, м	Отрицательная разность оледенения, м	Ледниковый коэффициент	Суммарная площадь закрытых моренных частей ледников, км ²
Правые притоки р. Ванча										
Ледники долин	33 (32)	50,1 (49,7)	1,5	3800	4420	4980	560	620	0,9	8,0
Карово-долинные и висячие каровые	23 (20)	15,1 (14,7)	0,7	3980	4240	4600	360	260	0,9	2,4
Каровые	36 (30)	12,9 (11,4)	0,3	4160	4340	4660	320	180	0,8	2,5
Висячие и карово-висячие	2 —	0,7 —	0,4	—	—	—	—	—	—	—
Итого	94 (82)	78,8 (75,8)	0,8	3980	4370	4770	400	390	0,9	12,9
Верховья р. Ванча, р. Абдукагор										
Ледники долин	27 (25)	193,7 (193,0)	7,2	3880	4460	5280	820	580	1,3	32,0
Карово-долинные и висячие каровые	25 (24)	18,3 (17,9)	0,7	4000	4410	4820	410	410	1,0	1,4
Каровые	7 (6)	2,2 (2,1)	0,3	4320	4520	4740	220	200	1,4	0,2
Висячие и карово-висячие	6 (4)	1,6 (1,1)	0,3	4800	5010	5410	400	210	4,3	—
Итого	65 (59)	215,8 (214,1)	3,3	4040	4460	5040	580	420	1,3	33,6
Левые притоки р. Ванча										
Ледники долин	23 (20)	38,1 (35,3)	1,6	3810	4500	4900	400	690	0,5	14,4
Карово-долинные и висячие каровые	22 (18)	12,1 (11,0)	0,6	4090	4460	4810	350	370	0,4	3,7
Каровые	16 (13)	4,2 (3,6)	0,3	4180	4440	4610	170	260	0,5	1,3
Висячие и карово-висячие	6 (5)	1,4 (1,2)	0,2	4320	4460	4860	400	140	2,5	—
Итого	67 (56)	55,8 (51,1)	0,8	4030	4500	4800	300	470	0,5	19,4
В целом по бассейну										
Ледники долин	83 (77)	281,9 (278,0)	3,4	3830	4460	5060	600	630	1,1	54,4
Карово-долинные и висячие каровые	70 (62)	45,5 (43,6)	0,6	4020	4380	4740	360	360	0,8	7,5
Каровые	59 (49)	19,3 (17,1)	0,3	4200	4380	4660	280	180	0,9	4,0
Висячие и карово-висячие	14 (9)	3,7 (2,3)	0,3	4530	4740	5100	360	210	4,3	—
Итого	226 (197)	350,4 (341,0)	1,6	4010	4440	4860	420	430	1,0	65,9

Примечания. 1. В таблице не учтены ледники площадью менее 0,1 м².

2. В группу ледников долин вошли дендритовые, сложные долинные и долинные ледники без расчленения их на отдельные потоки.

3. Вычисление средних и средних взвешенных высот производилось только для тех ледников, которые имеют все высотные характеристики. Число и площадь этих ледников указаны в скобках.

диапазон крайних точек ледников в целом по бассейну равен 2990 м.

Для оледенения верховьев рек Ванча и Язгулема характерно сочетание крупных ледников, спускающихся в главную долину, и ледников второго яруса, расположенных в боковых долинах и на склонах. Ледники второго яруса имеют гораздо меньший вертикальный диапазон распространения,

чем ледники главных долин, и их языки оканчиваются значительно выше (табл. 13, 14). Средний ледниковый коэффициент долинных ледников в бассейнах рек Ванча и Язгулема равен 1,0. У карово-долинных и каровых ледников в бассейне р. Ванча ледниковый коэффициент равен 0,8, а в бассейне р. Язгулема — 1,3. Наибольший ледниковый коэффициент в обеих долинах имеют висячие и карово-

Таблица 14

Морфометрические характеристики ледников различных морфологических типов бассейна р. Язгулема

Морфологические типы и группы ледников	Кол-во ледников	Суммарная площадь, км ²	Площадь среднего ледника, км ²	Средняя высота концов ледников, м	Средняя взвешенная высота фирновой линии, м	Средняя высота высших точек ледников, м	Положительная разность оледенения, м	Отрицательная разность оледенения, м	Ледниковый коэффициент	Суммарная площадь закрытых моренных частей ледников, км ²
Правые притоки р. Язгулема										
Ледники долин	14	15,9	1,1	3890	4290	4770	480	400	1,2	4,6
Карово-долинные и висячие каровые	14	7,2	0,5	3940	4200	4500	300	260	1,0	1,8
Каровые	13	5,2	0,4	4150	4300	4560	260	150	1,5	1,0
Висячие и карово-висячие	2	0,4	0,2	4100	4250	4500	450	170	5,0	—
Итого	43	28,7	0,7	4000	4260	4610	350	260	1,2	7,4
Реки Мазардара и Ракзоу										
Ледники долин	35 (34)	106,1 (165,2)	4,8	3880	4600	5280	680	720	1,0	36,6
Карово-долинные и висячие каровые	31 (31)	22,0 (22,0)	0,7	4240	4500	4900	400	260	1,2	4,4
Каровые	17 (16)	5,8 (5,7)	0,3	4390	4530	4880	350	140	1,5	1,1
Висячие и карово-висячие	8 (6)	2,6 (2,1)	0,3	4260	4510	5040	530	250	3,2	—
Итого	91 (88)	196,5 (195,0)	2,2	4130	4590	5060	470	460	1,1	42,1
Левые притоки р. Язгулема										
Ледники долин	34 (31)	67,5 (65,7)	2,0	3830	4460	5140	680	630	1,0	21,4
Карово-долинные и висячие каровые	29 (26)	11,5 (10,8)	0,4	4080	4330	4720	390	250	1,5	1,6
Каровые	11 (9)	2,9 (2,5)	0,3	4100	4400	4670	270	300	0,8	0,9
Висячие и карово-висячие	10 (5)	3,8 (1,4)	0,4	4380	4500	4890	390	120	11,7	—
Итого	84 (71)	85,7 (80,4)	1,2	3990	4440	4910	470	450	1,2	23,9
В целом по бассейну										
Ледники долин	83 (76)	249,5 (244,4)	3,0	3860	4540	5130	590	680	1,0	62,2
Карово-долинные и висячие каровые	74 (71)	40,7 (40,0)	0,6	4120	4400	4760	360	280	1,3	7,8
Каровые	41 (38)	13,9 (13,4)	0,3	4240	4420	4720	300	180	1,3	3,0
Висячие и карово-висячие	20 (15)	6,8 (5,1)	0,3	4220	4380	4980	600	160	5,5	0,4
Всего	218 (201)	310,9 (304,1)	1,4	4050	4520	4910	390	470	1,1	73,4

Примечания. 1. В таблице не учтены ледники площадью менее 0,1 м².

2. В группу ледников долин вошли дendirитовые и сложные долинные ледники без расчленения их на отдельные потоки, долинные и висячие долинные ледники.

3. Вычисление средних и средних взвешенных высот производилось только для тех ледников, которые имеют все высотные характеристики. Число и площадь этих ледников указаны в скобках.

висячие ледники: 4,3 в бассейне р. Ванча и 5,5 в бассейне р. Язгулема. У них же наблюдается максимальная разница между положительной и отрицательной разностью оледенения.

Больше половины ледников рассматриваемых бассейнов имеет на своих языках участки льда, закрытые моренным чехлом. Общая площадь закрытых мореной частей языков в бассейне р. Ванча равна 66,0 км², или 18,6% общей площади оледенения, а в бассейне р. Язгулема 73,4 км², или 23,4% общей площади оледенения. Мореной закрыты языки почти всех крупных долинных и сложных долинных ледников, а также многих карово-долинных ледников.

У 71 ледника в бассейне р. Ванча имеются участ-

ки погребенного льда общей площадью 22,7 км². В бассейне р. Язгулема участки погребенного льда общей площадью 12,1 км² имеются у 52 ледников. Как правило, погребенный лед располагается ниже концов ледниковых языков и спускается в долине р. Ванча до высоты в среднем 3870, а в бассейне р. Язгулема — до 3810 м (табл. 15).

Режим и колебания ледников. Данных о режиме ледников бассейнов рек Ванча и Язгулема мало. Ни на одном из ледников, расположенных на склонах Дарвазского, Ванчского и Язгулемского хребтов, режимные наблюдения не проводились. Наблюдения за колебанием ледников и вещественным балансом ведутся лишь на пульсирующем леднике Медвежьем в связи с его периодическими бы-

Таблица 15
Распределение погребенных льдов в бассейнах рек Ванча и Язгулема

Бассейн реки	Количество ледниковых, имеющих погребенный лед	Площадь погребенного льда, км ²	Средняя высота конца погребенного льда, м
Бассейн р. Ванча			
Правые притоки р. Ванча	32	6,1	3900
Верховья р. Ванча, р. Абдукагор	18	7,9	3900
Левые притоки р. Ванча	21	8,7	3800
В целом по бассейну	71	22,7	3880
Бассейн р. Язгулема			
Правые притоки р. Язгулема	19	4,2	3840
Реки Мазардара и Ракзоу	17	4,8	3940
Левые притоки р. Язгулема	16	3,1	3640
В целом по бассейну	52	12,1	3810

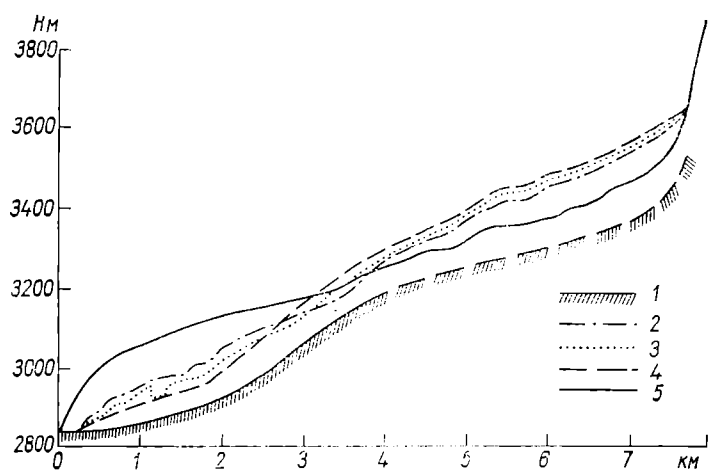


Рис. 15. Изменение продольного профиля ледника Медвежьего во время подвижки и в стадии восстановления.

1 — ложе ледника, 2 — поверхность ледника в 1968 г., 3 — то же, в 1970 г., 4 — то же, в 1972 г., 5 — то же, в 1973 г.

стрymi подвижками и эпизодически на леднике Географического общества, который мы также относим к классу пульсирующих (табл. V/№ 16, 18, 20). Эти ледники расположены в верховьях обширной Ванчской долины, вытянутой в широтном направлении и замкнутой на востоке высочайшим хребтом Памира — хр. Академии Наук. Это обстоятельство создает более благоприятные условия для снегонакопления в фирновых областях названных ледников по сравнению с другими ледниками описываемых бассейнов. Языки ледников Географического общества и Медвежьего опускаются до самых низких отметок в Ванчской долине (2580 и 2900 м соответственно), что обусловливает их более интенсивное таяние, чем в среднем по бассейну. Поэтому вряд ли правомерно распространять на все ледники бассейна режимные характеристики, полученные для этих ледников. Однако они представляют большой самостоятельный интерес, и их нельзя обойти молчанием.

Ледник Медвежий испытывает периодические

пульсации с продвижением конца ледника на расстояние около 2 км. Такие продвижения происходили в 1937, 1951, 1963 и 1973 гг. Кроме того, есть свидетельство П. И. Беседина, что в 1916 г. конец ледника Медвежьего был сильно раздроблен и перегораживал долину р. Абдукагора (табл. V/№ 7). При продвижении ледника происходит повышение поверхности концевой части ледникового языка на площади 2,4 км² в среднем на 86 м (максимум около 200 м), а в зоне выноса поверхность ледникового языка на площади 3,2 км², наоборот, понижается в среднем на 67 м (максимум понижения 115 м). Общая масса льда, перемещающегося из зоны выноса в зону привноса, составляет 215 млн. м³ (все приведенные здесь и ниже цифры относятся к подвижке 1973 г.). Таким образом, при подвижке пульсирующего ледника наблюдается перемещение массы льда из верховьев (в данном случае из верхней части ледникового языка) в его низовья без изменения общей массы льда в ледниковой системе (рис. 15).

Во время подвижки скорости движения льда резко возрастают до десятков и сотен метров в сутки. В 1963 г. средняя скорость продвижения фронта ледника составила 40, а максимальная — 100 м/сут. Поверхность ледника многочисленными трещинами дробится на систему блоков, напоминающих отдельности базальтовых лав (рис. 16). На конце ледника и по его бортовым краям лед дробится и сминается хаотически.

После подвижки дефицит льда в зоне выноса постепенно восполняется за счет поступления снега и льда из фирновой области через ледопад и лавинами со склонов долины, а скорость движения льда, которая сразу же после подвижки почти на всем протяжении языка ледника падает до 1—2 см в сутки, уже на следующий после подвижки год (и в 1964, и в 1974 г.) под ледопадом достигала 100—110 см/сутки, а в последующие годы наблюдалось постепенное увеличение скоростей движения льда (как средних годовых, так и особенно за теплый период) и распространение волны повышенных скоростей вниз по течению ледника. Лоб активизирующейся части ледникового языка (рис. 17) продвигается вниз, порождая деградирующую часть. Площадь активизирующейся части из года в год увеличивается, деградирующей части — уменьшается. Скорость продвижения передовой волны активизирующейся части ледника в первые два года после подвижки 1973 г. составила 1100—1200 м/год, а за последние два года перед этой подвижкой (1971, 1972 гг.) — 350 м/год. Летом 1972 г. в верхней части ледникового языка скорость движения льда достигала 300 см/сут, а фронт активной части ледника находился в нескольких сотнях метров от концевого обрыва ледника. Нами была отмечена двухлетняя периодичность колебания скоростей движения льда на всем протяжении ледникового языка. Пики скоростей отмечены в 1968, 1970 и 1972 гг., резкое их падение — в 1969 и 1971 гг. Вероятнее всего предположить, что эти колебания связаны с условиями обводнения ледника на ложе и плоскостях придонных сколов, поскольку движение льда в данном случае осуществляется главным образом за счет глыбового скольжения (табл. V/№ 49). Наблюдения за скоростями движения льда на леднике Медвежьем эпизодически проводились и до подвижки 1963 г. В сентябре 1949 г. в 1,5 и

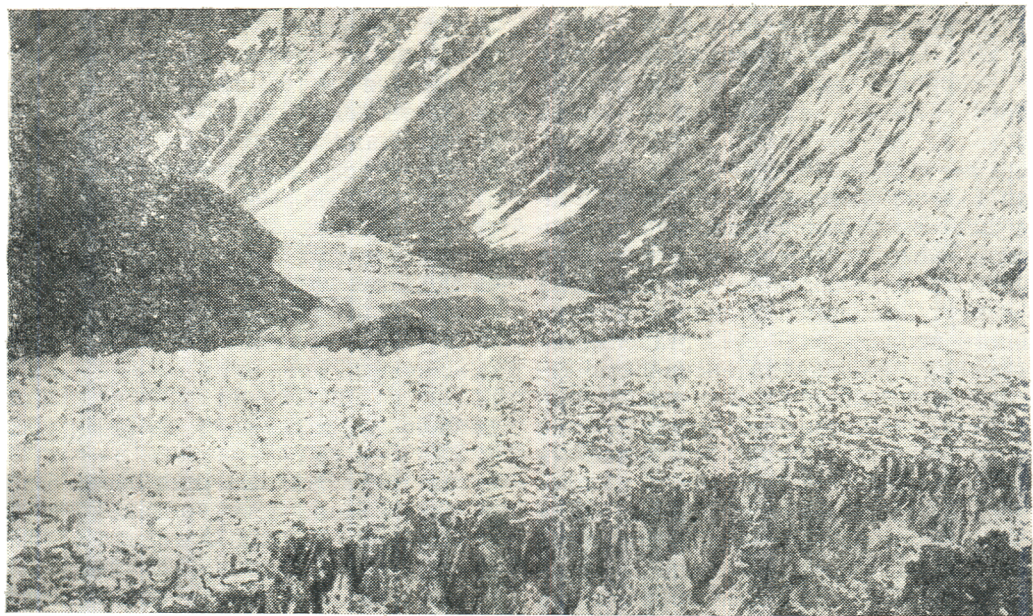


Рис. 16. Поверхность ледника Медвежьего во время подвижки 1973 г. Вдали видно озеро, подпруженное продвинувшимся ледником.

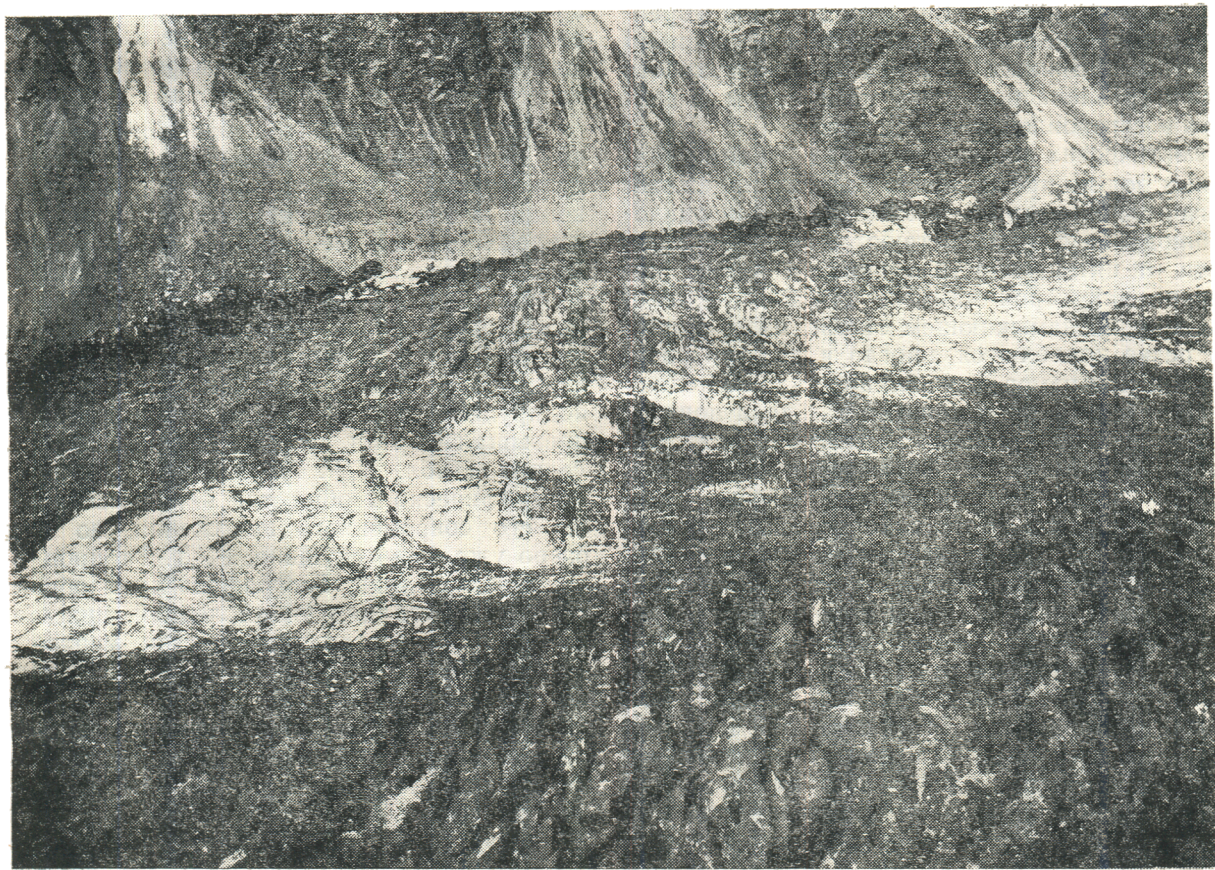


Рис. 17. Поверхность активизирующейся части языка ледника Медвежьего, 1967 г.

5 км от конца ледника средняя суточная скорость движения льда составила соответственно 37 и 46 см (табл. V/№ 22, 25). В 1961 и 1962 гг., перед подвижкой 1963 г., скорости порядка 60 см/сут наблюдалась вблизи конца ледникового языка (табл. V/№ 50).

Абляция льда на леднике Медвежьем (на высотах от 3000 до 4000 м) измерялась по системе забуренных в лед вех. За 7 лет интенсивность поверхностного таяния льда на ледниковом языке на высоте 3150 м над ур. м. (1965, 1968—1972, 1975 гг.) составила 46,5 мм/сут при средней продолжительности абляционного периода 183 сут. Максимальных значений средняя суточная интенсивность таяния льда достигала в конце июля — начале августа (70—90 мм/сут). Абсолютный максимум по рейкам был зафиксирован в первой пятидневке августа 1968 г. (148 мм/сут) и по троосу на метеоплощадке 28/VII 1975 г. (150 мм/сут). С изменением высоты от 3000 до 4000 м над ур. м. интенсивность таяния меняется незначительно. Величина суммарного стаивания изменяется главным образом за счет сокращения продолжительности абляционного периода. Среднее годовое стаивание льда за 10 лет (1963—1972 гг.) на конце ледникового языка (2850—3050 м над ур. м.) составляет 10 180 мм, или в пересчете на воду 916 г/см²; в средней части ледникового языка (3250—3450 м над ур. м.) — соответственно 7540 мм, или 678 г/см², а в верхней части ледникового языка под ледопадом (3720—4000 м над ур. м.) — соответственно 3460 мм, или 311,4 г/см². В данном случае речь идет о таянии чистого и слабо загрязненного льда без учета экранирующей роли моренного покрова, который снижает таяние на 5—10% в верхней части ледникового языка, на 10—20% в средней части и на 20—30% на конце языка. При этом влияние моренного покрытия существенно изменяется во времени (сразу после подвижки ледника его поверхность наименее загрязнена моренным материалом, в конце стадии восстановления — наиболее).

Систематических наблюдений над стоком с ледника талых вод не проводилось, поэтому надежный гидрологический контроль отсутствует. Эпизодические наблюдения свидетельствуют о том, что в зависимости от интенсивности таяния, а также периодических закупорок каналов стока в леднике расходы реки на замыкающем створе ниже конца ледника резко колеблются, иногда в два-три раза.

Параллельные измерения абляции льда на ледниковом языке и скоростей движения льда и повторные фототеодолитные съемки позволили дать интегральную характеристику вещественного баланса ледникового языка и определить массу снега и льда, поступающую на ледниковый язык из фирнового бассейна и со склонов долины в виде лавин. По предварительным расчетам, за 10 лет (1963—1972 гг.) чистый прирост массы льда в зоне активизации языка ледника Медвежьего составил 218—220 млн. м³, или в пересчете на воду (при плотности льда 0,9 г/см³) 196—198 млн. т, а таяние льда по реечным наблюдениям составило 206 млн. м³, или в пересчете на воду 185 млн. т. Фактически таяние было примерно на 10—15% менее значительным за счет снижения его интенсивности моренным покрытием в прибрежных частях ледника (вехи устанавливались на чистом и слабо загрязненном льду). Внеся 15%-ную поправку, получим

расход льда за счет поверхностного таяния в активизирующейся части ледникового языка равным 175 млн. м³, а в пересчете на воду 157,5 млн. т. Суммируя чистый прирост льда в активизирующейся части ледникового языка с таянием льда на той же площади за указанное десятилетие, получим величину массы льда, поступившей за это десятилетие на ледниковый язык из фирновой области и со склонов в виде лавин: $197 + 157,5 = 354,5$ млн. т, или в среднем 35,5 млн. т в год. Из них около 8 млн. т приходится на долю притока льда и лавин со склонов долины. Из фирнового бассейна через ледопад поступает в среднем 27,5 млн. т в год. Чтобы компенсировать этот отток массы льда из фирновой зоны, на ее территории (22 км² вместе с ледопадом) должно накапливаться твердых осадков не менее 125 г/см² в год (в среднем за рассматриваемое десятилетие). Эта величина очень близка к среднему годовому количеству осадков на ближайшей метеостанции Ледник Федченко (4169 м над ур. м.) за то же десятилетие (122 г/см²). Полученная нами расчетным путем величина годового накопления в фирновой области ледника Медвежьего (125 г/см²) является минимальной для обеспечения приходной статьи вещественного баланса пульсирующей части языка ледника Медвежьего.

Во время подвижек 1963 и 1973 гг. вздувшийся конец ледникового языка перегораживал долины рек Абдукагора и Дустироза. В долине р. Абдукагора образовывались подпрудные озера объемом до 20 млн. м³, прорывы которых вызывали катастрофические паводки в долинах рек Абдукагора и Ванча с максимальными расходами до 1000—1500 м³/с. После подвижки 1973 г. до сих пор сохраняется небольшое озеро глубиной до 30 м, так как прорыв озера в 1973 г. произошел не на уровне дна долины, а на несколько десятков метров выше, через промоину в краевой морене ледника. В настоящее время это остаточное озеро постепенно заполняется наносами р. Абдукагора.

Крупнейший ледник в бассейне р. Ванча — ледник Географического общества — в прошлом также пульсировал. Прежнее максимальное продвижение конца ледника фиксируется свежими моренами, в ядрах которых местами сохранился погребенный лед, лентами «прилавков» (тримлайнсов) и сглаженных льдом скал на склонах долины р. Ванча ниже современного положения конца ледника. Ледник полностью перегораживал устье долины р. Абдукагора, и в ней длительное время сохранялось подпрудное озеро, максимальный объем которого превышал 50 млн. м³. По свидетельству П. И. Беседина (табл. V/№ 7), в 1916 г. конец ледника Географического общества находился в 2,6 км ниже его современного положения, но подпрудное озеро уже было спущено. Р. Д. Забиров в 1949 г. описывал ледник Географического общества как типичный деградирующий ледник, нижние 6,5 км которого «представляли участок мертвого льда» (табл. V/№ 22), а на поверхности морене ледника встречались заросли ивняка. С 18 по 22/IX 1948 г. в 7,5 км от конца ледника Географического общества средняя суточная скорость движения льда была равна 28 см, в 1949 г. в 5 км от конца она составила 7 см/сут, а в 6,5 км от конца — 29 см/сут (табл. V/№ 22, 25). В 1965 г., по нашим наблюдениям, в нижней части ледникового языка поверхность была разбита свежими поперечными

трещинами, в том числе и на участках, заросших ивняком. Кусты ивняка сваливались в эти трещины вверх корнями. Скорость движения льда в 3 км от конца ледника составляла 56—60 м/год. В 1970 г. резко увеличил свою активность правый исток ледника (ледник № 96), его поверхность, прежде довольно ровная, была расколота многочисленными поперечными трещинами, пересекавшими ледник от борта к борту (рис. 18), а скорости движения льда здесь превысили 400 м/год (табл. V/№ 14). По данным наблюдений за положением конца языка, ледник Географического общества с 1962 по 1971 г. наступил на 79 м (табл. V/№ 33). Если активизация этого ледника будет продолжаться и это вызовет подвижку его конца до положения 1916 г., длина р. Абдулагора вновь может быть перегорожена и для долины р. Ванча создастся значительно большая угроза от подпруженного ледником озера, чем это имело место при прорывах озер, подпруживавшихся ледником Медвежьим в 1963 и 1973 гг.

Из пульсирующих ледников висячих долин проявил свою активность ледник Равак (№ 171), конец которого в 1967 г. выполз на крутой устьевой порог висячей долины и сорвался в виде разрушительного ледово-каменного селя в долину р. Ванча. За несколько минут образовался мощный конус выноса из льда, снега и камней объемом около 5 млн. м³. Течение р. Ванча на несколько часов было приостановлено этим завалом, а таяние льда в конусе выноса продолжалось в течение нескольких последующих лет (табл. V/№ 14, рис. 19).

В 1968 г. в стадии продвижения находился ледник № 167 в бассейне р. Дустироза. По сравнению с данными аэрофотосъемки 1947 г. его конец продвинулся на 100 м и был сильно разбит трещинами. Возможно, что ледники Абдулагорский и Язгулемский также являются пульсирующими. По внешним признакам они находятся в стадии восстановления. Так нижние 1,9 км² языка Язгулемского ледника в настоящее время превратились в мертвый лед, отдельные глыбы которого разделены водными потоками. Поверхность верхней трети ледникового языка имеет выпуклый продольный и поперечный профили, сильно разбита многочисленными поперечными трещинами, пересекающими ледник от борта к борту, и имеет четко выраженный фронт активной части, ниже которого поверхность ледника спокойная, покрыта мореной, с оврагами и водотоками на ней. Скорость движения льда в августе 1950 г. в 2,7 км от конца языка была равна 0, а в 3,7 и 6,8 км от конца была незначительна — менее 10 см/сут (табл. V/№ 25).

Сравнение аэрофотоснимков 1947 и 1968 гг. верховьев рек Ванча и Язгулема показало, что, за исключением рассмотренных выше пульсирующих ледников, за эти 20 лет заметных изменений в контурах ледников и в положении их концов не произошло. Наличие ниже концов современных ледников больших участков погребенного льда и сильное засорение концов ледников моренным материалом говорит об отступании концов ледников в историческое время.



Рис. 18. Поперечные трещины на языке ледника Географического общества в 1970 г.



Рис. 19. Ледник № 171 (Равак) в бассейне р. Ванча. Снимок сделан через месяц после подвижки ледника в 1967 г. На переднем плане — конус выноса, образовавшийся в результате отрыва ледникового языка.

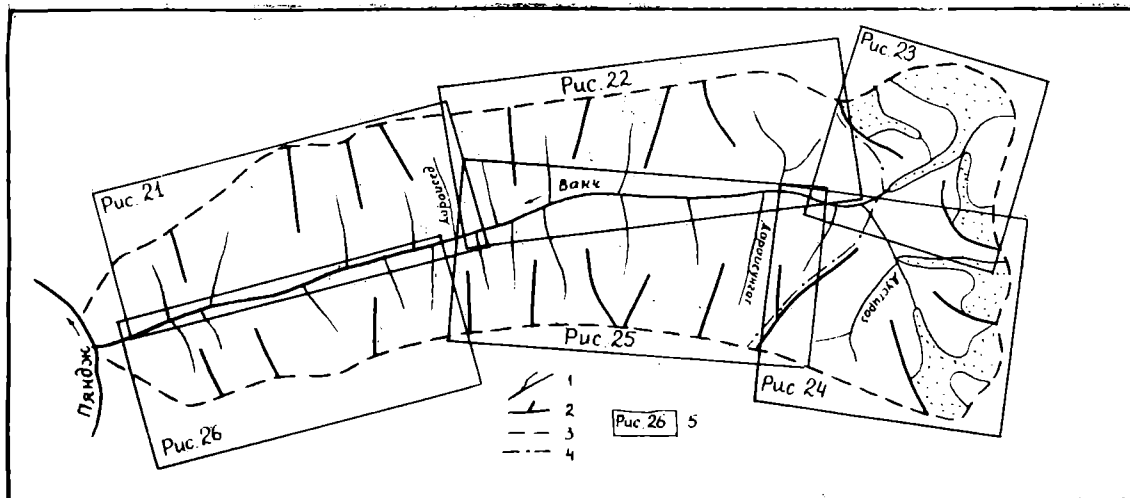


Рис. 20. Схема расположения ледниковых районов в бассейне р. Ванча.

1 — река, 2 — водораздел, 3 — граница бассейна, 4 — граница части бассейна, 5 — ледниковый район и номер рисунка.

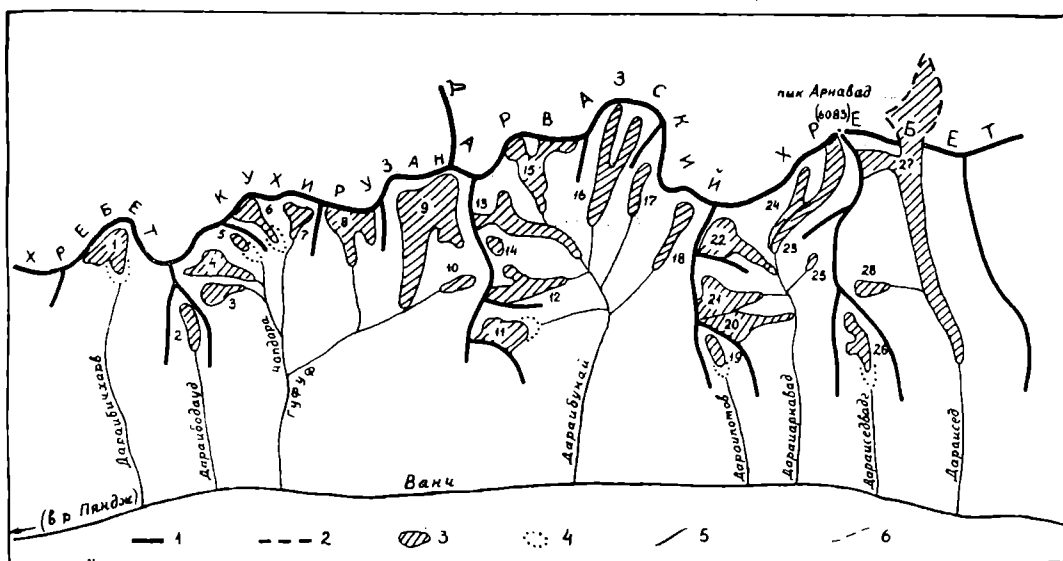


Рис. 21. Схема расположения ледников в бассейнах правых притоков р. Ванча (от р. Дараибичхарв до р. Дараисед).

1 — водораздел, 2 — ледораздел, 3 — ледник, 4 — погребенные льды, 5 — река, 6 — временный или подземный водоток.

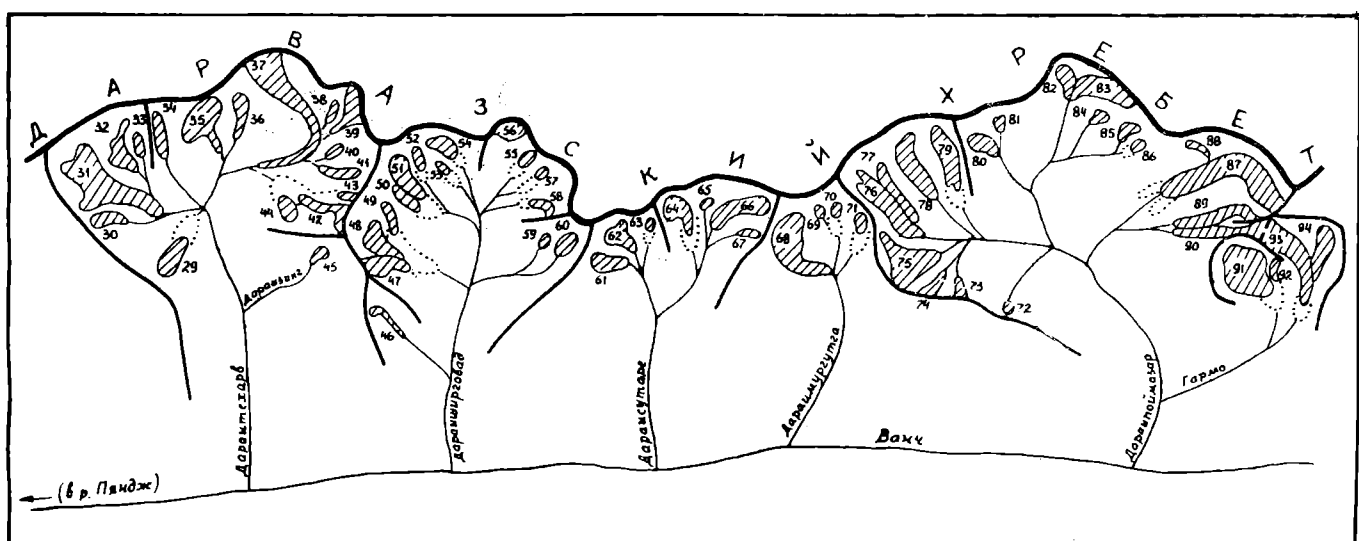


Рис. 22. Схема расположения ледников в бассейнах правых притоков р. Ванча (от р. Дараитехарв до р. Дараипомазар).

Усл. обозначения см. на рис. 21.

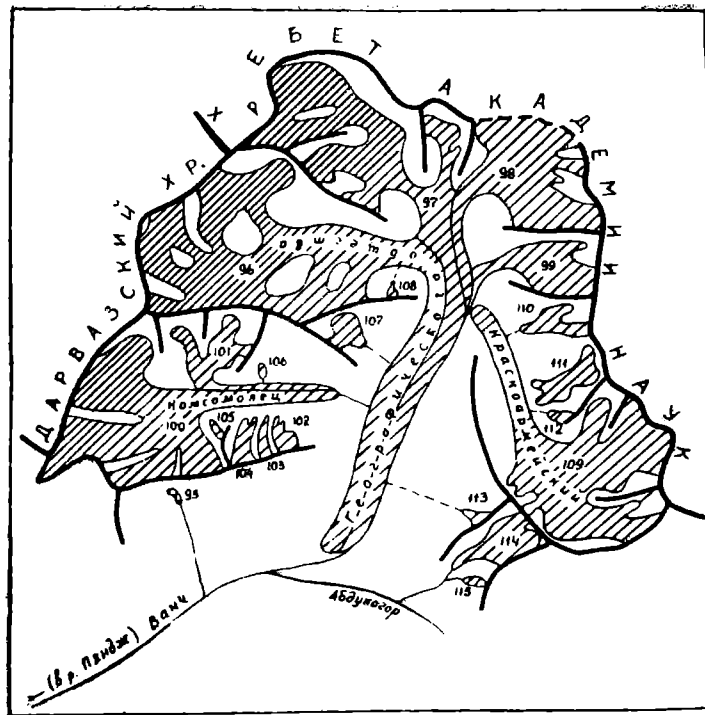


Рис. 23. Схема расположения ледников в бассейне ледника Географического общества и правого безымянного притока р. Абдукагора.

Усл. обозначения см. на рис. 21.

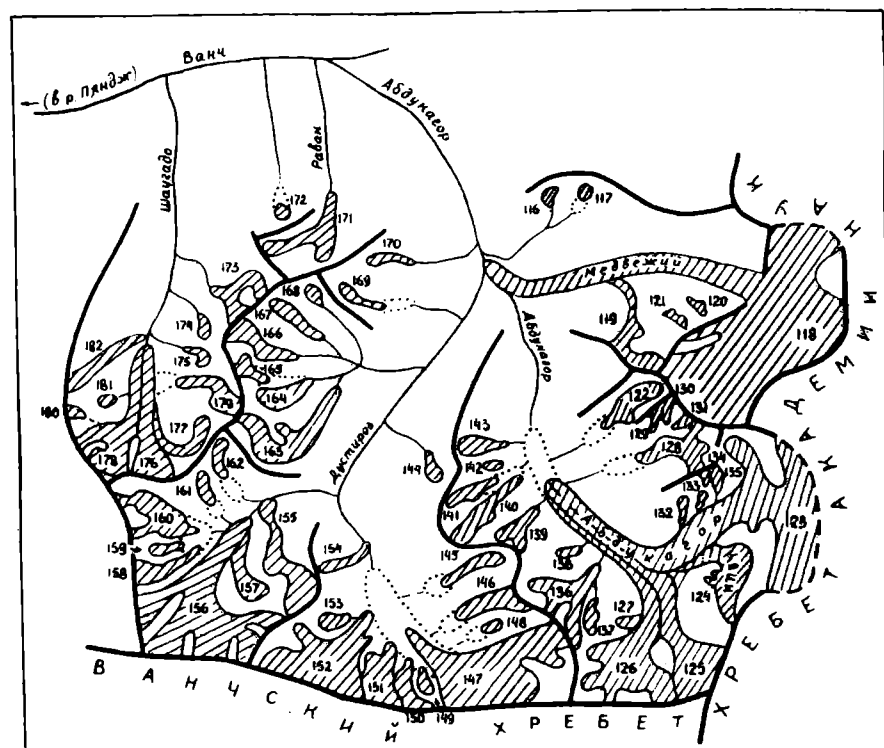


Рис. 24. Схема расположения ледников в бассейнах р. Абдукагора и левых притоков р. Ванча (рек Равак и Шаугадо).

Усл. обозначения см. на рис. 21.

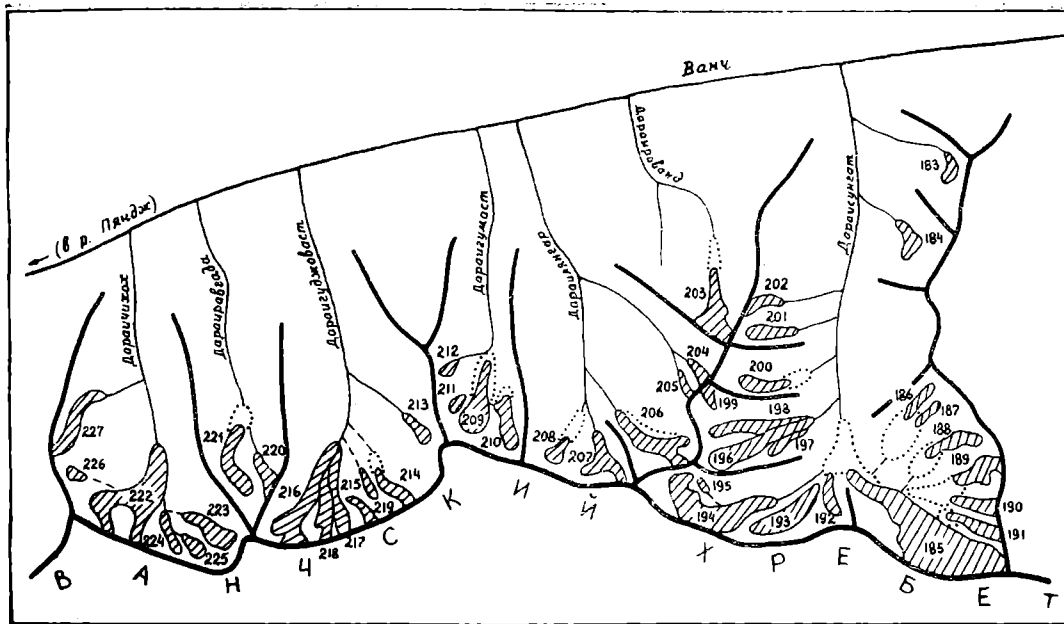


Рис. 25. Схема расположения ледников в бассейне левых притоков р. Ванча (от р. Дарасунгат до р. Дараичикхой).

Усл. обозначения см. на рис. 21.

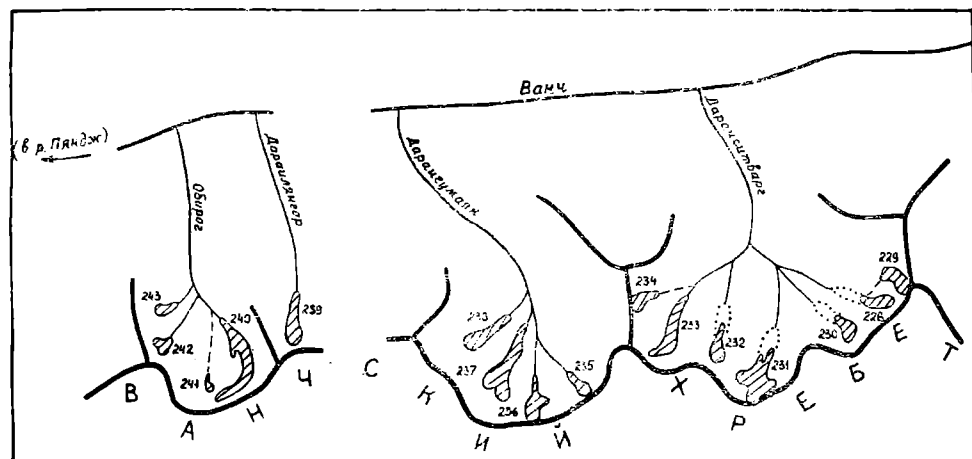


Рис. 26. Схема расположения ледниковых районов в бассейнах левых притоков р. Ванча (от р. Дараиситварг до р. Обирог).

Усл. обозначения см. на рис. 21.

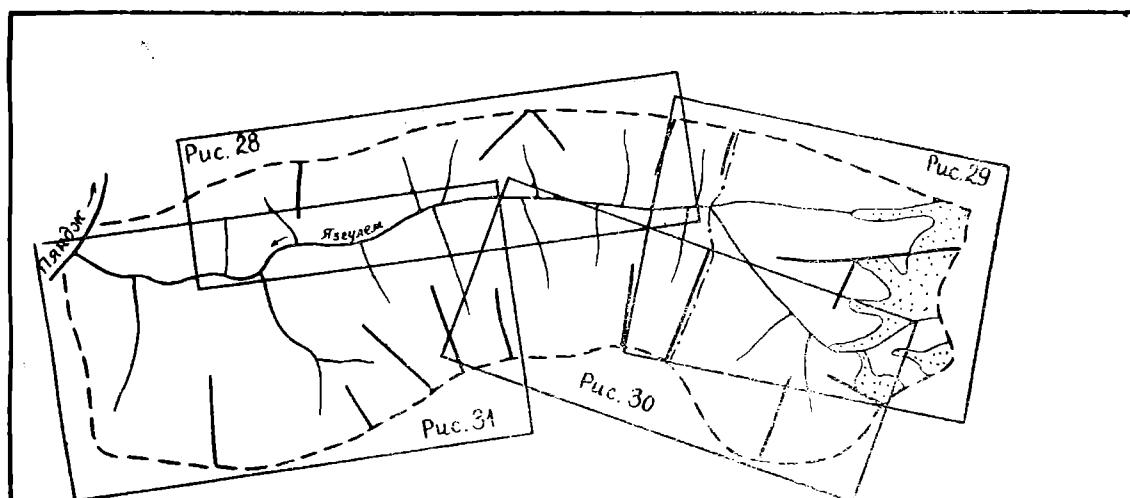


Рис. 27. Схема расположения ледниковых районов в бассейне р. Язгулема.

Усл. обозначения см. на рис. 20.

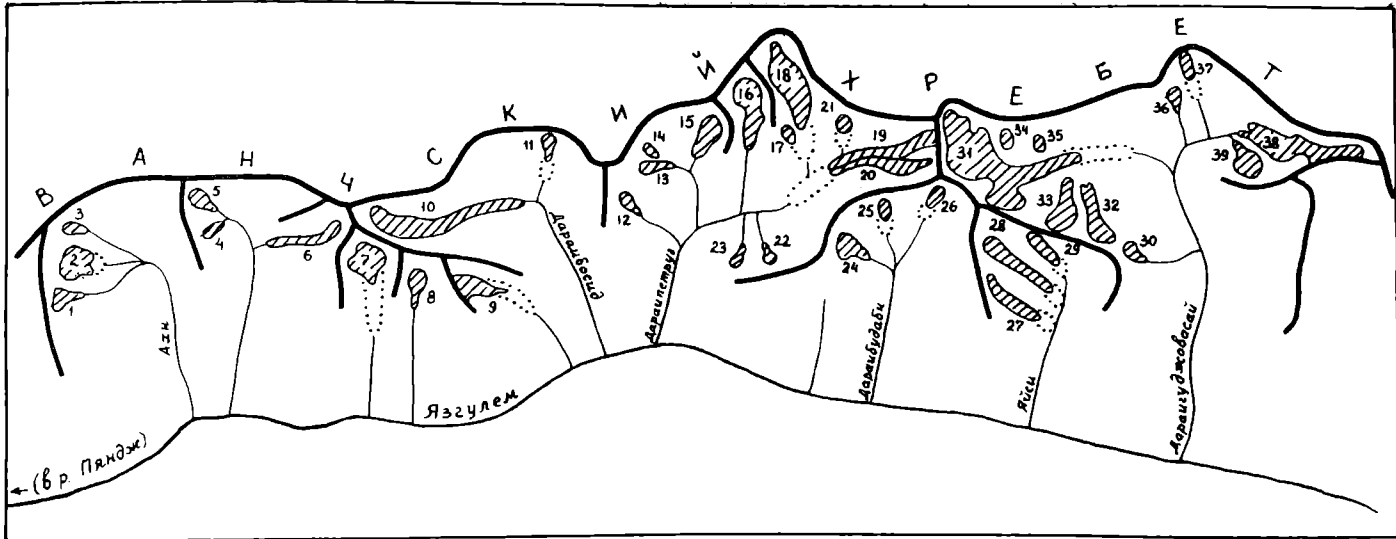


Рис. 28. Схема расположения ледников в бассейне правых притоков р. Язгулема (от р. Акс до р. Дарангуджовасай).
Усл. обозначения см. на рис. 21.

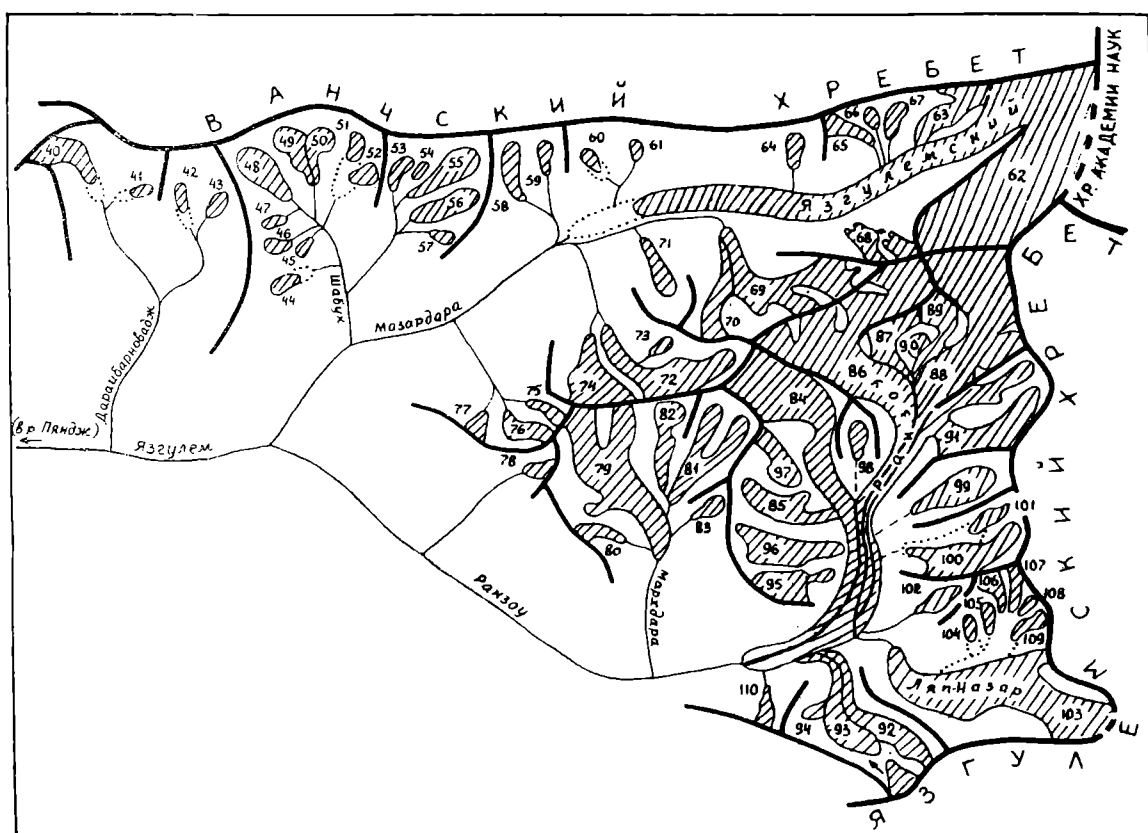


Рис. 29. Схема расположения ледников в бассейнах рек Дараибариоваджа, Мазардары и Ракзоу.
Усл. обозначения см. на рис. 21.

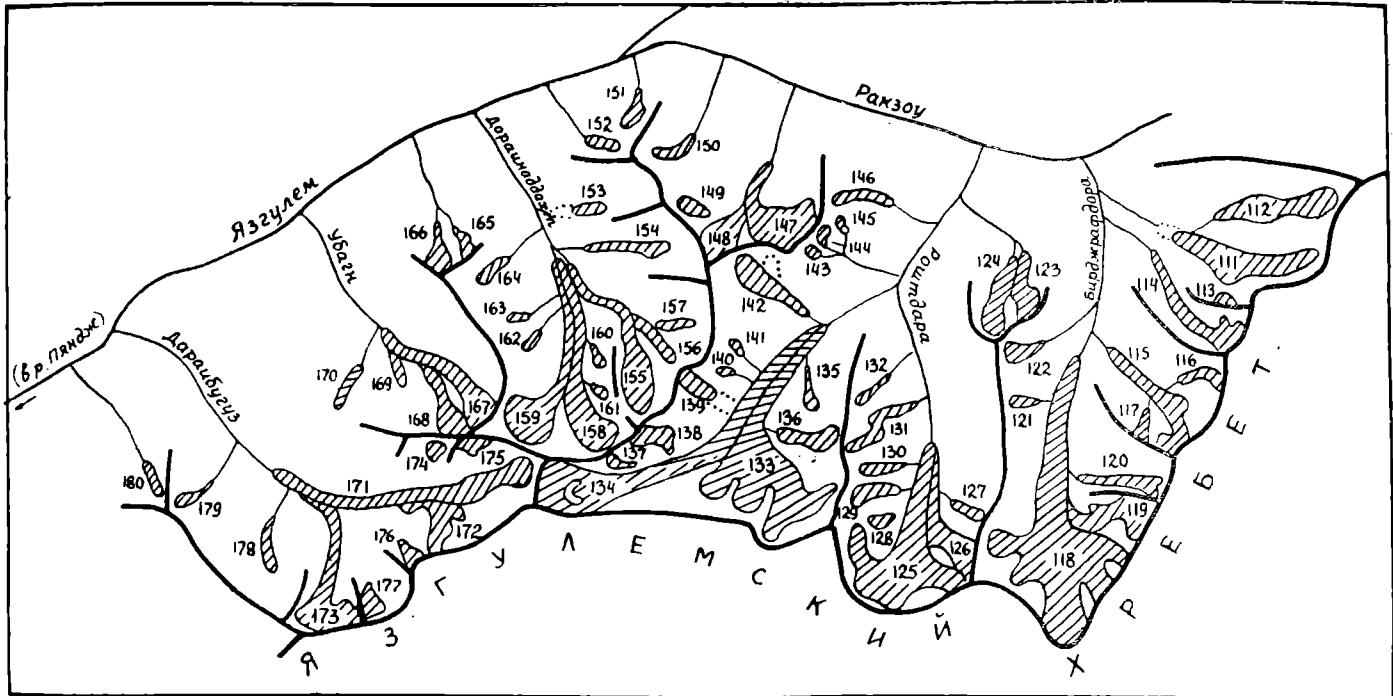


Рис. 30. Схема расположения ледников в бассейнах левых притоков р. Ракзou и левых притоков р. Язгулем от слияния рек Мазардары и Ракзou до р. Дараибугуз.

Усл. обозначения см. на рис. 21.

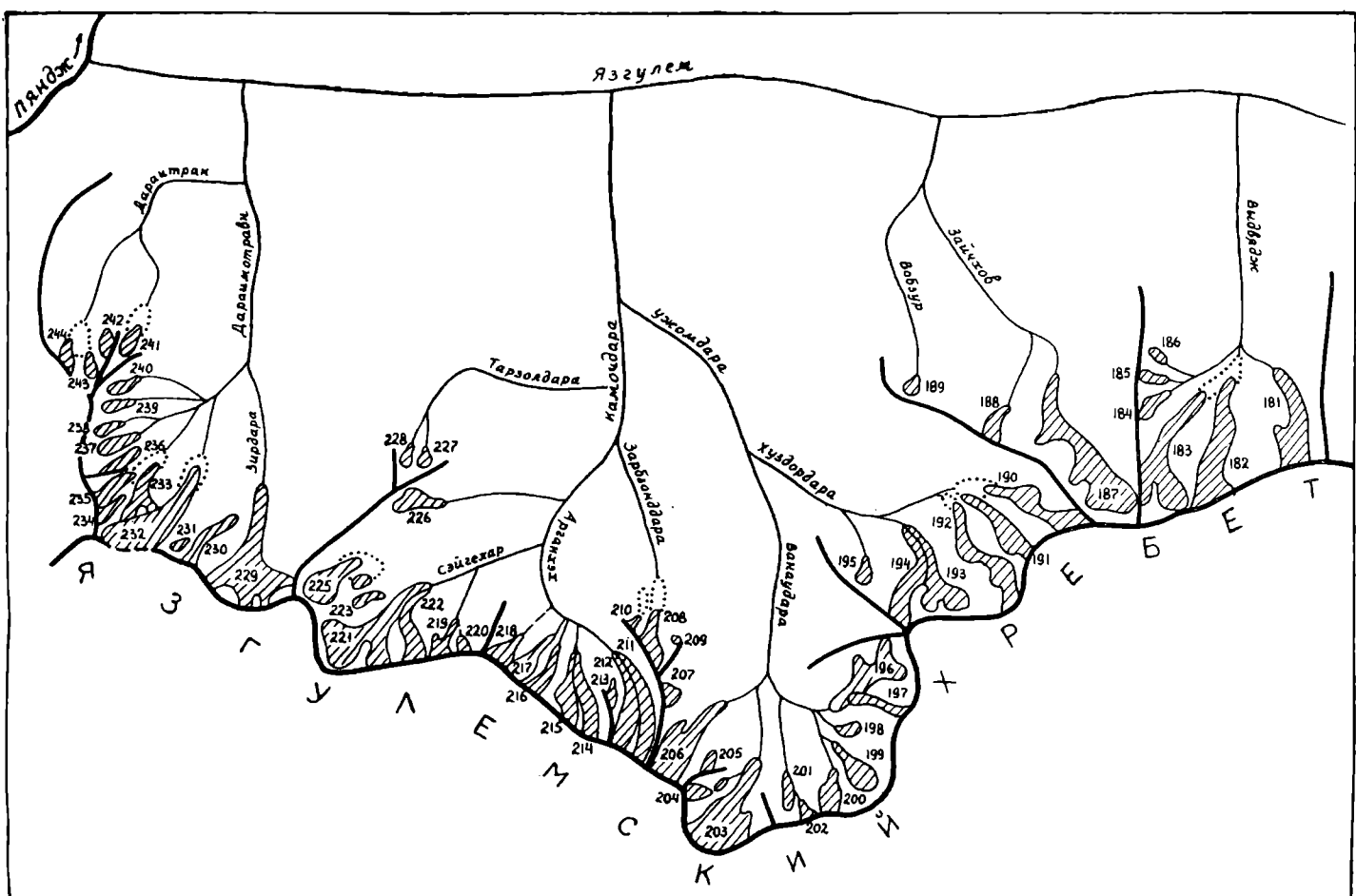


Рис. 31. Схема расположения ледников в бассейнах левых притоков р. Язгулема (от р. Выдвадж до р. Дарамотрав).

Усл. обозначения см. на рис. 21.

ОСНОВНЫЕ ТАБЛИЦЫ
КАТАЛОГА ЛЕДНИКОВ

ТАБЛИЦА I

ОСНОВНЫЕ СВЕДЕНИЯ О ЛЕДНИКАХ БАССЕЙНА р. ВАНЧА

№ по схеме	Название	Название реки, вытекающей из ледника	Морфологический тип	Площадь, км ²	Высота, м	Фирновая линия		Площадь области абляции, км ²	Ссылки на последующие таблицы (иллюстрации)	№ таблиц и иллюстраций, порядковые № сведений в таблицах
						Берега	Ледники			
1	2	3	4	5	6	7	8	9	10	11

БАССЕЙНЫ ПРАВЫХ ПРИТОКОВ Р. ВАНЧА

Бассейн о. Падашибихад (реки Ванч, Пяндж, Амурудъя)

Юго-восточный склон УД Кукудузан

1 * № 1 *Лев Толстой*

№ 2 ледник

Nº 3

456

78*

8 TOTUMKOD

122

№ 12
Бунай
12*
13*

Nº 14
Nº 15
Nº 15*

Nº 16*

Кроме того, в бассейне Итого 10 ледников

и менее 0,1 км² каждый, общей площадью 0,13 км² (96) (71).

MEHMET U. I.
(9.6) (7.1)

Итого 10 ледников

Бассейн р. Дараипотов (реки Ванч, Пяндж, Амударья)

19*	Потов 1 ледник	Дараипотов	кар.-дол.	ЮВ	1,5	1,0	0,4	02	4100	4300	4800	4400	АФС 1947 г.	0,2	—	0,0068 0,0068	
20	№ 20	пр. р. Дараишаржа- вал	дол.	СВ	3,6	3,6	1,4	1,4	3360	3360	4700	4300	АФС 1947 г.	0,9	0,9	0,0447	
21	№ 21	пр. р. Дараишаржа- вал	дол.	СВ	2,8	2,8	1,7	1,7	3600	3600	4600	4300	АФС 1947 г.	1,0	1,0	0,0598	
22	№ 22	пр. р. Дараишаржа- вал	дол.	В	3,4	2,6	1,4	1,2	3500	3640	4700	4400	АФС 1947 г.	0,8	0,6	0,0447	
23	№ 23	Арнавад	Дараишарнавад	сл.-дол.	Ю	5,5	4,9	1,7	1,5	3660	3760	6080	4700	АФС 1947 г.	0,8	0,6	0,0598
24	№ 24	Дараишарнавад	дол., часть,	ЮВ	3,2	1,6	0,3	0,2	3660	4100	4900	4600	АФС 1947 г.	0,2	0,1	0,0044 V/25	
			сл. дол.														

Сложный долинный ледник Арнавад (№ 23, 24) имеет наибольшую длину 5,5 км, общую площадь 2,0 км² (в том числе 0,3 км² закрыто мореной) и площадь области аб-
лации 1,0 км².

25*

№ 25
6 ледников

Кроме того, в бассейне р. Дараишарнавад имеется 1 ледник площадью 0,06 км²
Итого 7 ледников

26*	№ 26 1 ледник	Дараиседвадг	дол.	Ю	0,7	0,3	0,1	—	3800	4100	4260	—	—	0,1	—	0,0099
				В	1,8	1,8	0,5	0,5	3800	3800	4300	4200	АФС 1947 г.	0,4	0,4	0,0095 0,0095

Бассейн р. Дараисед (реки Ванч, Пяндж, Амударья)

27*	Сед 2 ледника	Дараисед	кар.	ЮВ	11,6	6,4	7,2	5,3	2900	3900	5700	4300	АФС 1947 г.	2,7	0,8	0,52/6 0,0044
28	№ 28		вис. кар.	СВ	1,5	1,5	0,3	0,3	3900	3900	4200	4100	АФС 1947 г.	0,1	0,1	0,52/60 0,52/60

Кроме того, в бассейне р. Дараисед имеется 1 ледник площадью 0,06 км²
Итого 3 ледника

Бассейн р. Дараишара (реки Ванч, Пяндж, Амударья)

29*	№ 29	пр. р. Дараиш- харв	кар.	С	1,6	0,4	0,6	0,2	3660	3900	4100	—	—	0,6	0,2	0,0125
30	№ 30	пр. р. Дараиш- харв	кар.	СВ	1,4	1,1	0,4	0,3	3920	4000	4500	4300	АФС 1947 г.	0,3	0,2	0,0068
31	№ 31	пр. р. Дараиш- харв	дол.	ЮВ, В	4,4	4,0	2,5	2,3	3560	3700	4800	4400	АФС 1947 г.	1,3	1,1	0,1067
32*	№ 32		кар.	ЮВ	2,8	2,8	0,9	0,8	4000	4020	5000	4400	АФС 1947 г.	0,5	0,4	0,0231
33*	№ 33	пр. р. Дараиш- харв	вис. кар.	ЮВ	1,3	0,3	0,2	0,1	4300	4500	4600	—	—	0,2	0,1	0,0024
34	№ 34	пр. р. Дараиш- харв	кар.-дол.	ЮВ	2,3	2,2	0,5	0,3	3900	3920	4700	4400	АФС 1947 г.	0,3	0,1	0,0095
35	№ 35	пр. р. Дараиш- харв	дол.	ЮВ	2,4	2,4	1,4	1,4	3760	3760	4900	4400	АФС 1947 г.	0,2	0,2	0,0447
36	№ 36	пр. р. Дараиш- харв	дол.	Ю	1,6	1,6	0,5	0,5	3940	3940	4700	4400	АФС 1947 г.	0,2	0,2	0,0095

№	Название	Название реки, вытекающей из ледника	Морфологический тип	Наибольшая длина, км	Площадь, км ²	Высота, м	Фирновая линия		Площадь, общая, км ²	Ссылки на последующие таблицы (илистратции)	
							№	способ определения и дата			
1	2	3	4	5	6	7	8	9	10	11	12
37*	Текарп	Дараитхарв	дол.	ЮВ, Ю	7,0	2,4	3500	3500	4450	АФС 1947 г.	0,6
38*	№ 38		кар.-дол.	Ю	1,2	0,2	4300	4300	4800	АФС 1947 г.	—
39*	№ 39		кар.-дол.	ЮЗ	2,0	0,4	4260	4260	5000	АФС 1947 г.	0,1
40*	№ 40		кар.	ЮЗ	0,8	0,1	4120	4350	4400	—	—
41*	№ 41		кар.-дол.	3	2,3	0,5	4000	4200	4500	АФС 1947 г.	0,3
42*	№ 42		дол.	3	2,6	0,6	3960	3960	4700	АФС 1947 г.	0,3
43*	№ 43		кар.	ЮЗ	0,8	0,2	4400	4400	4650	АФС 1947 г.	0,1
44*	№ 44		кар.	C3	1,0	0,3	3900	4100	4250	—	0,4
45*	№ 45	Даранзинг	кар.	Ю	0,9	0,4	4200	4300	4500	—	0,2
17 ледников					12,0	10,2					5,7
Кроме того, в бассейне р. Дараитхарв имеется 2 ледника размерами менее 0,1 км ² каждый, общей площадью 0,12 км ²											
Итого 19 ледников											
12.1											
Бассейн р. Дараиштровад (реки Ванч, Пяндж, Амударья)											
Южный склон Дарвазского хребта, восточный склон его южного отрога											
46*	№ 46	пр. р. Дараиштровад	дол.	В	2,0	0,6	0,4	0,1	3600	4100	4200
47*	№ 47	пр. р. Дараиштровад	кар.-дол.	СВ, В	1,8	1,5	0,7	0,6	4000	4050	4400
48*	№ 48	пр. р. Дараиштровад	дол.	ЮЗ	2,0	1,8	0,5	0,4	4020	4040	4400
49*	№ 49	пр. р. Дараиштровад	дол.	ЮВ	1,7	1,7	0,4	0,4	4160	4160	4600
50*	№ 50	пр. р. Дараиштровад	кар.-дол.	СВ	1,0	1,0	0,2	0,2	3900	3900	4300
51*	№ 51	пр. р. Дараиштровад	кар.-дол.	ЮВ, В	1,9	1,9	0,6	0,6	3980	3980	4500
52*	№ 52	пр. р. Дараиштровад	кар.	ЮВ	1,3	1,3	0,4	0,4	4240	4240	4600
53*	№ 53	пр. р. Дараиштровад	кар.	В	0,6	0,6	0,1	0,1	4200	4200	4600
54*	№ 54	пр. р. Дараиштровад	кар.	Ю	0,7	0,7	0,2	0,2	4340	4340	4550
55*	№ 55	Дараиштровад	кар.	Ю	1,4	1,4	0,6	0,6	4280	4280	4700
56*	№ 56	пр. р. Дараиштровад	вис.	ЮВ	0,8	0,8	0,4	0,4	4580	4580	4880
57*	№ 57	пр. р. Дараиштровад	кар.	Ю	0,6	0,6	0,1	0,1	4400	4400	4600
58*	№ 58	пр. р. Дараиштровад	кар.-дол.	ЮЗ	1,2	1,2	0,3	0,3	4300	4300	4770
59*	№ 59	пр. р. Дараиштровад	кар.	Ю	0,6	0,6	0,1	0,1	4400	4400	4600

60	№ 60	пр.р. Дарашир- говад	кар.	Ю	1,0	0,4	0,4	4300	4300	4600	4500	АФС 1947 г.	0,1	0,1	0,0068
15	ледников														
	Итого 16 ледников														2,1

Кроме того, в бассейне р. Дараширговад имеется 1 ледник площадью 0,08 км²

Итого 4 ледника

Бассейн р. Дарашуттарг (реки Ванч, Пяндж, Амударья)

Южный склон Дарвазского хребта

61	№ 61	пр.р. Дарашир- говад	кар.	СВ	1,2	1,2	0,6	0,6	4080	4400	4300	АФС 1947 г.	0,3	0,3	0,0125	
62	№ 62	пр.р. Дарашир- говад	кар.	В	1,4	1,2	0,7	0,5	4140	4200	4500	4350	АФС 1947 г.	0,4	0,2	0,0158
63*	№ 63	пр.р. Дарашир- говад	кар.	ЮВ	0,5	0,5	0,1	0,1	4300	4380	4350	АФС 1947 г.	—	—	0,0009	
64*	№ 64	пр.р. Дарашир- говад	кар.-дол.	ЮВ	1,6	1,6	0,8	0,8	4140	4140	4600	4400	АФС 1947 г.	0,3	0,3	0,0193
65*	№ 65	пр.р. Дарашир- говад	кар.	ЮВ	0,4	0,4	0,2	0,2	4300	4300	4500	4350	АФС 1947 г.	—	—	0,0024
66*	№ 66	Дарашуттарг	дол.	ЮЗ	2,4	2,2	1,1	1,0	4120	4160	4700	4400	АФС 1947 г.	0,7	0,6	0,0311
67*	№ 67	пр.р. Дарашир- говад	кар.	З	1,0	1,0	0,1	0,1	4300	4300	4700	4350	АФС 1947 г.	—	—	0,0009
	7 ледников								3,6	3,3				1,7		0,0829

Бассейн р. Дарашумургута (реки Ванч, Пяндж, Амударья)

Юго-восточный склон Дарвазского хребта

68*	№ 68	Дарашумургута	кар.-дол.	В	2,6	1,8	2,0	1,4	3760	3900	4600	4300	АФС 1947 г.	1,3	0,7	0,0764
69*	№ 69	пр.р. Дарашумур- гута	кар.	В	0,4	0,4	0,1	0,1	4240	4240	4600	4300	АФС 1947 г.	—	—	0,0009
70*	№ 70	пр.р. Дарашумур- гута	кар.	Ю	0,6	0,6	0,1	0,1	4240	4240	4400	4300	АФС 1947 г.	0,1	0,1	0,0009
71*	№ 71	пр.р. Дарашумур- гута	кар.	ЮВ	0,9	0,9	0,3	0,3	4200	4200	4400	4300	АФС 1947 г.	0,1	0,1	0,0044
	4 ледника								2,5	1,9				1,5		0,0826

Бассейн р. Даралиймазар (реки Ванч, Пяндж, Амударья)

Юго-восточный склон Дарвазского хребта, северо-восточный и северный склоны его южного отрога

72	№ 72	пр.р. Даралий- мазар	кар.	С	0,5	0,5	0,1	0,1	4120	4120	4300	4200	АФС 1947 г.	0,1	0,1	0,0009
73*	№ 73	пр.р. Даралий- мазар	кар.	С	0,7	0,7	0,2	0,2	4120	4120	4300	4200	АФС 1947 г.	0,1	0,1	0,0024
74*	№ 74	пр.р. Даралий- мазар	кар.	С	1,0	1,0	0,3	0,3	4150	4150	4350	4250	АФС 1947 г.	0,2	0,2	0,0044
75*	№ 75	пр.р. Даралий- мазар	кар.-дол.	СВ	2,9	2,5	1,9	1,6	4000	4100	4500	4300	АФС 1947 г.	1,1	0,8	0,0707
76	№ 76	пр.р. Даралий- мазар	асимм. дол.	В	3,4	3,2	2,1	2,0	4100	4180	4850	4450	АФС 1947 г.	1,4	1,3	0,0822
77*	№ 77	пр.р. Даралий- мазар	дол.	ЮВ	2,8	2,0	0,8	0,5	4120	4320	4600	4500	АФС 1947 г.	0,6	0,3	0,0193
78*	№ 78	пр.р. Даралий- мазар	кар.-дол.	ЮВ	2,8	2,4	1,3	1,0	4200	4300	4850	4550	АТФ 1947 г.	1,0	0,7	0,0400
79*	№ 79	пр.р. Даралий- мазар	кар.-дол.	ЮВ	3,1	3,1	1,5	1,5	4180	4200	4900	4350	АФС 1947 г.	0,8	0,8	0,0496
80	№ 80	пр.р. Даралий- мазар	кар.-дол.	В	1,6	1,6	0,6	0,6	4140	4140	4600	4300	АФС 1947 г.	0,3	0,3	0,0125
81*	№ 81	пр.р. Даралий- мазар	кар.	Ю	0,9	0,9	0,1	0,1	4300	4300	4700	4400	АФС 1947 г.	—	—	0,0009
82*	№ 82	пр.р. Даралий- мазар	дол.	ЮВ	1,0	1,0	0,3	0,3	4500	4500	4800	4600	АФС 1947 г.	0,2	0,2	0,0044

Название реки, вытекающей из ледника	Морфологический тип	Наибольшая длина, км		Площадь, км ²		Высота, м		Фирновая линия		Площадь области абляции, км ²		Ссылки на последующие таблицы (иллюстрации)							
		1	2	3	4	5	6	7	8	9	10	11	12	13	14	15	16	17	18
83*	№ 83	пр. р. Дараипой-мазар	дол.	3, Ю	2,4	2,4	0,7	0,7	4500	4500	5060	4700	4700	4700	4700	4700	4700	4700	4700
84	№ 84	пр. р. Дараипой-мазар	кар.	Ю3	0,7	0,7	0,2	0,2	4500	4500	4650	4600	4600	4600	4600	4600	4600	4600	4600
85	№ 85	пр. р. Дараипой-мазар	кар.	Ю	1,1	1,1	0,2	0,2	4660	4660	4900	4750	4750	4750	4750	4750	4750	4750	4750
86*	№ 86	пр. р. Дараипой-мазар	кар.	Ю3	0,8	0,8	0,3	0,3	4650	4650	4950	4700	4700	4700	4700	4700	4700	4700	4700
87*	№ 87	Дараипоймазар	дол. вис. кар.	С3, ЮЗ 5,1	5,1	3,5	3,1	3,1	3980	3980	5430	4700	4700	4700	4700	4700	4700	4700	4700
88*	№ 88	пр. р. Дараипой-мазар	дол.	В	1,1	1,1	0,2	0,2	4400	4400	4800	4600	4600	4600	4600	4600	4600	4600	4600
89*	№ 89	пр. р. Дараипой-мазар	дол.	З, ЮЗ 3,1	3,0	1,0	0,9	0,9	4100	4100	4120	5200	5200	5200	5200	5200	5200	5200	5200
90*	№ 90	пр. р. Дараипой-мазар	дол.	3	3,5	3,4	0,9	0,8	4100	4100	4120	5350	5350	5350	5350	5350	5350	5350	5350
91*	№ 91	пр. р. Гармо	кар.	ЮВ	2,0	1,6	1,7	0,8	4100	4200	6500	4500	4500	4500	4500	4500	4500	4500	4500
92*	№ 92	пр. р. Гармо	кар.	Ю	0,8	0,2	0,2	0,1	4120	4200	6500	4500	4500	4500	4500	4500	4500	4500	4500
93*	№ 93	Гармо	дол.	ЮВ	3,5	2,9	1,5	1,2	3900	4100	5350	4550	4550	4550	4550	4550	4550	4550	4550
94*	№ 94	пр. р. Гармо	дол.	Ю	2,4	1,0	0,8	0,5	4000	4000	4400	4700	4700	4700	4700	4700	4700	4700	4700
23 ледника									20,4	20,4	20,4	17,2							
Кроме того, в бассейне р. Дараипоймазар имеется 11 ледников размерами менее 0,1 км ² каждый, общей площадью 0,83 км ²																			
Итого 34 ледника																			

Бассейн правого безымянного притока р. Ванча между устьем р. Дараипоймазар и языком ледника Географического общества (реки Ванч, Пяндж, Амударья)

Южный склон южного отрога Дарвазского хребта

№ ледника	Приток р. Ванча	Кар.-дол.	0,4	0,1	0,1	4100	4260	4500	—	—	0,1	0,1	0,0009	0,0009
95*	№ 95	1 ледник												

Кроме того, в бассейне правого безымянного притока р. Ванча между устьем р. Дараипоймазар и языком ледника Географического общества имеется 4 ледника размерами менее 0,1 км² каждый, общей площадью 0,3 км²

Итого 5 ледников

Всего в бассейнах правых притоков р. Ванча от устья до бассейна ледника Географического общества 117 ледников общевой площадью 80,4 км², в том числе 95 ледников размером 0,1 км² и более каждый, общей площадью 78,8 км² (из них 12,9 км² закрыто мореной) и 22 ледника размером менее 0,1 км² каждый, общей площадью 1,6 км²

БАССЕЙНЫ ВЕРХОВЬЕВ Р. ВАНЧА И Р. АБДУКАГОРА

Бассейн ледника Географического общества (реки Ванч, Пяндж, Амударья)

Южный склон Дарвазского хребта, юго-западный склон хр. Академии Наук

Географическое общество	Ванч	Сл. дол., основной поток	23	IV/3—5, 8, 9, 13, 17, 24, 25; V/7, 13, 21, 22, 23, 25, 31, 38—40, 45, 46, 49, 50—53, 56, 57, 62, рис. 7, 18.
96*				

Продолжение таблицы 1

Название реки и ледника	Название реки, вытекающей из ледника	Морфо- логиче- ский тип	Наибольшая длина, км	Площадь, км ²	Высота, м		Фирновая линия		Границы области а- бляции, км ²	Ссылки на последующие таблицы (иллюстрации)							
					столбец 1	столбец 2	столбец 3	столбец 4									
1	2	3	4	5	6	7	8	9	10	11	12	13	14	15	16	17	18
123*	Абдука- горский	Абдукагор	сл. дол., основной поток	ЮЗ, С3 11,4	10,8	12,9	11,1	3560	3700	6060	4900	АФС 1968 г.	5,1	3,3	1,2510	IV/4, 7, 26; V/23, 25, 28; рис. 9	
124*	Клин		дол., часть С, 3	4,0	2,8	2,4	1,9	4340	4480	5440	4800	АФС 1968 г.	0,9	0,4	0,1004		
			сл. дол.														

Сложный долинный ледник № 123, 124, часть дендритового ледника Абдукагорского, имеет наибольшую длину 11,4 км, общую площадь 15,3 км² (в том числе 2,3 км² за-
крыто мореной) и площадь области абляции 6,0 км²

Название реки, вытекающей из ледника	Морфологический тип	Наибольшая длина, км	Площадь, км ²	Высота, м	Фирновая линия	Границы области абляции, км ²	Ссылки на последующие таблицы (иллюстрации)								
125*	Каскад- ный	Абдукагор	дол., часть С3, 3	9,5	3,0	4,6	2,6	3560	4500	5620	4650	АФС 1968 г.	2,4	0,4	0,2664
126*	Обвалов	Абдукагор	дол., часть С, С3	9,8	3,2	5,5	3,4	3560	4480	5660	4600	АФС 1968 г.	2,8	0,7	0,3483
127	№ 127		сл. дол., кар.-дол., кар.-дол., часть сл. дол.	1,4	1,0	0,6	0,4	4420	4500	4750	4600	АФС 1968 г.	0,5	0,3	0,0125

Сложный долинный ледник № 125—127, часть дендритового ледника Абдукагорского, имеет наибольшую длину 9,8 км, общую площадь 10,7 км² (в том числе 3,7 км² за-
крыто мореной) и площадь области абляции 5,1 км²

Дендритовый ледник Абдукагорский (№ 123—127) имеет наибольшую длину 11,4 км, общую площадь 26,0 км² (в том числе 6,0 км² закрыто мореной) и площадь области
абляции 11,1 км²

Название реки, вытекающей из ледника	Морфологический тип	Наибольшая длина, км	Площадь, км ²	Высота, м	Фирновая линия	Границы области абляции, км ²	Ссылки на последующие таблицы (иллюстрации)										
1	2	3	4	5	6	7	8	9	10	11	12	13	14	15	16	17	18
128*	Шумный	ЮЗ	2,8	2,6	1,6	1,2	4260	4300	5500	4800	АФС 1968 г.	1,2	0,8	0,0546			
129*	№ 129	Ю	1,4	1,2	0,4	0,3	4680	4720	5250	4900	АФС 1968 г.	0,2	0,1	0,0068			
130*	№ 130	Ю	1,0	1,0	0,2	0,2	4700	4700	5300	4900	АФС 1968 г.	0,1	0,1	0,0024			
131*	№ 131	ЮЗ	1,1	1,1	0,3	0,3	4700	4700	5440	4900	АФС 1968 г.	0,1	0,1	0,0044			
132*	№ 132	Ю	1,1	0,5	0,2	0,1	4620	4800	5000	4900	АФС 1968 г.	0,2	0,1	0,0024			
133*	№ 133	Ю	0,6	0,3	0,1	0,1	4720	4880	4880	—	—	—	—	0,0009			
134*	№ 134	Ю	0,9	0,6	0,2	0,2	4900	4900	5400	5100	АФС 1968 г.	0,1	0,1	0,0024			
135*	№ 135	Ю	1,0	1,0	0,4	0,4	4900	4900	5500	5100	АФС 1968 г.	—	—	0,0068			
136*	Скрытый	С	3,6	2,4	2,7	1,8	4040	4400	5200	4600	АФС 1968 г.	1,8	0,9	0,1198			
137*	№ 137	С	1,5	1,5	0,4	0,4	4240	4240	4900	4400	АФС 1968 г.	0,2	0,2	0,0068			
138*	№ 138	СВ	1,3	0,3	0,4	0,1	3920	4080	4120	—	—	0,4	0,1	0,0068			
139	№ 139	пр. р. Абдукагора	кар.-дол.	С	2,3	0,4	1,2	0,9	3700	4000	5000	4100	АФС 1968 г.	0,4	0,1	0,0355	рис. 10
140*	Мрамор- ный	пр. р. Абдукагора	дол.	С	3,3	2,4	1,3	0,6	3500	4250	5200	4400	АФС 1968 г.	0,9	0,2	0,0400	
141*	№ 141	пр. р. Абдукагора	дол.	СВ	2,2	1,1	0,8	0,4	4000	4300	5100	4500	АФС 1968 г.	0,5	0,1	0,0193	
142*	№ 142	пр. р. Абдукагора	дол.	В	0,7	—	0,2	—	4200	—	4600	—	—	0,2	—	0,0024	
143	Вистчий	пр. р. Абдукагора	вис. кар.	СВ, В	1,6	1,6	0,7	0,7	4000	4000	4500	4500	АФС 1968 г.	0,4	0,4	0,0158	
30 ледников																	
																	7,4570

Кроме того, в бассейне р. Абдукагора имеется 3 ледника размерами менее 0,1 км² каждый, общей площадью 0,22 км²

Итого 33 ледника

Бассейн р. Дустироза (реки Абдулхор, Ваны, Птия, Амулары)

Северный склон Банчского хребта, западный склон Миона-Даринского хребта, восточный склон северного отрога Банчского хребта									
№ 144 п. р. Дустироза п. р. Правого Дустироза	внс. кар. дол.	C3 3, ЮЗ 3,2 3,0	1,7 1,2 0,6	0,4 0,2 0,4	4200 4240 4240	4400 5210 5180	AФС 1968 г. AФС 1968 г. AФС 1968 г.	0,4 0,2 0,2	0,0125 0,0355
№ 145* ко								0,6	
№ 146 п. р. Правого Дустироза	дол.	C3, ЮЗ C3	2,9 5,0 7,5	1,3 0,4 6,8	4560 4060 4300	5250 5600 4600	AФС 1968 г. AФС 1968 г. AФС 1968 г.	0,9 0,9 3,9	0,0400 0,5546
147* Правый Дустироз	асим. дол.					4800			
148* № 148	кар.	ЮЗ	1,0	0,2	4600	5000	AФС 1968 г.	0,1	0,0024
149* № 149	внс.-кар.	-C	1,1	0,9	0,4	4170	4200	5550	AФС 1968 г. 0,2 0,1
150* № 150	кар.-дол.	C	2,7	2,7	1,0	4140	4140	4500	AФС 1968 г. 0,5 0,5
151* № 151	кар.-дол.	C	2,4	2,4	2,0	4060	4060	4500	AФС 1968 г. 1,0 1,0
152* № 152	дол.	СВ	4,5	3,2	4,5	4,0	3940	4100	4930 4500
153* № 153	кар.	B	1,2	0,8	0,5	0,4	4400	4450	AФС 1968 г. 0,2 0,1
154* № 154	дол.	СВ	2,2	0,2	0,5	0,1	3740	4200	4300 — 0,5 0,1
155* № 155	пр. р. Левого Дустироза	дол.	C3	4,0	3,2	1,8	3780	3980	5410 4900 AФС 1968 г. 0,9 0,4
156* Левый Дустироз	сл. дол.	C	5,9	5,2	9,4	8,8	3880	3950	5350 4700— AФС 1968 г. 5,9 5,3
157 № 157	Левый Дустироз	дол., часть сл. юл.	C3	3,1	1,0	0,8	0,4	3880	4280 5000 4500 AФС 1968 г. 0,6 0,2 0,0193
Сложный долинный ледник Левый Дустироз (№ 156, 157) имеет наибольшую длину 5,9 км, общую площадь 10,2 км ² (в том числе 1,0 км ² закрыто области аблации 6,5 км ² .									
158* № 158	дол.	СВ	2,8	2,8	1,1	1,1	4100	5150	4600 AФС 1968 г. 0,6 0,6 0,0311
159* № 159	кар.-дол.	СВ	1,3	1,3	0,5	0,5	4240	4240	4800 4500 AФС 1968 г. 0,2 0,2 0,0095
160* № 160	дол.	B	3,8	3,0	2,2	1,6	4140	4200	5580 4600 AФС 1968 г. 1,5 0,9 0,0881
161* № 161	кар.-дол.	ЮВ	2,3	1,8	0,9	0,7	4000	4140	4800 4600 AФС 1968 г. 0,5 0,3 0,0231
162* № 162	пр. р. Левого Дустироза	дол.	Ю	2,0	2,0	0,6	4300	4300	4700 4700 AФС 1968 г. 0,5 0,5 0,0125
163* Южный	пр. р. Джанголь- дара	сл. дол.	СВ	5,1	3,7	2,4	2,0	3820	4100 5000 4400 AФС 1968 г. 1,4 1,0 0,9442
164* Северный	пр. р. Джанголь- дара	асим. дол.	СВ	1,6	1,2	0,8	0,6	4160	4200 4700 4500 AФС 1968 г. 0,5 0,3 0,0193
165* № 165	пр. р. Джанголь- дара	дол.	B	1,6	1,6	0,4	0,4	4420	4700 4500 AФС 1968 г. 0,3 0,3 0,0068
166 № 166	Джанголь- дара	дол.	B	2,6	2,1	0,8	0,7	4200	4300 5070 4700 AФС 1968 г. 0,4 0,3 0,0193
167* № 167	пр. р. Джанголь- дара	дол.	B	2,4	2,2	0,5	0,5	4000	4020 4900 4750 AФС 1968 г. 0,3 0,3 0,0095
168 № 168	пр. р. Джанголь- дара	кар.-дол.	ЮВ	1,0	1,0	0,2	0,2	4400	4900 4750 AФС 1968 г. 0,1 0,1 0,0024
169* № 169	пр. р. Дустироза	дол.	ЮВ	2,2	0,7	0,6	0,2	3760	4450 4900 4500 AФС 1968 г. 0,4 — 0,0125
26 ледников				42,7	37,2				26,1 — 2,3050

Кроме того, в бассейне р. Дустироза имеется 4 ледника размерами менее 0,1 км² каждый, общей площадью 0,28 км²

Итого 30 ледников

№ ледник	Название ледника	Название реки, вытекающей из ледника	Морфо- логический тип	Наибольшая длина, км		Площадь, км ²		Высота, м		Фирновая линия		Площадь об- ласти аб- ляции, км ²		Ссылки на последующие таблицы (иллюстрации)	
				5	4	6	7	8	9	10	11	12	13	14	
170 1 ледник	№ 170	пр. р. Абдукарова	кар.-дол.	2,3	2,0	0,6	0,5	3800	3900	4900	4500	АФС 1968 г.	0,5 0,5	0,4 0,0125 0,0125	

Бассейн левого безымянного притока р. Абдукарова ниже устья р. Дустироза (реки Абдукаров, Ванч, Пяндж, Амударья)

№ ледник	Название ледника	Название реки, вытекающей из ледника	Морфо- логический тип	Восточный и северный склоны северного отрога Ванчского хребта		Высота, м		Фирновая линия		Площадь об- ласти аб- ляции, км ²		Ссылки на последующие таблицы (иллюстрации)		
				5	4	6	7	8	9	10	11	12		
170 1 ледник	№ 170	пр. р. Абдукарова	кар.-дол.	2,3	2,0	0,6	0,5	3800	3900	4900	4500	АФС 1968 г.	0,5 0,5	0,4 0,0125 0,0125

Всего в бассейне верховьев р. Ванча имеется 89 ледников общим площадью 216,9 км², в том числе 75 ледников размерами 0,1 км² и более каждый, общей площадью 215,8 км² (из них 33,6 км² закрыто мореной) и 14 ледников размерами менее 0,1 км² кажды, общей площадью 1,1 км².

БАССЕЙНЫ ЛЕВЫХ ПРИТОКОВ Р. ВАНЧА

№ ледник	Название ледника	Название реки, вытекающей из ледника	Морфо- логический тип	Бассейн р. Равак (реки Ванч, Пяндж, Амударья)		Северный склон северного отрога Ванчского хребта		Высота, м		Фирновая линия		Площадь об- ласти аб- ляции, км ²		Ссылки на последующие таблицы (иллюстрации)		
				5	4	6	7	8	9	10	11	12	13			
171* 1 ледник	Равак	Равак	кар.-дол.	СВ, С	4,1	2,1	1,9	1,2	1,2	3500	3900	5130	4400	АФС 1968 г.	1,3 1,3	0,6 0,0707 0,0707
172* 1 ледник	№ 172	пр. р. Ванча	кар.	С3	0,8	0,8	0,3	0,3	0,3	4100	4100	4500	4400	АФС 1968 г.	0,3 0,3	0,3 0,0044 0,0044

Бассейн р. Шаугадо (реки Ванч, Пяндж, Амударья)

№ ледник	Название ледника	Название реки, вытекающей из ледника	Морфо- логический тип	Северный склон северного отрога Ванчского хребта, постоянный и западный склоны его северных отрогов		Северный склон северного отрога Ванчского хребта		Высота, м		Фирновая линия		Площадь об- ласти аб- ляции, км ²		Ссылки на последующие таблицы (иллюстрации)	
				5	4	6	7	8	9	10	11	12	13		
173* 1 ледник	№ 173	пр. р. Шаугадо	дол.	3	2,4	1,8	1,2	0,8	4400	4700	5430	4800	АФС 1968 г.	0,8 0,1	0,4 0,0355 0,0355
174* 1 ледник	№ 174	пр. р. Шаугадо	кар.	С3	0,6	0,6	0,2	0,2	4200	4200	4800	4500	АФС 1968 г.	0,1 0,1	0,1 0,0024 0,0024
175* 1 ледник	№ 175	пр. р. Шаугадо	выс. кар.	С3	1,0	0,8	0,2	0,2	4550	4700	5000	4800	АФС 1968 г.	0,1 0,1	0,1 0,0024 0,0024
176* 1 ледник	Шаугадо	Шаугадо	дол.	С	4,9	3,2	2,6	1,9	3800	4000	5100	4550	АФС 1968 г.	1,8 1,1	0,1 0,1132 0,1132
177 1 ледник	№ 177			С3	3,8	2,5	1,4	1,1	4000	4300	5200	4500	АФС 1968 г.	0,7 0,7	0,4 0,0447 0,0447
178* 10 ледников	Шаугадо	Шаугадо	дол., часть дол., часть дол.	С	5,0	3,5	3,5	3,0	3800	3940	5000	4500	АФС 1968 г.	1,8 6,5	1,3 0,1768 0,1768
179* 10 ледников	№ 179			3	1,9	0,8	0,8	0,8	4500	4500	5180	4700	АФС 1968 г.	0,2 0,8	0,2 0,0193 0,0193
180* 10 ледников	№ 180			В	0,6	0,6	0,1	0,1	4580	4580	4900	4700	АФС 1968 г.	0,1 0,1	0,1 0,0009 0,0009
181* 10 ледников	№ 181			В	0,5	0,5	0,1	0,1	4250	4250	4600	4500	АФС 1968 г.	0,1 0,1	0,1 0,0009 0,0009
182 10 ледников	№ 182	пр. р. Шаугадо	дол.	СВ	3,8	2,4	1,2	0,6	3780	4200	5100	4500	АФС 1968 г.	0,8 6,5	0,2 0,6515 0,6515

Сложный долинный ледник Шаугадо (№ 176—178) имеет наибольшую длину 5,0 км, общую площадь 7,5 км² (в том числе 1,5 км² закрыто мореной) и площадь областя аблации 4,3 км²

Бассейн р. Дараисунгат (реки Ванч, Пяндж, Амуларья)

Северный склон Ванчского хребта, западный склон сго северного отрога, восточный склон хр. Сунгат											
184	№ 184	пр. р. Дараисунгат	кар.-дол.	С3	1,2	0,6	0,3	0,2	3800	4000	4500
185*	Сунгат	пр. р. Дараисунгат	вис. кар.	С3	1,4	0,8	0,6	0,3	3650	4050	4400
186*	правый № 186	Дараисунгат	асим. дол.	С3	6,6	4,8	6,0	4,2	3800	4100	5030
183	№ 183		кар.-дол.	Ю	1,5	0,6	0,3	0,1	4620	4740	5000
187*	№ 187		кар.-дол.	Ю3	1,1	0,4	0,2	0,1	4660	4900	5000
188*	№ 188		кар.-дол.	Ю3	1,8	1,8	0,5	0,4	4300	4300	4600
189*	№ 189		кар.-дол.	Ю3	1,9	1,9	0,8	0,8	4500	4500	4750
190*	№ 190		кар.-дол.	3	1,6	1,6	0,6	0,6	4460	4900	4650
191*	№ 191		кар.-дол.	3	2,2	2,2	0,7	0,7	4460	5150	4700
192*	№ 192	пр. р. Дараисунгат	кар.-дол.	С3	1,5	0,6	0,3	0,1	3870	4200	4400
193*	№ 193	пр. р. Дараисунгат	кар.-дол.	С	3,3	1,2	1,6	0,5	3920	4500	4700
194*	Сунгат	пр. р. Дараисунгат	асим. дол.	СВ	4,6	3,2	2,6	2,0	4220	4500	5100
195*	левый № 195		вис. кар.	ЮВ	0,7	0,7	0,2	0,2	4780	4780	4900
196	№ 196	пр. р. Дараисунгат	дол., часть	СВ	3,4	1,3	0,9	0,9	3780	3780	4800
197*	№ 197	пр. р. Дараисунгат	сл. дол., часть	СВ	1,4	0,4	0,2	0,1	3780	4120	4240
198*	№ 198	пр. р. Дараисунгат	дол., часть	СВ	2,2	0,8	0,7	0,4	3900	4260	4500
			сл. дол.								
199	№ 199	пр. р. Дараисунгат	вис. кар.	ЮВ	0,7	0,2	0,2	0,2	4500	5100	4900
200*	№ 200	пр. р. Дараисунгат	дол.	СВ	1,7	1,1	0,5	0,2	4040	4100	4500
201*	№ 201	пр. р. Дараисунгат	дол.	В	1,8	0,4	0,5	0,1	3800	4500	4650
202*	№ 202	пр. р. Дараисунгат	кар.	В	0,6	—	0,1	—	4200	—	4400
		20 ледников									
203*	№ 203	Дараированд	дол.						18,2	12,1	
1 ледник									1,0	0,6	

Сложный долинный ледник № 196—198 имеет наибольшую длину 3,4 км, общую площадь 2,2 км² (в том числе 0,8 км² закрыто мореной) и площадь области аблажии 1,9 км²

Кроме того, в бассейне р. Дараисунгат имеется 6 ледников размерами менее 0,1 км² каждый, общей площадью 0,40 км²

Итого 26 ледников

Сложный долинный ледник № 196—198 имеет наибольшую длину 3,4 км, общую площадь 2,2 км² (в том числе 0,8 км² закрыто мореной) и площадь области аблажии 1,9 км²

Кроме того, в бассейне р. Дараисунгат имеется 6 ледников размерами менее 0,1 км² каждый, общей площадью 0,40 км²

Итого 26 ледников

Бассейн р. Дараированд (реки Ванч, Пяндж, Амуларья)

Западный склон хр. Сунгат, восточный склон сго западного отрога											
203*	№ 203	Дараированд	дол.	С3	2,4	1,2	1,0	0,6	3960	4200	5300
1 ледник									1,0	0,6	
204	№ 204	пр. р. Дараилянгар	вис.	C3	1,3	1,3	0,3	0,3	4300	4700	4400
205	№ 205	пар. р. Дараилянгар	вис.	C3	1,2	1,2	0,3	0,3	4400	4800	4500

бассейн р. Дарацхех (реки Ванч, Пяндж, Амударья)

Бассейн Р. Дараиситварг (реки Ванч, Пяндж, Амударья)

Кроме того, в бассейне р. Дараанытварг имеется 1 ледник площадью 0,06 км²
Итого 8 ледников 30

Баскетбол в Пазарджикской (сев.) Южн. Паштун. Азии

Баланс р. Дарынумайк (реки Баты, Иняндж, Амударья)	Северный склон						АФС 1947 г.	0,2	0,1	0,0024		
	235	№ 235	пр. р. Дараигу- маяк	кар.	3	1,2	0,8	0,2	0,1	4200	4300	4600
236	№ 236	пр. р. Дараигу- маяк	выс. кар.	C3	1,5	1,1	0,3	0,2	3500	3850	5000	4400
237*	№ 237	Дараигумаяк	дол.	C	3,3	1,7	1,1	0,7	3120	3380	4300	3800
238*	№ 238	пр. р. Дараигу- маяк	кар.-дол.	CB	2,0	0,4	0,4	0,2	(3040)	3450	3700	—
4 ледника						2,0	1,2				—	—
											0,4	0,2
											—	—
											1,3	0,0447

Кондоме того в бассейне в Данаунгумак и имеется 3 лотника длиной менее 0,1 км² каскадный общий пропускной 0,20 км²

22
MARCH 1930.] A JOURNAL OF SCIENCE

卷之三

№	Наименование	Название реки, вытекающей из ледника	Морфологический тип	Наименьшая длина, км	Площадь, км ²	Высота, м	Фирновая линия		Площадь области, км ²	Объем, км ³	Ссыльки на последующие таблицы (иллюстрации)
							Бломинка	Бломинка			
1	2	3	4	5	6	7	8	9	10	11	12
240*	№ 240	Обирог	дол.	C3	(3,6) (0,9)	(0,9) (3500)	(3500) (4800)	(4000)	АФС 1947 г.	(0,5) (0,5)	(0,0231)
241*	№ 241	пр. р. Обирог	вис.	C3	(1,0) (1,0)	(0,2) (0,2)	(3770) (3770)	(3770) (4700)	АФС 1947 г.	(0,1) (0,1)	(0,0024)
242*	№ 242	пр. р. Обирог	вис.	C	(0,7) (0,7)	(0,2) (0,2)	(3900) (3900)	(3900) (4740)	—	—	(0,0024)
243*	№ 243	пр. р. Обирог	кар.	C	(0,7) (0,3)	(0,2) (0,1)	(3400) (3600)	(3600) (3800)	АФС 1947 г.	(0,1) (0,1)	(0,0024)
4 ледника											

Бассейн р. Обирог (реки Ванч, Пяндж, Амуударья)

Северный склон Валчского хребта

№	Наименование	Название реки, вытекающей из ледника	Морфологический тип	Наименьшая длина, км	Площадь, км ²	Высота, м	Фирновая линия	Площадь области, км ²	Объем, км ³	Ссыльки на последующие таблицы (иллюстрации)	
240*	№ 240	Обирог	дол.	C3	(3,6) (0,9)	(0,9) (3500)	(3500) (4800)	(4000)	АФС 1947 г.	(0,5) (0,5)	(0,0231)
241*	№ 241	пр. р. Обирог	вис.	C3	(1,0) (1,0)	(0,2) (0,2)	(3770) (3770)	(3770) (4700)	АФС 1947 г.	(0,1) (0,1)	(0,0024)
242*	№ 242	пр. р. Обирог	вис.	C	(0,7) (0,7)	(0,2) (0,2)	(3900) (3900)	(3900) (4740)	—	—	(0,0024)
243*	№ 243	пр. р. Обирог	кар.	C	(0,7) (0,3)	(0,2) (0,1)	(3400) (3600)	(3600) (3800)	АФС 1947 г.	(0,1) (0,1)	(0,0024)
4 ледника											(0,0303)

Всего в бассейнах левых притоков р. Ванча от устья р. Абдулкагора до впадения его в р. Пяндж имеется 85 ледников в общем площадью 56,6 км²; в том числе 73 ледника размером 0,1 км² и более каждый, общей площадью 55,8 км² (из них 19,4 км² закрыто мореной) и 12 ледников размером менее 0,1 км² кажды, общей площадью 0,8 км², объем льда 1,8330 км³.

Всего в бассейне р. Ванча 291 ледник общей площадью 353,9 км²; в том числе 243 ледника размером 0,1 км² и более каждый, общий площадью 350,4 км² (из них 65,9 км² закрыто мореной) и 49 ледников размером менее 0,1 км² каждый, общей площадью 35,3 км², объем льда 23,3365 км³.

Пояснения к таблице I

№ ледни- ка по таб- лице	Наз- вание	№ гра- фы	Пояснение	№ ледни- ка по таб- лице	Наз- вание	№ гра- фы	Пояснение
1	2	3	4	1	2	3	4
1	№ 1	4, 13	На сильно загрязненной поверхности языка следы лавин и отдельные пятна чистого льда. Фирновая линия определена приближенно. Ниже конца языка до высоты 3850 м погребенный лед площадью 0,3 км ²				один — на юго-восточном склоне Дарвазского хребта, на склоне г. Арнавад, второй — плоское плато между тремя вершинами. Сток из этого резервуара осуществляется на север и восток в ледники, расположенные на северном склоне Дарвазского хребта. Линия ледораздела проведена условно. Из этого плато через пропил в гребне хребта крутым ледопадом спускается узкий и длинный язык
2—4	№ 2—4	13	Указана средняя высота границы лавинного питания				Ледник «туркестанского типа». Фирновая область отсутствует, питание лавинное. Ниже конца ледника до высоты 3480 м спускается участок погребенного льда площадью 0,5 км ²
5	№ 5	4, 13 15	Ниже конца ледника участок погребенного льда площадью 0,1 км ² , спускающийся до высоты 3280 м. Указана средняя высота границы лавинного питания. Площадь области аблации менее 0,1 км ²	29	№ 29	4, 15, 16	Расположен в бассейне ледника № 31
6	№ 6	4	Конец ледника до высоты 3640 м окаймлен участком погребенного льда площадью 0,3 км ²	32	№ 32	3	Ледник «туркестанского типа». Фирновая область отсутствует, питание лавинное. Язык находится в стадии омертвления, сильно засыпан мореной, расположен в бассейне ледника № 31
8	№ 8	4	Фирновая область ледника расположена в широком каре, из которого через крутое обрывы спускается узкий ледник и еще два небольших языка, оканчивающиеся на разных высотах	33	№ 33	3, 4, 15, 16	Ледник расположен в длинной узкой долине, меняющей направление с юго-востока на юг и затем на юго-запад
9	№ 9	4	Фирновая область занимает два кара, расположенные один над другим и разделенные крутым уступом. Широкий с круто обрывывающимся лбом язык ледника отделен от фирновой области ледопадом	37	Техарв	4, 5	Расположен в бассейне ледника Техарв (№ 37), примыкает к нему, но отделен мореной. Площадь области аблации менее 0,1 км ²
11	№ 11	4	Ниже современного конца языка до высоты 3600 м протягивается участок погребенного льда площадью 0,2 км ²	38	№ 38	3, 15	Ледники расположены в бассейне ледника Техарв (№ 37)
12	№ 12	4	На карте показаны два ледника, текущие параллельно друг другу в разных долинах. В действительности это один ледник с двухкамерной областью питания	39—44	№ 39—44	3	Ледники расположены в общем каре, прежде сливалась, а сейчас ниже концов имеют общий участок погребенного льда площадью 0,6 км ² , спускающийся до высоты 3700 м
13	Бунай	4	Ледник имеет двухкамерную область питания	44, 45	№ 44, 45	4, 13, 15	Фирновая область отсутствует, питание лавинное
14	№ 14	3, 4	Фирновое поле, расположенное в пригребневом понижении в бассейне ледника № 13	46	№ 46	4, 13, 15	Ледник целиком расположен в области аблации, питание лавинное
15	№ 15	3	Расположен в бассейне ледника № 13	47—49	№ 47—49	4	Ледники прежде сливались, в настоящее время имеют общий участок погребенного льда площадью 0,5 км ² , спускающийся до высоты 3800 м
16	№ 16	4	Образован в результате слияния двух долинных ледников примерно равной площади. Питание преимущественно лавинное. Лавинные конусы прослеживаются вдоль всего ледникового языка	50, 51	№ 50, 51	4	Ледники соприкасаются боковыми частями, ниже концов имеют общую массу погребенного льда площадью 0,3 км ² , спускающуюся до высоты 3850 м
18	№ 18	4	Очень узкий и длинный язык и узкая область питания	52	№ 52	4	Ниже конца ледника расположены участок погребенного льда площадью 0,1 км ² , спускающийся до высоты 4100 м
19	Потов	4	Ниже языка до высоты 3800 м находится участок погребенного льда площадью 0,1 км ²	53	№ 53	4, 15, 16	Площадь области аблации менее 0,1 км ² . Ниже конца ледника расположены участок погребенного льда площадью 0,1 км ² , спускающийся до высоты 3900 м
25	№ 25	13	Покрытый мореной ледник полностью расположен в области аблации	54	№ 54	4	Ниже конца ледника имеется участок погребенного льда площадью 0,1 км ² , спускающийся до высоты 4100 м
26	№ 26	4	Питание асимметричное, лавинами со склона северо-восточной экспозиции. Ниже конца ледника до высоты 3500 м расположен участок погребенного льда площадью 0,2 км ² , еще ниже, до высоты около 3000 м, имеется древняя морена. И мертвый лед, и морена на карте показаны ледником	55	№ 55	4	Ниже конца ледника имеется участок погребенного льда площадью 0,2 км ² , спускающийся до высоты 4180 м
27	Сед	4	Область питания ледника располагается в двух резервуарах:				

Пояснения к таблице I

№ ледни-ка по таб-лици	Наз-вание	№ гра-фы	Пояснение	№ ледни-ка по таб-лици	Наз-вание	№ гра-фы	Пояснение
1	2	3	4	1	2	3	4
56	№ 56	4, 15	Фирновое поле с отдельными пятнами льда	88	№ 88	3	Расположен в бассейне ледника № 87
57	№ 57	4, 15	Площадь области аблации менее 0,1 км ² . Ниже конца языка расположен участок погребенного льда площадью 0,1 км ² , спускающийся до высоты 4280 м	89, 90, № 89, 90, 93	93	4	Ледники № 89 и 90 соприкасаются нижними частями языков. Ледник № 90 имеет общий фирновый бассейн с ледником № 93, расположенным на склоне горы с отметкой 5430 м
58	№ 58	4	Ниже конца языка расположен участок погребенного льда площадью 0,1 км ² , спускающийся до высоты 4200 м	91, 92 № 91, 92		4	Ниже концов ледников расположен участок погребенного льда площадью 0,5 км ² , спускающийся до высоты 3900 м
59	№ 59	15, 16	Площадь области аблации менее 0,1 км ²	93	№ 93	4	Ниже конца ледника имеется участок погребенного льда площадью 0,1 км ² , спускающийся до высоты 3700 м
63	№ 63	4, 15, 16	Ниже конца языка расположен участок погребенного льда площадью 0,1 км ² , спускающийся до высоты 4150 м. Площадь области аблации менее 0,1 км ²	94	№ 94	3, 4	Ледник расположен в бассейне ледника № 93, его язык примыкает к леднику № 93, но не сливаются с ним
64	№ 64	4	По краям и ниже языка расположены участки погребенного льда площадью 0,3 км ² , спускающиеся до высоты 3980 м	95	№ 95	4, 15, 16	Ледник полностью расположен в области аблации. В бассейне ледника находится участок погребенного льда площадью 0,3 км ² , спускающийся до высоты 4100 м
65	№ 65	15, 16	Площадь области аблации менее 0,1 км ²	96, 97 Географиче- ского об- щества		4, 13	Два крупных потока, формирующих основной ствол дендритового ледника Географического общества, имеют многокамерные области питания, расположенные в обширных фирновых мульдах у основания пиков Гармо и Ком. Академии. Высота фирновой линии колеблется от 4050—4100 м на склонах северной и северо-восточной экспозиций до 4300 м на склонах южной экспозиции. Нижняя часть языка ледника полностью закрыта мореной, и лишь в 6 км от его конца появляется узкая полоска чистого льда
65—67 № 65—67		4	На карте эти ледники и их общая древняя морена показаны одним сложным долинным ледником				
67	№ 67	15, 16	Площадь области аблации менее 0,1 км ²				
68—71 № 68—71		13	Указана средняя высота границы лавинного питания				
69	№ 69	15, 16	Площадь области аблации менее 0,1 км ²				
69, 70 № 69, 70		4	Ледники расположены в одном каре. Ниже ледника № 70 имеется участок погребенного льда площадью 0,2 км ² , спускающийся до высоты 4000 м				
71	№ 71	4	Ниже конца ледника расположены участки погребенного льда площадью 0,2 км ² , спускающиеся до высоты 4000 м	98	№ 98	4	Фирновая область ледника Ка-шал-Аяк плавно переходит в фирновую область ледника Федченко, имея перевальную седловину на высоте 4330 м
73, 74 № 73, 74		4, 13	Ледники занимают вторичные кары в одном большом цирке, прежде полностью заполненном льдом. Питание преимущественно лавинное со склона северной экспозиции	100	Комсо- лец	3, 4, 13	Имеет четырехкамерную область питания. Фирновая линия повышается от 4500 м на склонах северо-восточной экспозиции до 4700 м на склонах восточной и юго-восточной экспозиций. Расположен в бассейне ледника № 96
75	№ 75	13	В питании значительна роль лавин со склонов северной и северо-восточной экспозиций	102—105 № 102—105		3	Расположены в бассейне ледника № 100
77	№ 77	4	Язык ледника примыкает к леднику № 76, но не сливается с ним, а отделен боковой мореной	106	№ 106	3	Расположен в бассейне ледника № 101
78	№ 78	4	Питание ледника асимметричное со склона северной экспозиции, и лишь небольшой участок фирна расположен на склоне юго-восточной экспозиции	107, 108 № 107, 108		3, 13	Расположены в бассейне ледника № 96. Указаны средние высоты границы лавинного питания
79	№ 79	4	Ниже ледника до высоты 4100 м спускается участок погребенного льда площадью 0,2 км ²	109	Красноармей- ский	3, 4	Ледник имеет двухкамерную область питания и пологий сильно замороженный язык. Расположен в бассейне ледника № 97 и в настоящее время с ним не соединяется
81	№ 81	15, 16	Площадь области аблации менее 0,1 км ²	110—112 № 110—112		3	Ледники расположены в бассейне ледника № 109
82, 83 № 82, 83		4	Языки ледников соприкасаются боковыми частями	111	№ 111	4	Очень кругой, разбитый трещинами ледниковый язык в концевой части раздваивается
86	№ 86	4	Ниже конца языка расположен участок погребенного льда площадью 0,1 км ² , спускающийся до высоты 3960 м	112	№ 112	4	Конец ледника раздваивается
87	№ 87	4	По краям и ниже языка имеются участки погребенного льда площадью 0,3 км ² , спускающиеся до высоты 3900 м	113	№ 113	3	Расположен в бассейне ледника № 97

Пояснения к таблице 1

№ ледни-ка по таб-лици	Наз-вание	№ гра-фы	Пояснение	№ ледни-ка по таб-лици	Наз-вание	№ гра-фы	Пояснение
1	2	3	4	1	2	3	4
114	№ 114	4	Питание ледника асимметричное со склона северной экспозиции	140,	Мраморный,	4	Ниже концов ледников расположены участок погребенного льда площадью 0,3 км ² , спускающийся до высоты 3490 м
117	№ 117	4	Ниже ледника до высоты 3900 м спускается участок погребенного льда площадью 0,4 км ²	141	№ 141		Ледник «туркестанского типа», питание лавинное, язык засыпан мореной
118	Медвежий (№ 8)	4, 10	Ледник относится к пласту пульсирующих ледников (см. текст). В 1968 г. его конец находился на высоте 2900 м, к 1972 г. нижние 1,4 км ² были отрезаны р. Абдукаром и превратились в участок погребенного льда. При продвижении 1973 г. активный язык спустился до высоты 2880 м	142	№ 142	4, 10, 11	Плоский заморененный язык окружён высокими боковыми и конечными моренами
119	№ 119	4	Область питания ледника — фирновые поля, висящие на крутых склонах цирка, частично соединяющиеся с языком ледника, а частично пытающие его обвалами	144	№ 144	4	Ниже конца языка расположена участок погребенного льда площадью 0,5 км ² , спускающийся до высоты 4100 м
120,	№ 120,	3,	Крупные фирновые поля, расположены в бассейне ледника № 118	145	Долженко	4	Ниже конца языка расположена участок погребенного льда площадью 0,5 км ² , спускающийся до высоты 4100 м
121	№ 121	13—16	Ниже конца языка расположена участок погребенного льда площадью 0,3 км ²	146	№ 146	4	Ниже конца языка расположена участок погребенного льда площадью 0,5 км ² , спускающийся до высоты 4220 м
122	№ 122	4		147	Правый Дустиroz	3, 4, 13	Ледник долинный, близкий к котловинному, с асимметричным питанием со склона северной экспозиции. Высота границы питания повышается с запада на восток с 4600 до 4800 м. Ниже конца ледника расположены участки погребенного льда площадью 2,1 км ² , спускающиеся до высоты 3820 м
123, 125, Абдукагорский, Каскадный, Обвалов	4, 6—9, 15, 16		Правый поток дendirитового ледника Абдукагорского (№ 123) имеет многокамерную область питания и в верховьях перевал в фирновую область ледника Федченко на высоте 5072 м. Эта ветвь ледника сравнительно чистая, в то время как левая ветвь, образующаяся от слияния двух ледников — Каскадного (№ 125) и Обвалов (№ 126), грязная почти на всем протяжении языка. Ниже конца языка расположены участки погребенного льда площадью 1,0 км ² , спускающиеся до 3350 м	148	№ 148	3, 4	Расположен в бассейне ледника № 147, ниже конца языка имеется участок погребенного льда площадью 0,3 км ² , спускающийся до высоты 4300 м
124	Клин	4	Фирновая область ледника расположена в каре, из которого широкий язык спускается до ледника № 123 и, не сливаюсь с ним, течет параллельно, резко отличающаяся языком, закрытым толстым слоем морены. Из того же фирнового поля вытекают два небольших языка, которые оканчиваются на разных высотах	149—152	№ 149—152	3	Вливаются в погребенный лед, окаймляющий язык ледника № 147
128	Шумный	3, 4	Ледник имеет двухкамерную область питания. Ниже конца расположены участок погребенного льда площадью 0,3 км ² , спускающийся до высоты 4000 м. Расположен в бассейне ледника № 123	153	№ 153	3	Расположен в бассейне ледника № 152
129—131	№ 129—131	3	Расположены в бассейне ледника № 128	154	№ 154	4, 10, 11	Ледник «туркестанского типа» с лавинным питанием и сильно загрязненным языком, который выползает в долину р. Правого Дустироза и частично перегораживает ее
132—135	№ 132—135	3	Расположены в бассейне ледника № 123	155	№ 155	4	Из фирновой области ледник спускается крутым ледопадом, и узкая полоска чистого льда доходит почти до конца широкого грязного языка, который большой лопастью выходит в долину р. Левого Дустироза. У левого края имеет боковой кар, дающий дополнительное питание
133	№ 133	13—16	Ледник полностью расположен в области аккумуляции	156	Левый Дустиroz	4	Область питания ледника состоит из пяти камер
134	№ 134	3	Ледник расположен в бассейне ледника № 133, питает его обвалами льда и фирна	158—160	№ 158—160	3, 4	Расположены в бассейне ледника № 156. Ниже концов ледников находится участок погребенного льда площадью 0,6 км ² , спускающийся до высоты 4000 м
135	№ 135	15, 16	Площадь области абляции менее 0,1 км ²	161	№ 161	3, 4	Расположен в бассейне ледника № 156, ниже языка имеется участок погребенного льда площадью 0,2 км ² , спускающийся до высоты 4000 м
136	Скрытый	3, 4	Расположен в бассейне ледника № 126, образуется в результате слияния двух потоков	162	№ 162	4	Ниже конца языка расположены участок погребенного льда площадью 0,5 км ² , спускающийся до высоты 3950 м
137	№ 137	3	Расположен в бассейне ледника № 136	163	Южный	4	Ледник имеет с левого борта приток площадью менее 0,1 км ²
138	№ 138	4, 10, 11	Ледник «туркестанского типа», питание лавинное, язык сильно засыпан мореной	164, 165	Северный, № 165	4	Ниже концов ледников расположены участок погребенного льда площадью 0,5 км ² , спускающийся до высоты 4160 м

Пояснения к таблице I

№ ледни-ка по таб-лици	Наз-вание	№ гра-фы	Пояснение	№ ледни-ка по таб-лици	Наз-вание	№ гра-фы	Пояснение
1	2	3	4	1	2	3	4
167	№ 167	4	На снимках 1968 г. язык ледника чистый, сильно разбит трещинами, спускается на 100 м дальше, чем на снимке 1947 г., где он ровный и грязный. Возможно, за период между съемками произошло наступление ледника	195	№ 195	3	нии ледника принадлежит лавинам со склона северной экспозиции
169	№ 169	4	Питание преимущественно лавинное со склона северной экспозиции. Ниже конца ледника расположен участок погребенного льда площадью 0,4 км ² , спускающийся до высоты 3400 м	197, № 197, 198, № 198, 200—202	200—202	4, 15 16	Расположен в бассейне ледника № 194
171	Равак	4	Происходят периодические отрывы конца языка и выбросы массы льда в долину р. Ванча. Последний выброс имел место в 1967 г., когда масса снега, льда и камней объемом около 5 млн. м ³ перегородила долину р. Ванча, на несколько часов запрудив реку	203	№ 203	4, 8	Ледники «туркестанского типа» без фирновых бассейнов с лавинным питанием и засыпанными мореной языками
172	№ 172	4	Питание преимущественно лавинное. Ниже конца ледника лежит участок погребенного льда площадью 0,3 км ² , спускающийся до высоты 3900 м	206	№ 206	4	Ниже конца языка расположена участок погребенного льда площадью 0,5 км ² , спускающийся до высоты 3800 м
173	№ 173	4	Ледник имеет двухкамерную область питания	208	Лянгар	4	Питание ледника происходит со склонов цирка, на которых располагается несколько участков фирна. Их площадь включена в площадь ледника. Ниже длинного грязного языка расположен участок погребенного льда площадью 0,2 км ² , спускающийся до высоты 3720 м
176, 178	Шаугадо	4, 6	На карте ледник показан на 4 км длиннее, чем на аэрофотоснимках 1968 г. Погребенного льда ниже конца языка нет. Вероятно, это ошибка составления, так как на аэрофотоснимке 1947 г., по которому составлялась карта, он оканчивается там же, где и в 1968 г.	209	Гумаст	4	Большую роль в питании ледника играют лавины со склона северной экспозиции. Вдоль правого борта тянется участок погребенного льда площадью 0,2 км ²
179	№ 179	3, 4	Ледник расположен в бассейне ледника № 176, ниже его конца имеется участок погребенного льда площадью 0,3 км ² , спускающийся до ледника № 176	210	№ 210	4	Ниже современного конца ледника имеется участок погребенного льда площадью 0,3 км ² , спускающийся до высоты 3700 м
180, 181	№ 180, 181	3	Расположены в бассейне ледника № 178	212	№ 212	4, 9	Конец языка окаймлен участками погребенного льда площадью 0,4 км ² , спускающимися до высоты 3880 м
185	Сунгат пра-вый	2, 10, 11	Условно назван Сунгат правый. Питание асимметричное со склона северной экспозиции. С левого борта к леднику примыкают два ви-сячих ледника площадью менее 0,1 км ² каждый, с которых происходят обвалы льда на поверхность ледникового языка, покрытую мореной. Их площадь включена в общую площадь ледника. Ниже конца языка находится участок погребенного льда площадью 1,2 км ² , спускающийся до высоты 3670 м	214	№ 214	4	Ниже конца языка расположена участок погребенного льда площадью 0,2 км ² , спускающийся до высоты 3800 м
186—191	№ 186—191	3, 4	Расположены в бассейне ледника № 185. Ниже концов ледников до высот 4100—4400 м имеются участки погребенного льда и морен общей площадью 3,3 км ²	215	№ 215	13	Полностью расположен в области абляции
187	№ 187	13	Полностью расположен в области абляции	219	№ 219	3, 4, 8	Расположен в бассейне ледника № 217. На склоне северо-западной экспозиции находится фирновое поле, не соединяющееся с ледником, но пытающее его обвалами. Его площадь включена в общую площадь ледника
185, 192—194	Сунгат пра-вый,	4	На карте эти ледники показаны одним сложным долинным ледником Сунгат. На снимках 1947 и 1968 гг., все ледники самостоятельны	221	Равгада	4, 13	Ледник «туркестанского типа», питание лавинное, язык сильно заморенен, ниже его конца расположен участок погребенного льда площадью 0,3 км ² , спускающийся до высоты 3600 м
194	№ 192—194	13	Полностью расположен в области абляции	222	Чихох	2	На карте название ледника Чихох принадлежит леднику № 223. На самом деле ледником Чихох следует считать ледник № 222, который имеет большую площадь и ниже кончается. Из него вытекает р. Дараичихох
192	№ 192	13	Условно назван ледником Сунгат левый. Большая роль в пита-	222—Чихох, 225 № 223—225	223, 224, № 223, 224, 226 225 № 225	4 3 3	Ледники в прошлом сливались, образуя один сложный долинный ледник
194	Сунгат левый	2, 4	Расположены в бассейне ледника № 222				Расположен в бассейне ледника № 224

Пояснения к таблице I

№ ледни- ка по таб- лице	Наз- вание	№ гра- фы	Пояснение	№ ледни- ка по таб- лице	Наз- вание	№ гра- фы	Пояснение
1	2	3	4	1	2	3	4
228, 230, 231	№ 228, 230, Ситварг	4	Ледники имеют ниже своих концов участки погребенного льда, площадью 0,4 км ² у ледника № 228, 0,3 км ² у ледника № 230 и 0,3 км ² у ледника № 231, спускающиеся до высоты 3600 м. Ниже этих участков до высоты 2800 м спускается древняя морена. Эти ледники с участками погребенных льдов и древней мореной на карте показаны сложным долинным ледником Ситварг	237	№ 237	13	площадью 0,2 км ² , спускающийся до высоты 3900 м
229	№ 229	3, 15	Расположен в бассейне ледника № 228, площадь области абляции менее 0,1 км ²	238	№ 238	4, 15	Указана средняя высота границы лавинного питания
232	№ 232	4	Ниже конца ледника расположен участок погребенного льда	239—243	№ 239—243	4	Питание лавинное, фирновая область отсутствует. Конец языка, возможно, омертвел, но определить, где кончается живой язык, не представляется возможным
				242	№ 242	15	Сведения о высотах даны с пониженной точностью. Изображение рельефа на карте неправильное
							Целиком расположен в области аккумуляции

18*	№ 18	пр. р. Дараипет- руз	кар.-дол.	ЮВ	2,6	2,6	1,4	1,4	4060	4060	4800	4250	АФС 1947 г.	0,6	0,6	0,0447
19*	Гегруэ	Дараипетруз	дол.	ЮЗ	3,6	2,0	0,8	0,5	3860	4080	5100	4200	АФС 1947 г.	0,4	0,1	0,0193
20*	№ 20	Дараипетруз	дол.	ЮЗ	2,9	2,3	0,6	0,5	3880	3960	4600	4200	АФС 1947 г.	0,3	0,2	0,0125
21*	№ 21	Дараипетруз	кар.	Ю	0,4	0,4	0,1	0,1	4260	4260	4550	4300	АФС 1947 г.	—	—	0,0009
22	№ 22	пр. р. Дараипет- руз	вис.	C3	0,8	0,6	0,2	0,1	3900	4000	4300	4100	АФС 1947 г.	0,1	—	0,0024
23	№ 23	пр. р. Дараипет- руз	вис. кар.	С	0,6	0,6	0,2	0,1	3760	3800	3950	3900	АФС 1947 г.	0,1	—	0,0024
12 ледников														2,8	0,1552	

Кроме того, в бассейне р. Дараипетруз имеется 2 ледника размером менее 0,1 км² каждый, общей площадью 0,12 км²

Итого 14 ледников 6,4

В бассейне правого безымянного притока р. Язгулема между устьями рек Дараипетруз и Дарандубан имеется 1 ледник площадью 0,08 км²

Итого 1 ледник 0,1

Бассейн р. Дарандубан (реки Язгулем, Пяндж, Амударья)

Южные склоны южных отрогов Ванчского хребта																
24*	№ 24	пр. р. Дарандубан	кар.-дол.	В	1,2	0,8	0,3	0,2	3800	3950	4300	4100	АФС 1947 г.	0,2	0,1	0,0044
25*	№ 25	пр. р. Дарандубан	кар.	ЮВ	0,9	0,9	0,2	0,1	4300	4400	4600	4500	АФС 1947 г.	0,1	—	0,0024
26*	№ 26	Дарандубан	кар.	Ю	0,7	0,2	0,3	0,1	4300	4540	4700	4540	АФС 1947 г.	0,2	—	0,0044
3 ледника														0,5	0,0112	

Кроме того, в бассейне р. Дарандубан имеется 1 ледник площадью 0,07 км²

Итого 4 ледника 0,9

Бассейн р. Яйси (реки Язгулем, Пяндж, Амударья)

Южные склоны южных отрогов Ванчского хребта																
27*	№ 27	пр. р. Яйси	асим. дол.	В	(2,4)	(1,6)	(0,8)	(0,3)	(3800)	(3900)	(4500)	(3900— 4000)	АФС 1947 г.	(0,5)	—	(0,0193)
28*	№ 28	пр. р. Яйси	асим. дол.	В	(2,8)	(2,4)	(0,9)	(0,7)	(4000)	(4080)	(4700)	(4200— 4350)	АФС 1947 г.	(0,4)	(0,2)	(0,0231)
29*	№ 29	Яйси	кар.-дол.	ЮВ	(1,4)	(1,0)	(0,4)	(0,3)	(4220)	(4340)	(4700)	(4380— 4440)	АФС 1947 г.	(0,2)	(0,1)	(0,0068)
3 ледника														(1,1)	(0,0492)	

Кроме того, в бассейне р. Яйси имеется 2 ледника размером менее 0,1 км² каждый, общей площадью 0,17 км²

Итого 5 ледников 2,3

Бассейн р. Дарандужковасай (реки Язгулем, Пяндж, Амударья)

Юго-Восточный склон Ванчского хребта, западный склон хр. Гуджоваси																
30*	№ 30	пр. р. Дарандуж- ковасай	вис.	ЮВ	0,8	0,8	0,2	0,2	4300	4300	4700	4400	АФС 1947 г.	—	—	0,0193
31*	№ 31	пр. р. Дарандуж- ковасай	дол.	В, СВ	5,1	4,2	4,5	3,2	3800	4020	5000	4350	АФС 1947 г.	1,9	0,6	0,2577
32*	№ 32		вис. дол.	C3	2,1	1,9	0,8	0,7	3860	3900	4840	4100	АФС 1947 г.	0,2	0,1	0,0193
33*	№ 33		дол.	C3	2,2	1,6	0,9	0,7	3840	4000	4930	4400	АФС 1947 г.	0,4	0,2	0,0231
34*	№ 34		кар.	Ю	0,8	0,4	0,3	0,3	4280	4450	4650	4450	АФС 1947 г.	0,1	0,1	0,0044
35*	№ 35		кар.	ЮВ	0,7	0,4	0,2	0,1	4300	4450	4800	4450	АФС 1947 г.	0,1	—	0,0024
36	№ 36	пр. р. Дарандуж- ковасай	кар.	ЮВ	1,0	0,6	0,2	0,1	4100	4200	4500	4300	АФС 1947 г.	0,1	—	0,0024
37*	№ 37	пр. р. Дарандуж- ковасай	кар.	ЮВ	1,4	0,3	0,4	0,3	4250	4300	4700	4300— 4400	АФС 1947 г.	0,2	0,1	0,0068

№ ледника	Название	Название реки, вытекающей из ледника	Морфо- логический тип	Наибольшая длина, км		Площадь, км ²		Высота, м	Фирновая линия		Площадь области аблаций, км ²		Ссылки на последующие таблицы (иллюстрации)
				5	6	7	8		11	12	13	14	
38*	Гуджосави	Дарангудж- жовасай	дол.	3	3,8	1,3	1,3	4250	4250	5000	4400— 4600	4400— 4600	0,4 0,4
39*	№ 39	пр. р. Дарангуд- жовасай	кар.-дол.	C3	1,4	1,4	0,8	4200	4200	4910	4400	4400	0,2 0,2
Итого 12 ледников				9,6	7,7								0,3947

Кроме того, в бассейне р. Дарангуджовасай имеется 2 ледника размером менее 0,1 км² каждый, общей площадью 0,15 км²

9,8

Бассейн р. Дараибарновадж (реки Язгулем, Пяндж, Амударья)

Южный склон Ванчского хребта														
40*	№ 40	Дараибарновадж	дол.	СВ, ЮВ	3,1	3,1	1,3	4100	4100	5000	4500	4500	0,5 0,4	
41*	№ 41	пр. р. Дараибар- новадж	кар.	3	0,7	0,7	0,2	4150	4150	4400	4250	4250	0,1 0,1	
42*	№ 42	пр. р. Дараибар- новадж	дол.	Ю	1,2	0,2	0,4	0,1	4300	4500	4600	4500	4500	0,0068
43*	№ 43	пр. р. Дараибар- новадж	дол.	Ю	1,3	0,2	0,5	0,1	4200	4400	4500	4400	4400	— 0,0095
4 ледника					2,4	1,6							1,3 0,0587	

Кроме того, в бассейне р. Дараибарновадж имеется 2 ледника размером менее 0,1 км² каждый, общей площадью 0,17 км²

Итого 6 ледников

Всего в бассейнах правых притоков р. Язгулема имеется 56 ледников общей площадью 29,8 км², в том числе 43 ледника размером 0,1 км² и более, каждый, общей площадью 1,1 км².
площадью 28,7 км² (из них 7,4 км² закрыто мореной) и 13 ледников размером менее 0,1 км² каждый, общей площадью 0,17 км².

БАССЕЙНЫ РЕК МАЗАРДАРА И РАКЗОУ

Бассейн р. Шабук (реки Мазардара, Язгулем, Пяндж, Амударья)														
Южный склон Ванчского хребта, северо-восточный склон его южного отрога														
44*	№ 44	пр. р. Шабук	вис. кар.	СВ	1,2	0,7	0,2	0,1	3840	4100	4500	4150	4150	0,1 —
45	№ 45	пр. р. Шабук	кар.	СВ	0,6	0,2	0,1	—	3900	4100	4200	4150	4150	— 0,0009
46	№ 46	пр. р. Шабук	кар.	СВ	0,9	0,9	0,3	0,3	4040	4040	4790	4600	4600	0,2 0,0044
47*	№ 47	пр. р. Шабук	вис.	С	0,3	0,3	0,1	0,1	4100	4100	4300	—	—	0,1 0,0009
48*	№ 48	пр. р. Шабук	дол.	ЮВ	2,3	2,0	1,3	1,2	3880	4000	4900	4500— 4600	4500— 4600	0,1 0,6 0,0400
49*	№ 49	Шабук	сл. дол.	ЮВ	2,2	2,0	1,0	1,0	4000	4100	4650	4450	4450	0,5 0,0270
50*	№ 50	Шабук	дол., часть дол. сл. дол.	ЮЗ	2,0	1,3	0,5	0,5	4100	4200	4600	4400	4400	0,2 0,0095

Сложный долинный ледник № 49, 50 имеет наибольшую длину 2,2 км, общую площадь 1,5 км² (в том числе 0,1 км² закрыто мореной) и площадь обласи аблажии 0,7 км²

№ ледника	Название	Морфологический тип	Наибольшая длина, км	Площадь, км ²	Высота, м	Фирновая линия	Площадь области аблации, км ²	Ссылки на последующие таблицы (иллюстрации)						
51*	№ 51	пр. р. Шабук	кар.	Ю	1,2	0,8	0,5	0,3	4400	4600	4900	4750	4750	0,1 0,0095
52*	№ 52	пр. р. Шабук	кар.-дол.	Ю, ЮЗ	1,4	1,0	0,5	0,4	4200	4300	4700	4450	4450	0,2 0,1 0,0095

53	№ 53	пр. р. Шабук	внс. кар.	ЮЗ, Ю	1,2	0,4	4500	4500	4700	4650	АФС 1968 г.	0,2	0,0068
54	№ 54	пр. р. Шабук	кар.	ЮЗ	0,7	0,1	4500	4600	4650	4600	АФС 1968 г.	0,1	0,0009
55	№ 55	пр. р. Шабук	дол.	ЮЗ	2,6	1,1	4400	4400	5000	4700	АФС 1968 г.	0,6	0,0311
56	№ 56	пр. р. Шабук	дол.	3	2,5	0,9	4520	4560	5100	4700	АФС 1968 г.	0,4	0,0231
57	№ 57	пр. р. Шабук	кар.-дол.	3	0,8	0,2	4500	4540	4880	4650	АФС 1968 г.	0,1	0,0024
14 ледников													

Бассейн верховьев р. Мазардара (реки Язгулем, Пяндж, Амуударья)

Южный склон Ванчского хребта, западные склоны хр. Академии наук и Язгулемского хребта

58	№ 58	пр. р. Мазардара дол.	Ю	2,2	2,0	0,7	0,7	4000	4100	4900	4600	ЛФС 1968 г.	0,3	0,0158
59	№ 59	пр. р. Мазардара кар.-дол.	ЮВ	1,4	1,4	0,5	0,5	4200	4200	4900	4550	АФС 1968 г.	0,2	0,0095
60*	№ 60	пр. р. Мазардара кар.	ЮВ	1,0	0,5	0,3	0,3	4300	4500	4750	4600	АФС 1968 г.	0,3	0,0068
61	№ 61	пр. р. Мазардара кар.	Ю	0,9	0,7	0,3	0,2	4200	4350	4750	4600	АФС 1968 г.	0,2	0,0044
62*	Язгулемский Мазардары	сл. дол.	С3	19,5	17,5	24,3	19,7	3600	3700	6250	4600	АФС 1968 г.	9,3	4,7
63*	№ 63	дол., часть	ЮЗ	2,5	1,8	1,2	1,0	4300	4400	5670	4550	АФС 1968 г.	0,6	0,4
Сложный долинный ледник Язгулемский (№ 62, 63) имеет наибольшую длину 19,5 км, общую площадь 25,5 км ² (в том числе 4,8 км ² закрыто мореной) и площадь														
области абляции 9,9 км ²														

Сложный долинный ледник Захарченко (№ 69, 70) имеет наибольшую длину 6,0 км, общую площадь 5,7 км² (в том числе 1,2 км² закрыто мореной) и площадь области абляции 2,9 км²

64*	№ 64	кар.-дол.	Ю	1,4	1,4	0,5	0,5	4100	4100	4900	4600	АФС 1968 г.	0,2	0,2
65*	№ 65	кар.-дол.	ЮВ	1,6	0,4	0,4	0,4	4200	4300	5100	4500	АФС 1968 г.	0,1	0,1
66*	№ 66	вис. кар.	Ю	0,6	0,2	0,2	0,2	4500	4500	4850	4600	АФС 1968 г.	0,1	0,0024
67*	№ 67	вис. кар.	Ю	1,1	0,7	0,4	0,3	4220	4350	4800	4600	АФС 1968 г.	0,2	0,0068
68*	№ 68	вис. дол.	3	2,6	2,6	1,2	1,2	3950	3950	6250	4300	АФС 1968 г.	0,3	0,0355
69*	Захарченко	пр. р. Мазардара	сл. дол.	3	6,0	4,0	4,4	3780	4100	5200	4500	АФС 1968 г.	2,2	1,5
70*	№ 70	дол., часть	С	3,2	1,1	1,3	0,8	3900	4200	5100	4400	АФС 1968 г.	0,7	0,2
Сложный долинный ледник Захарченко (№ 69, 70) имеет наибольшую длину 6,0 км, общую площадь 5,7 км ² (в том числе 1,2 км ² закрыто мореной) и площадь														
области абляции 2,9 км ²														

Кроме того, в бассейне верховьев р. Мазардара имеется 4 ледника размерами менее 0,1 км² каждый общей площадью 0,24 км²

Итого 24 ледника
44,2

Бассейн правового притока р. Ракзой (реки Ракзой, Язгулем, Пяндж, Амуударья)

78	№ 78	пр. р. Ракзой	вис.	3	1,1	0,4	0,4	4700	4700	5300	4900	ЛФС 1968 г.	0,1	0,0068
1 ледник														

Бассейн правового притока р. Мархара (реки Ракзой, Язгулем, Пяндж, Амуударья)

79*	№ 79	Мархара	сл. дол.	ЮВ	5,6	2,9	5,2	3,5	3690	4300	4950	4600	АФС 1966 г.	3,1	1,4
80*	№ 80	кар.-дол.	В	1,3	1,3	0,3	0,3	4380	4600	4900	4600	АФС 1966 г.	0,1	0,0044	
81*	№ 81	сл. дол.	ЮЗ	3,2	4,0	2,3	2,1	4100	4400	5650	4650	АФС 1966 г.	0,7	0,5	
82*	№ 82	дол.	Ю	3,0	3,0	1,4	1,4	4300	4300	5400	4700	АФС 1966 г.	0,6	0,0447	
83*	№ 83	кар.	ЮЗ	1,1	0,5	0,4	0,2	4250	4500	4640	4500	АФС 1966 г.	0,2	—	
5 ледников															

№ по схеме	Название реки, вытекающей из ледника	Название	Морфологический тип	Назование	Наименьшая длина, км	Площадь, км ²	Высота, м	Фирновая линия			Площадь области аблации, км ²	№ таблиц и иллюстраций	
								Беседо	Бережника	Берега, м			
1	2	3	4	5	6	7	8	9	10	11	12	13	14
18	18	17	16	15	16	15	14	13	12	11	10	9	8

Бассейн верховьев р. Ракзоч (реки Язгулем, Пяндж, Амударья)

Западный и северо-западный склоны Яэтулемского хребта, южный, восточный и северный склоны его западных отрогов						
Дендритовый ледник Ракзуу						
	Ракзуу № 85	Ракзуу	сл. дол. кар.дол., часть	ЮВ, Ю В	13,5 2,8	6,9 2,8
84*				3420	4060	5720
85*				4080	4080	5000
						4800
						4700
						АФС 1966 г.
						АФС 1966 г.
						3,2
						1,7
						0,6340
						1,1
						0,1004
						IV/1, 2, 4, 5; V/9, 22, 25, 34;
						рис. 11

мореной) и площадь области абляции $4,3 \text{ км}^2$

87*	№ 87	поток дол., часть с.л. дол.	103,0	3,4	3,4	1,0	1,0	4560	4560	5600	4900	АФС 1966 г.	0,5	0,5	0,0270
-----	------	-----------------------------------	-------	-----	-----	-----	-----	------	------	------	------	-------------	-----	-----	--------

Сложный долинный ледник № 86, 87, часть дендритового ледника Ракзю, имеет наибольшую длину 17,4 км, общую площадь 14,8 км² (в том числе 2,1 км² закрыто мореной) и площадь области аблации 8,0 км²

89*	№ 89	доп., часть сл. дол. кар., часть	ЮВ,Ю	3,8	3,0	1,7
90*	№ 90			0,8	0,8	0,4

Сложный долинный ледник № 88—90, часть дендритового ледника Ракзу, имеет наибольшую длину 14,6 км, общую площадь 10,3 км² (в том числе 0,1 км² закрыто мореной) и площадь области аблации 2,7 км² сл. дол.

91*	Ракзой	Ракзой	с.л. дол.	ЮЗ	12,2	7,0	6,3	5,3	3640	4260	5100	4700	АФС 1966 г.	2,1	1,1	0,4269
92*	Ракзой № 92		дол., часть с.л. дол.	СЗ, З, С	5,4	2,4	2,3	1,7	3560	4340	5700	4500	АФС 1966 г.	1,4	0,8	0,0942

93*	№ 93	дол., часть сл. дол. кар.дол.,	СЗ, С	5,0	1,4	2,5	1,4	3540	4260	4600	4450	АФС 1966 г.	1,8	0,7	0,1067
94*	№ 94	СВ	1,6	1,0	0,3	0,2	4080	4200	4700	4400	АФС 1966 г.	0,2	0,1	0,0044	

Сложный долинный ледник № 92—94, часть дендритового ледника Ракзуу, имеет наибольшую длину 5,4 км, общую площадь 5,1 км² (в том числе 1,8 км² закрыто частью сл. д. о.).

Дендритовый ледник Ракозу (№ 84—94) имеет наибольшую длину 17,4 км, общую площадь 47,2 км² (в том числе 6,5 км² закрыто мореной) и площадь облас-
ти абляции 20,5 км²

№ 95*	95*	Б	кар.-дол.	2,7	2,3	1,7	1,5	3900	4300	5100	4600	АФС	1966 г.	0,3	0,1	0,0598
№ 96	96	Б	кар.-дол.	3,5	3,4	2,5	2,3	4000	4600	4900	4600	АФС	1966 г.	0,8	0,6	
№ 97	97	Б	кар.-дол.	2,0	2,0	1,1	1,1	4600	4600	5700	4800	АФС	1966 г.	0,4	0,4	0,0311
№ 98	98**	Б	исп. квад.	1,6	1,6	0,7	0,7	4400	4400	5000	4500	АФС	1966 г.	0,1	0,1	0,0158

101*	№ 101	кар.	103	1,7	0,7	0,7	4500	5100	4600	4600—	АФС 1966 г.	0,1	0,0158	
102*	№ 102	выс. кар.	103	1,4	0,4	0,4	4400	4900	4600	4600—	АФС 1966 г.	0,3	— 0,0068	
103*	Ляп-Назар	дол.	3	8,0	6,0	9,5	6,7	3800	4200	5800	4600	АФС 1966 г.	6,2	3,5 0,9186
104*	№ 104	кар.	10	0,8	0,5	0,2	0,1	4420	4500	4800	4500	АФС 1966 г.	0,1	0,0024
105*	№ 105	кар.	10	1,3	0,4	0,4	0,4	4460	4460	4800	4600	АФС 1966 г.	0,1	0,0068
106*	№ 106	кар.	10	1,4	1,4	0,5	0,5	4600	4600	5300	4650	АФС 1966 г.	0,1	0,0095
107*	№ 107	кар.	10	1,4	1,4	0,4	0,4	4600	4600	5500	4650	АФС 1966 г.	—	— 0,0068
108*	№ 108	кар.	10	1,0	1,0	0,3	0,2	4600	4600	5000	4700	АФС 1966 г.	0,1	0,0044
109*	№ 109	кар.	103	1,8	1,4	0,6	0,4	4400	4500	5100	4600	АФС 1966 г.	0,2	— 0,0125
110*	№ 110	выс. кар.	С	1,4	1,4	0,6	0,6	3800	3800	5000	4000	АФС 1966 г.	0,1	0,0125
27 ледников														

Бассейн р. Бирджафтара (реки Ракзоу, Язгулем, Пяндж, Амударья)

Северо-западный и северный склоны Язгулемского хребта, восточный склон его северного отрога

111*	№ 111	пр. р. Бирджаф- дара	С3	4,9	2,4	3,6	2,1	3500	4040	5530	4300—	АФС 1966 г.	1,8	0,3 0,1844
112*	№ 112	дол.	3	3,8	2,6	1,9	1,2	3800	4100	5200	4500	АФС 1966 г.	1,2	0,5 0,0707
113*	№ 113	дол.	С	0,8	0,8	0,4	0,4	4700	4700	5530	—	—	—	0,0068
114*	№ 114	пр. р. Бирджаф- дара	С	4,8	3,8	2,2	1,8	3500	3700	5440	4500	АФС 1947 г.	1,1	0,7 0,0881
115*	№ 115	пр. р. Бирджаф- дара	С, С3	4,4	1,5	2,5	1,0	3650	4180	5420	4300	АФС 1947 г.	1,8	0,3 0,1067
116*	№ 116	вис.	3	1,6	1,6	0,3	0,3	4340	4340	5300	4500	АФС 1947 г.	0,1	0,1 0,0044
117*	№ 117	вис.	СВ	1,0	1,0	0,4	0,4	4100	4100	5120	4500	АФС 1947 г.	—	0,0068
118*	Бирджаф- дара	дол., часть сл., дол.	С	9,0	7,4	9,4	7,3	3600	3820	5250	4300—	АФС 1947 г.	5,5	3,4 0,7781
119*	№ 119	дол., часть сл., дол.	3	3,0	2,6	1,9	1,7	4160	4200	5530	4600	АФС 1947 г.	0,6	0,4 0,0707
Сложный долинный ледник Бирджафтара (№ 118, 119) имеет наибольшую длину 9,0 км, общую площадь 11,3 км ² (в том числе 2,3 км ² закрыто мореной) и площадь области аблации 6,1 км ²														

Сложный долинный ледник Бирджафтара (№ 118, 119) имеет наибольшую длину 9,0 км, общую площадь 11,3 км² (в том числе 2,3 км² закрыто мореной) и площадь области аблации 6,1 км²

120*	№ 120	дол.	3	2,7	1,8	0,8	0,6	4120	4300	5400	4600	АФС 1947 г.	0,4	0,2 0,0193
121*	№ 121	кар.-вис.	В	1,0	0,7	0,3	0,2	4000	4100	4500	4200	АФС 1947 г.	0,1	— 0,0044
122	№ 122	пр. р. Бирджаф- дара	В	1,2	1,0	0,4	0,4	4100	4200	50000	4300	АФС 1947 г.	0,1	0,0068
12 ледников														
Итого 13 ледников														

Кроме того, в бассейне р. Бирджафтара имеется 1 ледник размером менее 0,1 км² площадью 0,09 км²

Итого 13 ледников

Бассейн р. Роштара (реки Ракзоу, Пяндж, Амударья)

Северный склон Язгулемского хребта, восточный и западный склоны его северных отрогов

123*	№ 123	пр. р. Роштара	кар.-дол.	С	1,9	1,4	0,7	0,6	4200	4300	4500	4400	АФС 1947 г.	0,5	0,4 0,0158
124*	№ 124	пр. р. Роштара	кар.-дол.	С	2,4	2,0	0,8	0,7	4200	4300	4800	4500	АФС 1947 г.	0,7	0,6 0,0193
125*	№ 125	пр. р. Роштара	дол., часть сл., дол.	С	5,2	4,4	5,6	5,1	3860	3960	5440	4500	АФС 1947 г.	2,1	1,6 0,3578
126	№ 126	дол., часть сл., дол.	С3, С	4,4	3,4	1,7	1,6	3860	3960	5420	4550	АФС 1947 г.	0,7	0,6 0,0598	
Сложный долинный ледник № 125, 126 имеет наибольшую длину 5,2 км, общую площадь 7,3 км ² (в том числе 0,6 км ² закрыто мореной) и площадь облости аблации 2,8 км ²															

Сложный долинный ледник № 125, 126 имеет наибольшую длину 5,2 км, общую площадь 7,3 км² (в том числе 0,6 км² закрыто мореной) и площадь облости аблации 2,8 км²

127*	№ 127	кар.-дол.	С3	1,6	1,0	0,3	0,1	4120	4300	4600	4300—	АФС 1947 г.	0,2	— 0,0044
128*	№ 128	вис. кар.	В	0,9	0,9	0,2	0,2	4300	4300	4650	4400	АФС 1947 г.	0,1	0,1 0,0024
12 ледников														
Итого 13 ледников														

Продолжение таблицы I

Название		Название реки, вытекающей из ледника		Морфологический тип		Наибольшая длина, км		Площадь, км ²		Высота, м		Фирновая линия		Площадь области абляции, км ²		Ссылки на последующие таблицы (иллюстрации)		
по ходу	по ходу	по ходу	по ходу	по ходу	по ходу	по ходу	по ходу	по ходу	по ходу	по ходу	по ходу	по ходу	по ходу	по ходу	по ходу	по ходу	по ходу	
1	2	3	4	5	6	7	8	9	10	11	12	13	14	15	16	17	18	
129	№ 129	№ 130*	№ 130	дол.	В	2,4	0,7	0,7	4140	4140	5200	4700	4450—	АФС 1947 г.	0,3	0,3	0,0158	
131*	№ 131	пр. р. Роштдара	дол.	В	3,1	1,3	1,1	0,6	3800	4100	4900	4400	4600	АФС 1947 г.	0,3	0,1	0,0095	
132*	№ 132	пр. р. Роштдара	дол.	С, СВ	1,4	1,1	0,3	0,2	3900	4050	5100	4500	4600	АФС 1947 г.	0,7	0,2	0,0311	
133*	№ 133	пр. р. Роштдара	дол., часть сл. дол.	С, СВ	8,1	2,8	8,9	4,0	3580	4100	5160	4600	4600	АФС 1947 г.	7,2	2,3	0,7169	
134*	№ 134	пр. р. Роштдара	дол., часть сл. дол.	В, СВ	10,6	7,2	6,4	4,6	3600	4020	5640	4300—	4500	АФС 1947 г.	3,1	1,3	0,4372	
Сложный долинный ледник № 133, 134 имеет наибольшую длину 10,6 км, общую площадь 15,3 км ² (в том числе 6,7 км ² закрыто мореной) и площадь области абляции 10,3 км ²																		
135*	№ 135	дол.	С3	1,0	0,7	0,4	0,2	3760	4000	4900	4200	4200	4200	АФС 1947 г.	0,3	0,1	0,0068	
136*	№ 136	кар.-дол.	С3	2,2	1,0	1,3	0,6	4100	4500	5000	4600	4600	4600	АФС 1947 г.	0,9	0,2	0,0400	
137*	№ 137	кар.-дол.	ЮВ	1,6	1,2	0,4	0,3	4380	4400	4900	4600	4600	4600	АФС 1947 г.	0,2	0,1	0,0068	
138*	№ 138	кар.-дол.	В, Ю	1,8	1,6	0,7	0,6	4240	4340	5000	4500	4500	4500	АФС 1966 г.	0,3	0,2	0,0158	
139*	№ 139	вис. кар.	ЮВ	1,7	1,3	0,6	0,5	4120	4200	4600	4300	4300	4300	АФС 1966 г.	0,2	0,1	0,0125	
140*	№ 140	кар.	ЮВ	0,7	0,5	0,1	0,1	4200	4300	4550	4450	4450	4450	АФС 1966 г.	—	—	0,0009	
141*	№ 141	вис. кар.	ЮВ	0,7	0,7	0,2	0,2	4200	4200	4500	4300	4300	4300	АФС 1966 г.	—	—	0,0024	
142*	№ 142	пр. р. Роштдара	дол.	ЮВ	3,6	1,8	2,0	0,7	3700	4100	4800	4200—	4600	4600	АФС 1966 г.	1,6	0,3	0,0764
143	№ 143	пр. р. Роштдара	кар.	ЮВ	0,6	0,6	0,2	0,2	4400	4400	4750	4550	4550	4550	АФС 1966 г.	0,1	0,1	0,0024
144	№ 144	пр. р. Роштдара	вис. кар.	Ю	0,8	0,8	0,2	0,2	4500	4500	4900	4600	4600	4600	АФС 1966 г.	0,1	0,1	0,0024
145*	№ 145	пр. р. Роштдара	вис. кар.	Ю	0,8	0,8	0,2	0,2	4620	4620	5100	4800	4800	4800	АФС 1966 г.	—	—	0,0024
146	№ 146	пр. р. Роштдара	дол.	В	2,0	2,0	0,5	0,5	3800	3800	5200	4450	4450	4450	АФС 1966 г.	0,3	0,3	0,0095
Сложный долинный ледник № 147, 148 имеет наибольшую длину 4,0 км, общую площадь 3,7 км ² (в том числе 0,7 км ² закрыто мореной) и площадь области абляции 1,4 км ²																		
147*	№ 147	Сипондждара	дол., часть сл. дол.	С	4,0	1,8	2,7	2,2	3600	4250	5100	4450	4450	4450	АФС 1966 г.	1,0	0,5	0,1198
149	№ 149	пр. р. Сипондждара	кар.-дол.	ЮВ	1,5	0,2	0,6	0,2	4400	4900	5100	4450	4450	4450	АФС 1966 г.	0,4	0,2	0,0270
3 ледника		Бассейны левых безымянных притоков р. Ракзуу (реки Ракзуу, Язгулем, Пяндж, Амударья)		Северные склоны северных отрогов Язгулемского хребта														
150*	№ 150	пр. р. Ракзуу	дол.	В	1,7	1,2	0,5	0,4	4100	4300	5100	4400	4400	4400	АФС 1947 г.	0,2	0,1	0,0095
151	№ 151	ледники	дол.	СВ	1,4	1,4	0,2	0,2	3800	3800	5180	4300	4300	4300	АФС 1947 г.	0,1	0,1	0,0024
150*	№ 150	пр. р. Ракзуу	дол.	В	1,7	1,2	0,5	0,4	4100	4300	5100	4400	4400	4400	АФС 1947 г.	0,2	0,1	0,0119

Кроме того, в бассейнах левых притоков р. Ракзю ниже устья р. Сипондждара имеется 2 ледника размерами менее 0,1 км² каждый, общей площадью 0,15 км²

Итого 4 ледника 0,9

Всего в бассейнах рек Мазардара и Ракзю имеется 115 ледников общей площадью 197,0 км², в том числе 108 ледников размерами 0,1 км² и более каждый, общей площадью 196,5 км² (из них 42,1 км² закрыто мореной) и 7 ледников размерами менее 0,1 км² каждый, общей площадью 0,5 км²

БАССЕЙНЫ ЛЕВЫХ ПРИТОКОВ Р. ЯЗГУЛЕМА

Бассейн левого притока р. Язгулема выше р. Дараникдахт (реки Язгулем, Пяндж, Амударья)

Северные склоны северных отрогов Язгулемского хребта

152	№ 152	пр. р. Язгулем	вис. кар.	C3	1,0	1,0	0,3	4150	4150	5100	4400	АФС 1947 г.	0,1	0,1	0,0044
1 ледник					0,3								0,1		0,0044

Бассейн р. Дараникдахт (реки Язгулем, Пяндж, Амударья)

Северные, западные и восточные склоны северных отрогов Язгулемского хребта

153*	№ 153	пр. р. Дараникдахт	кар.-дол.	3	1,1	—	0,3	—	3700	—	4500	—	—	0,3	—	0,0044
154*	№ 154	пр. р. Дараникдахт	дол.	3	3,4	1,2	1,2	0,7	3450	4400	4900	4600	АФС 1966 г.	0,6	0,1	0,0355
155*	№ 155	пр. р. Дараникдахт	сл. дол.	С	6,0,	3,0	2,9	1,5	3300	4030	5000	4200	АФС 1966 г.	1,7	0,3	0,1333
156*	№ 156	дол., часть	C3	2,2	0,8	0,5	0,3	4040	4080	4600	4200	АФС 1966 г.	0,3	0,1	0,0095	
		сл. дол.														

Сложный долинный ледник № 155, 156 имеет наибольшую длину 6,0 км, общую площадь 3,4 км² (в том числе 1,6 км² закрыто мореной) и площадь областя абляции 2,0 км²

157*	№ 157	дол.	3	1,6	0,4	0,4	0,1	4100	4700	4900	4700	АФС 1966 г.	0,4	0,1	0,0068		
158	Калдахт	Дараникдахт	дол., часть	С	6,3	2,2	3,1	2,1	3260	4050	5000	4200	АФС 1966 г.	1,4	0,4	0,1476	
159	Калдахт	Дараникдахт	сл. дол.	СЛ. дол., часть	СВ	5,8	1,6,	2,4	1,5	3260	4100	4900	4250	АФС 1966 г.	1,4	0,5	0,1004
		сл. дол.															

Сложный долинный ледник Калдахт (№ 158, 159) имеет наибольшую длину 6,3 км, общую площадь 5,5 км² (в том числе 1,9 км² закрыто мореной) и площадь областя абляции 2,8 км²

160*	№ 160	вис. кар.	С	0,8	0,4,	0,3	0,2	3800	4000	4400	4300	АФС 1966 г.	0,2	0,1	0,0044	
161*	№ 161	вис. кар.	C3	0,6	0,6	0,2	0,2	4200	4200	4600	4300	АФС 1966 г.	0,1	0,1	0,0024	
162*	№ 162	кар.	СВ	0,9	0,1	0,2	—	3700	3900	4000	—	—	0,2	—	0,0024	
163*	№ 163	кар.	В	1,0	0,1	0,2	—	3680	3950	4040	—	—	0,2	—	0,0024	
164*	№ 164	пр. р. Дараникдахт	кар.-дол.	В	1,3	0,2	0,4	0,1	3500	4000	4120	—	—	0,4	0,1	0,0068

12 ледников

Бассейн р. Дараницидахт (реки Язгулем, Пяндж, Амударья)

Северные склоны северных отрогов Язгулемского хребта

165	№ 165	пр. р. Дараницидахт	кар.	С	1,3	0,6	0,3	0,2	4000	4300	4800	4500	АФС 1966 г.	0,2	0,1	0,0044
166	№ 166	пр. р. Дараницидахт	кар.-дол.	С	1,6	0,7	0,6	0,6	3800	4300	5000	4550	АФС 1966 г.	0,2	0,2	0,0125

2 ледника

Бассейн р. Убагн (реки Язгулем, Пяндж, Амударья)

Северные склоны северных отрогов Язгулемского хребта

167	№ 167	Убагн	сл. дол.	C,C3	4,9	1,6	2,1	1,1	3380	4100	5640	4300	АФС 1966 г.	1,2	0,2	0,0822
168*	№ 168		дол., часть	С	2,2	1,9	0,7	0,6	3800	3900	5640	4200	АФС 1966 г.	0,3	0,2	0,0158

№	Название	Название реки, вытекающей из ледника	Морфологический тип	Наибольшая длина, км	Площадь, км ²	Высота, м	Фирновая линия		Площадь области аблации, км ²	Ссылки на последующие таблицы (иллюстрации)	
							км	м	способ определения и дата		
1											
169*	№ 169	дол., часть С сл. дол.	С	2,0	—	0,4	—	3380	—	0,4	— 0,0068

Сложный долинный ледник № 167—169 имеет наибольшую длину 4,9 км, общую площадь 3,2 км² (в том числе 1,5 км² закрыто мореной) и площадь области абляции 1,9 км².

170*	№ 170	пр. р. Убагн	дол.	СВ	1,9	—	0,5	—	3740	—	4500	—	0,5	— 0,0095
	4 ледника												2,4	0,1143

Бассейн р. Дарынбугуз (реки Язгулем, Пяндж, Амударья)

Северный склон Язгулемского хребта, западный и восточный склоны его северных отрогов														
171*	Дара-Бугуз	Дарынбугуз	сл. дол.	З	8,8	2,4	3,6	1,4	3100	4620	5300	4600—АФС 1966 г.	2,5	0,3 0,1844
172	№ 172		дол., часть С	С	2,8	1,8	0,9	0,7	4200	4400	5400	4750—АФС 1966 г.	0,4	0,2 0,0231
173	№ 173		дол., часть С	С	5,2	3,8	2,4	2,1	3300	3700	5400	4600—АФС 1966 г.	0,8	0,5 0,1004
	9 ледников		дол., часть С	СВ	1,6	0,4	0,4	0,4	4100	4100	4830	4450—АФС 1966 г.	0,1	0,1 0,0068

Сложный долинный ледник Дара-Бугуз (№ 171—173) имеет наибольшую длину 8,8 км, общую площадь 6,9 км² (в том числе 2,7 км² закрыто мореной) и площадь области аблации 3,7 км².

174*	№ 174	вис.	Ю	0,8	0,8	0,3	0,3	4900	4900	5300	—	—	—	0,0044
175*	№ 175	вис.	Ю	0,7	0,7	0,4	0,4	5100	5100	5640	—	—	—	0,0068
176*	№ 176	вис.	С3	1,4	1,4	0,4	0,4	4700	4700	5320	—	—	—	0,0068
177*	№ 177	вис.	С	1,8	1,8	1,0	1,0	4550	4550	5400	—	—	—	0,0270
178*	№ 178	дол.	С	2,2	—	0,6	—	3700	—	4100	—	—	0,6	— 0,0125
179	№ 179	пр. р. Дара-Бугуз	кар.-дол.	СВ	1,6	0,4	0,4	0,4	4100	4100	4830	4450—АФС 1966 г.	0,1	0,1 0,0068
	9 ледников												4,4	0,3722

Бассейн левого безымянного притока р. Язгулема (реки Язгулем, Пяндж, Амударья)

180*	№ 180	пр. р. Язгулем	дол.	С	1,4	—	0,3	—	3700	—	4450	—	0,3	— 0,0044
	1 ледник												0,3	0,0044

Бассейн р. Выдвидж (реки Язгулем, Пяндж, Амударья)

Северо-западный склон Язгулемского хребта, северо-восточный склон его северо-западного отрога														
181*	№ 181	пр. р. Выдвидж	дол.	С3	3,6	3,2	2,0	1,2	3620	3800	5800	4450—АФС 1966 г.	1,2	0,4 0,0764
182*	№ 182	Выдвидж	дол.	С	4,8	3,2	2,7	2,3	3640	4140	6130	4500—АФС 1966 г.	1,1	0,7 0,1198
183*	№ 183	пр. р. Выдвидж	дол.	С3, С	5,3	2,6	1,9	—	3700	4400	6130	4600—АФС 1966 г.	1,4	0,4 0,1333
184*	№ 184	пр. р. Выдвидж	вис. к.ар.	С	1,4	0,9	0,4	0,3	4340	4700	4550	4550—АФС 1966 г.	0,2	0,1 0,0068
185	№ 185	пр. р. Выдвидж	кар.	В	1,2	0,4	0,2	0,1	4100	4400	4600	4450—АФС 1966 г.	0,1	0,0024
186*	№ 186	пр. р. Выдвидж	вис. к.ар.	В	0,8	0,8	0,1	0,1	4200	4200	4600	4550—АФС 1966 г.	—	0,0009
	6 ледников												4,0	0,3396

Бассейн р. Зайчихов (реки Язгулем, Пяндж, Амударья)

		Северо-западный склон Язгулемского хребта, северный склон его западного отрога														
		сл. дол.	С3	5,1	0,5	3,8	1,3	3420	4600	5100	4700	АФС 1947 г.	2,5	—	0,2000	
187*	№ 187	Зайчихов														
188	№ 188	пр. р. Зайчихов	вис.	С	1,6	1,6	0,4	0,4	3900	3900	5100	4300	АФС 1947 г.	0,1	0,1	0,0068
189	№ 189	Вобзур	кар.	С	0,6	0,3	0,3	0,2	4100	4200	4400	4300	АФС 1947 г.	0,2	0,1	0,0044
	3 ледника					4,5	1,9							2,8	0,2112	

Бассейн р. Хуздордара (реки Ужомдара, Камчадара, Язгулем, Пяндж, Амударья)

		Северо-западный склон Язгулемского хребта, северный склон его западного отрога														
		дол.	ЮЗ	3,6	3,0	1,6	1,3	4160	4300	5490	4500	АФС 1966 г.	0,6	0,3	0,0546	
190*	№ 190	Хуздордара	дол.	3	3,2	1,3	1,3	4000	4000	5500	4600	АФС 1966 г.	0,6	0,6	0,0400	
191*	№ 191	пр. р. Хуздор- дара	дол.													
192*	№ 192	пр. р. Хуздор- дара	дол.	С3	4,0	3,2	1,6	1,3	4100	4300	5100	4500—	АФС 1966 г.	0,6	0,3	0,0546
193*	№ 193	пр. р. Хуздор- дара	дол., часть	С3, 3	3,6	1,6	1,6	1,2	3400	4300	5100	4500	АФС 1966 г.	0,7	0,3	0,0546
194	№ 194	пр. р. Хуздор- дара	дол., часть	С, 3	4,4	4,0	1,2	1,1	3400	3600	5600	4500	АФС 1966 г.	0,5	0,4	0,0355
		дол., часть	С3, 3													

Сложный долинный ледник № 193, 194 имеет наибольшую длину 4,4 км, общую площадь 2,8 км² (в том числе 0,5 км² закрыто мореной) и площадь области абразии 1,2 км².

		С3	0,9	0,9	0,3	0,3	4150	4150	4600	4550	АФС 1966 г.	—	—	0,0044
195*	№ 195	пр. р. Хуздор- дара	вис.											
	6 ледников													
	Итого 7 ледников													7,7

Кроме того, в бассейне р. Хуздордара имеется 1 ледник размером менее 0,1 км² площадью 0,08 км²

Итого 7 ледников

Бассейн р. Ванаудара (реки Ужомдара, Камчадара, Язгулем, Пяндж, Амударья)

		С3	0,9	0,9	0,3	0,3	4150	4150	4600	4550	АФС 1966 г.	—	—	0,0044		
196*	№ 196	пр. р. Ванаудара	сл. дол.	Ю	3,3	1,2	1,4	0,7	4100	4210	5300	4800	АФС 1966 г.	0,9	0,2	0,0447
197*	№ 197	пр. р. Ванаудара	дол., часть	3	2,0	2,0	0,5	0,5	4160	4160	5200	4800	АФС 1966 г.	0,3	0,3	0,0095
		дол.														

Сложный долинный ледник № 196, 197 имеет наибольшую длину 3,3 км, общую площадь 1,9 км² (в том числе 0,7 км² закрыто мореной) и площадь области абразии 1,2 км².

Кроме того, в бассейне р. Ванаудара имеется 1 ледник размером менее 0,1 км² площадью 0,07 км²

Итого 13 ледников

Бассейн р. Ванаудара (реки Ужомдара, Камчадара, Язгулем, Пяндж, Амударья)

		Язгулемского хребта	
		Западный и северный склоны	Язгулемского хребта
198*	№ 198	пр. р. Ванаудара кар.-дол.	ЮЗ
199*	№ 199	пр. р. Ванаудара дол.	3
200*	№ 200	пр. р. Ванаудара кар.-дол.	С3
201*	№ 201	пр. р. Ванаудара кар.	С3
202*	№ 202	пр. р. Ванаудара вис.	С3
203*	№ 203	Ванаудара дол.	С
204*	№ 204	пр. р. Ванаудара дол.	СВ, С
205*	№ 205	пр. р. Ванаудара кар.	С
206*	№ 206	пр. р. Ванаудара дол.	С
207	№ 207	пр. р. Ванаудара	СВ
	12 ледников		

Кроме того, в бассейне р. Ванаудара имеется 1 ледник размером менее 0,1 км² площадью 0,07 км²

Итого 13 ледников

11,3

Название реки и ледника	Название реки, вытекающей из ледника	Морфо- логический тип	Наибольшая длина, км	Площадь, км ²	Высота, м		Фирновая линия		Площадь облас- ти аль- биции, км ²	Ссылки на последующие таблицы (иллюстрации)							
					С3	3	10	11	12	13	14	15	16	17	18		
1	2	3	4	5	6	7	8	9	10	11	12	13	14	15	16	17	18
208*	№ 208	Зарбондара	дол. кар. выс. вис. кар.	C3	2,2 0,6 0,6	1,6 0,6 0,2	0,9 0,1 0,2	0,6 0,1 0,2	4240 4600 4500	4400 4900 4800	4800 4650 4600	4550 4650 4600	AФС 1958 г. AФС 1958 г. AФС 1958 г.	0,4 — 0,1	0,1 — 0,1	0,0231 0,0009 0,0024	
209*	№ 209	пр. р. Зарбондара															
210*	№ 210	пр. р. Зарбондара															
3 ледника																	
Бассейн р. Зарбондара (реки Камчадара, Язгулем, Пяндж, Амударья)																	
Северный склон северного отрога Язгулемского хребта																	
211*	№ 211	пр. р. Арганхэх	дол.	C3	3,4	3,4	1,2	1,2	4240	4240	4850	4500	AФС 1958 г.	0,5	0,5	0,0355	
212*	№ 212	пр. р. Арганхэх	дол.	C3	3,0	3,0	1,3	1,3	4220	4220	5000	4500	AФС 1958 г.	0,5	0,5	0,0400	
213	№ 213	пр. р. Арганхэх	кар.-дол.	C3	1,5	1,5	0,5	0,5	4340	4340	4800	4500	AФС 1958 г.	0,1	0,1	0,0095	
214	№ 214	пр. р. Арганхэх	дол.	C3	2,4	2,0	0,8	0,6	4100	4300	4900	4450	AФС 1958 г.	0,4	0,2	0,0193	
215	№ 215	пр. р. Арганхэх	дол.	C3	2,4	2,4	0,9	0,9	4100	4100	4900	4450	AФС 1958 г.	0,4	0,4	0,0231	
216	№ 216	пр. р. Арганхэх	кар.-дол.	C	1,8	1,8	0,7	0,7	3800	3800	4900	4300	AФС 1958 г.	0,1	0,1	0,0158	
217	№ 217	пр. р. Арганхэх	кар.-дол.	C	1,9	1,3	0,6	0,5	4100	4200	4900	4300	AФС 1958 г.	0,2	0,1	0,0125	
218	№ 218	пр. р. Арганхэх	кар.	C	1,4	1,4	0,6	0,6	4100	4100	5200	4350	AФС 1958 г.	0,1	0,1	0,0125	
8 ледников																	2,3
Кроме того, в бассейне р. Арганхэх имеется 1 ледник размером менее 0,1 км ² площадью 0,05 км ²																	6,7
Итого 9 ледников																	
Бассейн р. Сэйгехар (реки Камчадара, Язгулем, Пяндж, Амударья)																	
Северный и восточный склоны Язгулемского хребта																	
219*	№ 219	пр. р. Сэйгехар	кар.-дол.	C	2,0	2,0	0,5	0,5	3700	3700	4900	4450	AФС 1958 г.	0,2	0,2	0,0095	
220*	№ 220	вис. кар.	C3	0,7	0,7	0,2	0,2	4400	4400	5000	4600	AФС 1958 г.	—	—	0,0024		
221*	№ 221	Сэйгехар	сл. дол.	C	4,2	3,8	3,5	3,3	3580	3800	4900	4500	AФС 1958 г.	1,2	1,0	0,1768	
222	№ 222	Сэйгехар	дол., часть сл. дол.	C3	2,9	2,0	1,0	0,7	3580	3900	4800	4200	AФС 1958 г.	0,4	0,1	0,0270	
Сложный долинный ледник № 221, 222 имеет наибольшую длину 4,2 км, общую площадь 4,5 км ² (в том числе 0,5 км ² закрыто мореной) и площадь области аб- ляции 1,6 км ²																	2,5
223	№ 223	пр. р. Сэйгехар	дол.	СВ	1,3	0,8	0,3	0,2	3900	4100	4500	4300	AФС 1958 г.	0,2	0,1	0,0044	
224*	№ 224	пр. р. Сэйгехар	кар.	C	0,4	0,4	0,1	0,1	4360	4400	4500	4400	AФС 1958 г.	—	—	0,0009	
225*	№ 225	пр. р. Сэйгехар	кар.-дол.	C	2,0	1,8	1,3	1,0	4360	4400	4950	4500	AФС 1958 г.	0,5	0,2	0,0400	
Итого 8 ледников																	7,0
Кроме того, в бассейне р. Сэйгехар имеется 1 ледник размером менее 0,1 км ² площадью 0,08 км ²																	

Бассейны левых притоков р. Камчадара (реки Камчадара, Язгулем, Пяндж, Амударья)

		Бассейн р. Зирдара (реки Дардимтравн, Язгулем, Пяндж, Амударья)										
		Бассейн р. Дарантрак (реки Дардимтравн, Язгулем, Пяндж, Амударья)										
226	№ 226	пр. р. Камчадара	вис. кар.	СВ	1,3	1,2	0,5	0,5	4420	4500	4900	4600
227*	№ 227	Тарзодара	вис. кар.	С	0,5	0,3	0,1	0,1	4400	4600	4900	4600
228*	№ 228	Тарзодара	вис. кар.	С	0,6	0,4	0,1	0,1	4500	4600	4800	4700
3 ледника					0,7	0,7						0,1
Бассейн левого безымянного притока р. Дардимтравн (реки Дардимтравн, Язгулем, Пяндж, Амударья)												
Северный склон Язгулемского хребта												
229*	№ 229	Зирдара	дол.	С	4,4	1,1	3,2	1,1	3500	3960	5090	4100—
230*	№ 230		дол.	С	2,4	1,2	0,7	0,4	3720	4000	4700	4200
231*	№ 231		вис. кар.	СВ	0,5	0,5	0,1	0,1	4400	4400	4700	4500
3 ледника					4,0	1,6						2,6
Бассейн р. Дарантрак (реки Дардимтравн, Язгулем, Пяндж, Амударья)												
Северный и восточный склоны Язгулемского хребта												
232*	Олуды	пр. р. Дардимот-	дол.	СВ, С	4,2	4,2	2,4	2,4	4000	4000	4700	4250—
233*	№ 233	пр. р. Дардимот-	дол.	С	2,1	2,1	0,9	0,9	3930	3930	4700	4300
234*	№ 234	пр. р. Дардимот-	вис.	СВ	1,3	1,3	0,3	0,3	4500	4500	4700	4550
235*	№ 235	пр. р. Дардимот-	дол.	С	1,9	1,9	0,6	0,6	4100	4100	4750	4300
236*	№ 236	пр. р. Дардимот-	вис. кар.	С	1,3	0,8	0,3	0,2	4000	4200	4600	4300
237*	№ 237	пр. р. Дардимот-	вис. кар.	С	1,7	1,4	0,7	0,5	3800	4000	4600	4150
238*	№ 238	пр. р. Дардимот-	вис. кар.	СВ	1,2	1,2	0,4	0,4	4000	4000	4600	4150
239*	№ 239	пр. р. Дардимот-	кар.-дол.	СВ	1,2	1,2	0,3	0,3	3850	4150	4500	4200
240*	№ 240	пр. р. Дардимот-	кар.-дол.	СВ, С	1,5	1,5	0,4	0,4	3800	3900	4700	4150
9 ледников					6,3	6,0						1,8
Бассейн р. Дарантрак (реки Дардимтравн, Язгулем, Пяндж, Амударья)												
Северо-восточный склон северо-западного отрога Язгулемского хребта												
241*	№ 241	Дарантрак	кар.-дол.	С	1,3	1,3	0,4	0,4	3600	3600	4000	3800
242*	№ 242	пр. р. Дарантрак	вис. кар.	С	0,9	0,9	0,3	0,3	3500	3700	4200	3900
243*	№ 243	пр. р. Дарантрак	кар.	С3	0,8	0,8	0,2	0,2	3900	3900	4600	4200
244*	№ 244	пр. р. Дарантрак	кар.	С	0,9	0,9	0,2	0,2	3900	3900	4600	4200
4 ледника					1,1	1,1						0,5

Кроме того, в бассейне р. Дарантрак имеется 1 ледник размером менее 0,1 км² площадью 0,09 км²

Итого 5 ледников

Всего в бассейнах левых притоков р. Язгулема имеется 98 ледников общих площадью 86,2 км², в том числе 93 ледника с площадью 0,1 км² и более каждый, общей площадью 85,7 км² (из них 23,9 км² закрыто мореной) и 5 ледников с площадью менее 0,1 км² каждый, общей площадью 0,5 км².
Всего в бассейне р. Язгулема имеется 269 ледников общих площадью 313,0 км², в том числе 244 ледника с площадью 0,1 км² и более каждый, общей площадью 310,9 км² (из них 73,4 км² закрыто мореной) и 25 ледников с площадью менее 0,1 км² каждый, общей площадью 2,1 км².

Пояснения к таблице I

№ ледни- ка по таб- лице	Название	№ гра- фы	Пояснение	№ ледни- ка по таб- лице	Название	№ гра- фы	Пояснение
1	2	3	4	1	2	3	4
2	№ 2	4	Ниже конца языка имеется участок погребенного льда площадью 0,3 км ² , спускающийся до высоты 3740 м	27--29	№ 27—29	4	бенного льда площадью 0,1 км ² , спускающийся до высоты 3700 м
3	№ 3	9, 16	Площадь льда, закрытого мореной, менее 0,1 км ²				На карте показан сложный долинный ледник, занимающий почти всю долину реки. На самом деле покрыта растительностью древняя морена спускается до высоты 2900 м, а ледники расположены в боковых ущельях и до основного русла не доходят. Все три ледника имеют резко выраженное асимметричное питание лавинами со склонов северной экспозиции. Ниже конца каждого ледника имеются участки погребенного льда площадью 0,1 км ²
6	№ 6	4, 13	Ледник «туркестанского типа», питается лавинами. Нижняя часть языка, возможно, омертвела. Средняя высота границы питания 4200 м				
7	№ 7	4	Ниже конца языка имеется участок погребенного льда площадью 0,3 км ² , спускающийся до высоты 3300 м				
9	№ 9	4	Ниже конца языка имеется участок погребенного льда площадью 0,2 км ² , спускающийся до высоты 3450 м	30	№ 30	15, 16	Площадь области абляции менее 0,1 км ²
11	№ 11	4	Ниже конца языка имеется участок погребенного льда площадью 0,1 км ² , спускающийся до высоты 3600 м	31	№ 31	4	Язык ледника малоактивный, постепенно переходит в погребенный лед. Площадь последнего 0,9 км ² , он спускается до высоты 3600 м
15	№ 15	4	В средней части очень грязного широкого языка имеется нунатак	32—35	№ 32—35	3	Расположены в бассейне ледника № 31
16	№ 16	4	Ледник занимает два хорошо выраженных карпа, расположенных один над другим	32	№ 32	4	Ледник у своего конца разделяется на два языка, оканчивающиеся на разных высотах
17, 18	№ 17, 18	4	Ниже концов ледников имеется общий участок погребенного льда площадью 0,4 км ² , спускающийся до высоты 3900 м	34	№ 34	8	Ледник получает дополнительное питание с фирнового поля, расположенного в тыловой части кара. Его площадь включена в общую площадь ледника
19, 20	Петруз, № 20	2, 4	Узкие длинные языки соприкасаются боковыми частями почти на всем протяжении. На карте оба ледника показаны сложным долинным ледником Петруз. Ниже их концов имеется участок погребенного льда площадью 0,5 км ² , спускающийся до высоты 3760 м	37	№ 37	4	Большая роль в питании ледника принадлежит лавинам. Ниже конца ледника расположен участок погребенного льда площадью 0,2 км ² , спускающийся до высоты 4100 м
21	№ 21	3, 4, 15, 16	Ледник расположен в бассейне ледника № 19, ниже его конца имеется участок погребенного льда площадью 0,1 км ² , спускающийся до высоты 4100 м. Площадь области абляции ледника менее 0,1 км ²	38, 39	Гудковаси, № 39	4	На карте ледники № 38, 39 показаны сложным долинным ледником Гудковаси. В настоящее время эти ледники не соединяются. До высоты 3600 м спускается древняя морена
24	№ 24	13	Указана средняя высота границы лавинного питания.	40	№ 40	4	Ниже конца языка расположен участок погребенного льда площадью 0,2 км ² , спускающийся до высоты 4020 м
25	№ 25	4, 16	Область абляции ледника, свободная от моренного покрова, имеет площадь менее 0,1 км ² . Ниже языка до высоты 4100 м находится участок погребенного льда площадью 0,1 км ²	41	№ 41	4	Ниже конца ледника расположен участок погребенного льда площадью 0,2 км ² , спускающийся до высоты 4000 м
26	№ 26	4	Ниже конца языка находится участок погре-	42	№ 42	4	Очень сильно заморенный язык переходит в погребенный лед площадью около 0,3 км ² ,

Пояснения к таблице I

№ ледни- ка по таб- лици	Название	№ гра- фы	Пояснение	№ ледни- ка по таб- лици	Название	№ гра- фы	Пояснение
1	2	3	4	1	2	3	4
43	№ 43	4	спускающийся до высоты 4050 м Ледник «туркестанского типа», питающийся лавинами	69, 70	Захарченко	3, 4	Сложный долинный ледник, образующийся слиянием двух ветвей. Область питания правой ветви (№ 69) — стенки и чаша обширного кара, разделенного нунатаками на несколько камер. Дополнительное питание получает с участка фирна, расположенного на склоне северной экспозиции. Река, вытекающая из-под ледника Захарченко, течет между склоном и левой боковой мореной Язгулемского ледника
44	№ 44	4	Ледник расположен в узком каре с отвесными стенками, питается лавинами со склонов. Ниже конца языка расположен участок погребенного льда площадью 0,2 км ² , спускающийся до высоты 3600 м				
47	№ 47	13	Полностью расположен в области абляции, питание лавинное				
48	№ 48	4	Вблизи конца языка ледника раздваивается	71	№ 71	4	Ледник «туркестанского типа», закрыт мореной, питание лавинное
49, 50	№ 49, 50	9, 15	Площади участков льда, закрытых мореной, у каждого из ледников менее 0,1 км ² , но для всего сложного долинного ледника она равна 0,1 км ²	72	№ 72	4	Питание преимущественно лавинное со склоном северной экспозиции
51, 52	№ 51, 52	4	Ниже концов языков расположен общий участок погребенного льда площадью 0,3 км ² , широким языком спускающийся до высоты 3900 м	73	№ 73	3	Расположен в бассейне ледника № 72
60	№ 60	4	Ниже конца языка расположен участок погребенного льда площадью 0,3 км ² , широким языком спускающийся до высоты 4000 м	74	№ 74	4	Большую роль в питании играют лавины и обвалы фирновых полей со склона северной экспозиции
62, 63	Язгулемский, № 63	4	Сложный долинный ледник Язгулемский имеет небольшой приток с правого борта, ледник № 63. Фирновая область первого от языка отделена ледопадом, имеет первоначальные седловины с ледниками Федченко и Язгулемара. Ледник получает дополнительное питание лавинами с крутым левого борта долины почти на всем протяжении языка. Ниже современного языка расположены участки погребенного льда площадью 1,9 км ² , спускающиеся до высоты 3300 м	79	№ 79	4	Сложный долинный ледник, образованный слиянием двух потоков и имеющий справа небольшой приток северо-восточной экспозиции. Язык ледника сильно засыпан мореной, мало активный, а самый конец, возможно, омертвел
				80, 81, 83	№ 80, 81, 83	3	Ледники расположены в бассейне ледника № 79
				81	№ 81	4	Сложный долинный ледник, образованный слиянием двух примерно равных потоков. Прежде был притоком ледника № 79
				82	№ 82	3, 4	Расположен в бассейне ледника № 81. Широкий чистый язык окаймлен участками погребенного льда площадью 0,3 км ² , спускающимися до высоты 4280 м
64—68	№ 64—68	3	Расположены в бассейне ледника № 62	84—94	Ракзоу	4	Дендритовый ледник, основной ствол которого образуется слиянием нескольких ветвей — ледников № 84, 86 и 88, 91, имеющих обширные многокамерные области питания, которые в свою очередь являются сложными долинными ледниками. Основным потоком ледника Ракзоу следует считать ледник № 86, который имеет наибольшую площадь и длину. Долина ледника Ракзоу слабо разработана, представляет чередование
65	№ 65	16	Небольшая часть языка площадью менее 0,1 км ² закрыта мореной				
68	№ 68	4, 8	В области аккумуляции ледника находится фирновое поле, питающее ледник обвалами фирна, но не соединяющееся с ним. Его площадь включена в общую площадь ледника. Ледник разделяется на несколько языков, с которых происходят обвалы льда на поверхность Язгулемского ледника				

Пояснения к таблице I

№ ледни- ка по таб- лице	Название	№ гра- фы	Пояснение	№ ледни- ка по таб- лице	Название	№ гра- фы	Пояснение
1	2	3	4	1	2	3	4
95	№ 95	4	озеровидных расширений до 1000 м в поперечнике с узкими скалистыми ущельями. Поверхность языка сильно заморенена	104	№ 104	4	Ниже конца языка расположен участок погребенного льда площадью 0,1 км ² , спускающийся до высоты 4300 м
98	№ 98	4	Фирновая область ледника, занимающая обширный кар, отделена скалистым уступом от ледникового языка, представляющего возрожденный ледник	105—109	№ 105—109	3, 4	Ледники расположаются в бассейне ледника № 103 во вторичных карах большого цирка южной экспозиции. Ниже концов этих ледников имеется общий участок погребенного льда площадью 0,8 км ² — омертвевший язык долинного ледника, бывшего притока ледника № 103.
100, 101	№ 100, 101	3, 13	Очень короткий язык продуцирует обвалы льда на поверхность ледника Ракзоу	106	№ 106	15, 16	Погребенный лед тянется вдоль правого борта этого ледника и оканчивается на высоте 4200 м
102	№ 102	4, 13	Ледник № 101 расположен в бассейне ледника № 100. Ниже конца ледника № 101 и вдоль правого борта ледника № 100 находится участок погребенного льда площадью 0,3 км ² , спускающийся до высоты 4040 м. Питание ледника № 100 асимметричное лавинами со склона северной экспозиции, следы лавин видны почти на всем протяжении языка. Высота границы питания понижается вдоль склона северной экспозиции с 4700 до 4500 м	107	№ 107	15, 16	Площадь области абляции менее 0,1 км ²
103	Ляп-Назар	4	Ледник имеет асимметричное питание лавинами со склона северной экспозиции. Высота границы питания понижается вдоль склона северной экспозиции с 4800 до 4600 м	110	№ 110	13	Указана средняя высота границы лавинного питания
			На склоне г. Ляп-Назар на высотах 5800—5900 м расположено фирновое плато, сток из которого в основном происходит на север, в правую ветвь ледника Язгулемдара, и на юг, в небольшой ледник на южном склоне Язгулемского хребта. Часть фирна из этого плато поступает в фирновую область ледника Ляп-Назар. Язык ледника производит впечатление малоактивного, на его поверхности в средней части много озер, конец грязный, плоский, не имеет хорошо выраженного лба. Питание асимметричное, лавинами со склона северной экспозиции. Вдоль правого борта тянется участок погребенного льда, остаток омертвевшего языка бывшего правого притока	111	№ 111	4	Сильно загрязненный язык, на котором следы лавин со склона северной экспозиции. Ниже конца языка расположен участок погребенного льда площадью 0,2 км ² , спускающийся до высоты 3400 м
				112	№ 112	3	Находится в бассейне ледника № 111
				113	№ 113	4, 15, 16	Фирновое поле, область абляции отсутствует
				114	№ 114	4	Ледник «туркестанского типа», имеющий сильно загрязненный язык и питающийся лавинами
				115	№ 115	4	Ледник имеет широкий грязный деградирующий язык, питается главным образом лавинами и обвалами с двух висячих ледников № 116 и 117 и фирновых полей, расположенных на склонах цирка
				116, 117	№ 116, 117	3, 4, 15	Висячие ледники, расположенные в бассейне ледника № 115 и питающие его обвалами льда и фирна. Область абляции ледника № 117 имеет площадь менее 0,1 км ²
				118	Бирджрафдара	4	Сложный долинный ледник с многоцамерной областью питания и одним правым притоком — ледником № 119
				119	№ 119	4	В области абляции ледник разделяется на два языка, из которых левый является притоком ледника № 118
				120, 121	№ 120, 121	3	Расположены в бассейне ледника № 118
				123, 124	№ 123, 124	4	Ледники почти на всем протяжении обла-

Пояснения к таблице I

№ ледни- ка по таб- лице	Название	№ гра- фы	Пояснение	№ ледни- ка по таб- лице	Название	№ гра- фы	Пояснение
1	2	3	4	1	2	3	4
125	№ 125	4	сти абляции соприкасаются друг с другом своими боковыми частями	142	№ 142	4, 13	щади областей абляции менее 0,1 км ²
127	№ 127	3, 4, 13	Ледник имеет многокамерную область питания				Язык ледника грязный, фирн и чистый лед располагаются узкой полосой вдоль склона северо-восточной экспозиции.
			Указана высота границы лавинного питания, которая повышается с запада на восток вдоль склона северной экспозиции. Ледник расположен в бассейне ледника № 126				Высота границы лавинного питания увеличивается с юго-востока на северо-запад. Слева от ледника в боковом каре располагается участок погребенного льда площадью 0,2 км ² , примыкающий к леднику № 142
128, 130	№ 128, 130	3	Ледники расположены в бассейне ледника № 125	145	№ 145	15, 16	Площадь области абляции менее 0,1 км ²
130	№ 130	13	Указана высота границы лавинного питания, которая повышается с запада на восток вдоль склона северной экспозиции	147	№ 147	4	Уэкий длинный покрытый мореной язык отделен крутым уступом от области аккумуляции, расположенной в обширном каре
131	№ 131	4	Язык ледника грязный, нижняя его часть, возможно, омертвела. Слева имеет приток площадью менее 0,1 км ² , включенный в площадь основного ледника	148	№ 148	4, 8	Приток ледника № 147. В области абляции эти ледники трудно расчленить, поэтому площади и высотные характеристики ледника № 148 даны по место слияния этих ледников
132	№ 132	4	Возрожденный ледник, питаемый обвалами фирнового поля				Плато ледника № 147. Лавинный снег лежит прямо на грязной поверхности языка
133, 134	№ 133, 134	4, 13	Сложный долинный ледник, образованный слиянием двух потоков. Правый поток, ледник № 133, имеет многокамерную область питания и сильно засыпанный мореной малоактивный язык. Большую роль в питании ледника играют лавины со склона северной экспозиции. Левый поток (№ 134) имеет узкий и длинный язык и область питания, расположенную в крупном двухкамерном цирке. Граница питания понижается с запада на восток вдоль склона северной экспозиции, с которого ледник получает дополнительное лавинное питание	150	№ 150	4, 13	Ледник «туркестанского типа», фирновая область отсутствует, только вдоль его края следы лавин. Ниже конца языка расположен участок погребенного льда площадью 0,2 км ² , спускающийся до высоты 3350 м
				153	№ 153	4	Сильно засыпанный мореной язык. Большую роль в питании ледника играют лавины. На склоне цирка расположено фирновое поле площадью 0,3 км ² , пытающее ледник обвалами. Его площадь включена в площадь ледника
				154	№ 154	4, 8	
135, 136	№ 135, 136	3, 4	Расположены в бассейне ледника № 133. Большую роль в питании играют лавины	155	№ 155	4, 8	Конец языка ледника на протяжении 0,5 км течет параллельно леднику Каддахт (№ 158), но отделен от него боковой мореной последнего. В верховьях ледника № 155 расположено фирновое поле, пытающее ледник обвалами фирна. Его площадь включена в общую площадь ледника
137, 138	№ 137, 138	4	Примыкают к леднику № 134, но отделены от него моренами				Является притоком сложного долинного ледника № 155. Все площадные и высотные характеристики даны по слияние с ледником № 155
139	№ 139	3, 4, 13	Расположен в бассейне ледника № 134. Указана средняя высота границы лавинного питания. Ниже конца языка расположен участок погребенного льда площадью 0,2 км ² , доходящий до ледника № 134	156	№ 156	4, 8	
140, 141	№ 140, 141	3, 15, 16	Расположены в бассейне ледника № 134, пло-				

Пояснения к таблице 1

№ ледни- ка по таб- лице	Название	№ гра- фы	Пояснение	№ ледни- ка по таб- лице	Название	№ гра- фы	Пояснение
1	2	3	4	1	2	3	4
157	№ 157	3, 4	Расположен в бассейне ледника № 156. Сильно засыпанный конец ледника переходит в погребенный лед. Питание преимущественно лавинное	181—184	№ 181—184	2, 3	На карте все ледники, расположенные в верховьях р. Выдвяджа, называются ледниками Выдвядж. Истоком реки можно считать реку, вытекающую из-под погребенного льда, общего для ледников № 182 и 183.
160, 161	№ 160, 161	3	Расположены в бассейне ледника № 158.				
162, 163	№ 162, 163	3	Расположены в бассейне ледника № 159.	182, 183	№ 182, 183	4	Ледники соприкасаются друг с другом на небольшом участке в концевых частях. Ниже их концов расположен участок погребенного льда площадью 0,3 км ² , спускающийся до высоты 3520 м
162—164	№ 162—164	4, 13	Ледники «туркестанского типа» с сильно засыпанными мореной языками и следами лавин. Полностью расположены в области абляции				
168	№ 168	4	Приток сложного долинного ледника № 167. Его площадные и высотные характеристики даны по слияние с этим ледником	186	№ 186	15, 16	Площадь области абляции менее 0,1 км ²
				187	№ 187	4	Язык ледника почти весь закрыт мореной. Ледник имеет большой снегосборный бассейн — два кара, на склонах которых много снега и небольших фирновых полей, площадь которых включена в общую площадь ледника. В нижней части язык получает дополнительное питание из кара, расположенного у левого борта
169	№ 169	4, 13	Приток ледника № 167. Ледник «туркестанского типа» с сильно засыпанным мореной языком и с лавинным питанием, полностью расположен в области абляции	190, 191	№ 190, 191	4	Ниже концов языков расположен участок погребенного льда площадью 0,3 км ² , спускающийся до высоты 3820 м
170	№ 170	4, 13	Ледник «туркестанского типа» (возможно, участок погребенного льда) с сильно засыпанным мореной языком и лавинным питанием. Полностьюложен в области абляции	192	№ 192	4	Ниже конца ледника расположен участок погребенного льда площадью 0,1 км ² , спускающийся до высоты 3820 м.
171	Дара-Бугуз	4	Основной ствол сложного долинного ледника. Его узкий длинный язык протянулся с востока на запад параллельно Язгулемскому хребту. Питание преимущественно лавинами со склона северной экспозиции и обвалами с фирновых полей, площадь которых включена в общую площадь ледника. После впадения второго левого притока (№ 173) язык ледника через узкую щель крутым ледопадом спускается в долину	193	№ 193	4	Имеет двухкамерную область питания
174, 175	№ 174, 175	4, 13	Крупные фирновые поля, питающие обвалами ледник № 171. Полностью расположены в области аккумуляции	195	№ 195	15, 16	Площадь области абляции менее 0,1 км ²
176, 177	№ 176, 177	4, 13	Крупные фирновые поля, питающие обвалами ледник № 173. Полностью расположены в области аккумуляции	196	№ 196	2, 3	Ледники № 196—206, всесообразно расположющиеся в верховьях р. Ванаудара, на карте называются ледниками Ванау. Истоком р. Ванаудара можно считать реку, вытекающую из под ледника № 203, который среди указанных ледников имеет наибольшую площадь
178, 180	№ 178, 180	4, 13	Ледники «туркестанского типа» (возможно, погребенный лед) с сильно засыпанными языками и лавинным питанием, полностью расположены в области абляции	199	№ 199	4	Кроме левого притока, ледника № 197, белым языком вливавшимся в сильно загрязненный язык основного ствола, имеет справа небольшой приток — каровый ледник размером менее 0,1 км ² , площадь которого включена в общую площадь ледника № 196
							Ледник имеет широкий, ровный, покрытый

Пояснения к таблице I

№ ледни- ка по таб- лице	Название	№ гра- фы	Пояснение	№ ледни- ка по таб- лице	Название	№ гра- фы	Пояснение
1	2	3	4	1	2	3	4
202	№ 202	3	мореной языком, на поверхности которого много озер	230	№ 230	3	шается с запада на восток вдоль склона северной экспозиции с 4100 до 4400 м
203	№ 203	4	Расположен в бассейне ледника № 201. Кроме основного языка имеет еще два небольших языка, оканчивающихся на разных высотах	231	№ 231	3, 15, 16	Расположен в бассейне ледника № 229. Расположен в бассейне ледника № 230. Площадь области аблации менее 0,1 км ²
204	№ 204	4	Возрожденный ледник, область питания которого и небольшой участок области аблации отделены скалистым уступом от основной части языка, лежащей в долине	232	Одуды	2, 4	В верховьях соединяется с ледником, текущим на юг, в бассейн р. Бартанга, и с ледником № 233. Название Одуды, на карте принадлежащее трем сливающимся верховьями ледникам, может быть присвоено леднику № 232, по которому идет тропа на перевал Одуды. Язык окаймляют участки погребенного льда площадью 0,2 км ² , спускающиеся до высоты 2960 м
206	№ 206	4, 10	Из фирнового бассейна спускаются два хорошо выраженных длинных узких языка, из которых верхний кончается на высоте 4100 м	233	№ 233	4	Соединяется в верховьях с ледником № 232
208	№ 208	4	Ниже конца языка расположен участок погребенного льда площадью 0,4 км ² , спускающийся до высоты 4000 м	233, 235	№ 233, 235	4	Ниже концов языков находится участок погребенного льда площадью 0,3 км ² , спускающийся до высоты 3860 м
209	№ 209	15, 16	Площадь области аблации менее 0,1 км ²	234	№ 234	3, 15, 16	Расположен в бассейне ледника № 233. Площадь области аблации менее 0,1 км ²
210	№ 210	4	У подножия склона, на котором расположен карово-висячий ледник № 210, находится участок погребенного льда площадью 0,2 км ² , спускающийся до высоты 4000 м	236—244	№ 236—244	4	Рельеф этого района на карте нарисован неправильно, ледники не написаны вообще. Высоты даны приблизительно
211, 212	№ 211, 212	4	На протяжении нижних 2 км языки ледников соприкасаются боковыми частями, но не сливаются, а разделены мореной и кончаются двумя самостоятельными языками	236—240	№ 236—240	4	Ледники занимают вторичные кары в общем древнем цирке
219	№ 219	4	Из кары крутым ледопадом спускается очень узкий язык	238	№ 238	15, 16	Площадь области аблации менее 0,1 км ²
220	№ 220	3, 15, 16	Расположен в бассейне ледника № 219. Площадь области аблации менее 0,1 км ²	241	№ 241	4, 13	Указана высота границы лавинного питания. Ниже конца языка расположен участок погребенного льда площадью 0,4 км ² , спускающийся до высоты 3050 м
221	№ 221	4	Имеет двухкамерную область питания	242	№ 242	13	Указана средняя высота границы лавинного питания
224	№ 224	15, 16	Площадь области аблации менее 0,1 км ²	243, 244	№ 243, 244	4, 13	Указана средняя высота границы лавинного питания. Ниже концов ледников расположен участок погребенного льда площадью 0,3 км ² , спускающийся до высоты 3500 м
224, 225	№ 224, 225	4	Ниже концов ледников имеется участок погребенного льда площадью 0,4 км ² , спускающийся до высоты 4200 м, к которому слева примыкает еще один ледничок размером менее 0,1 км ²				
227, 228	№ 227, 228	15, 16	Площади областей аблации менее 0,1 км ²				
229	№ 229	4	Язык ледника сильно заморенен, на его поверхности много озер. Питание преимущественно лавинное. Высота границы питания повы-				

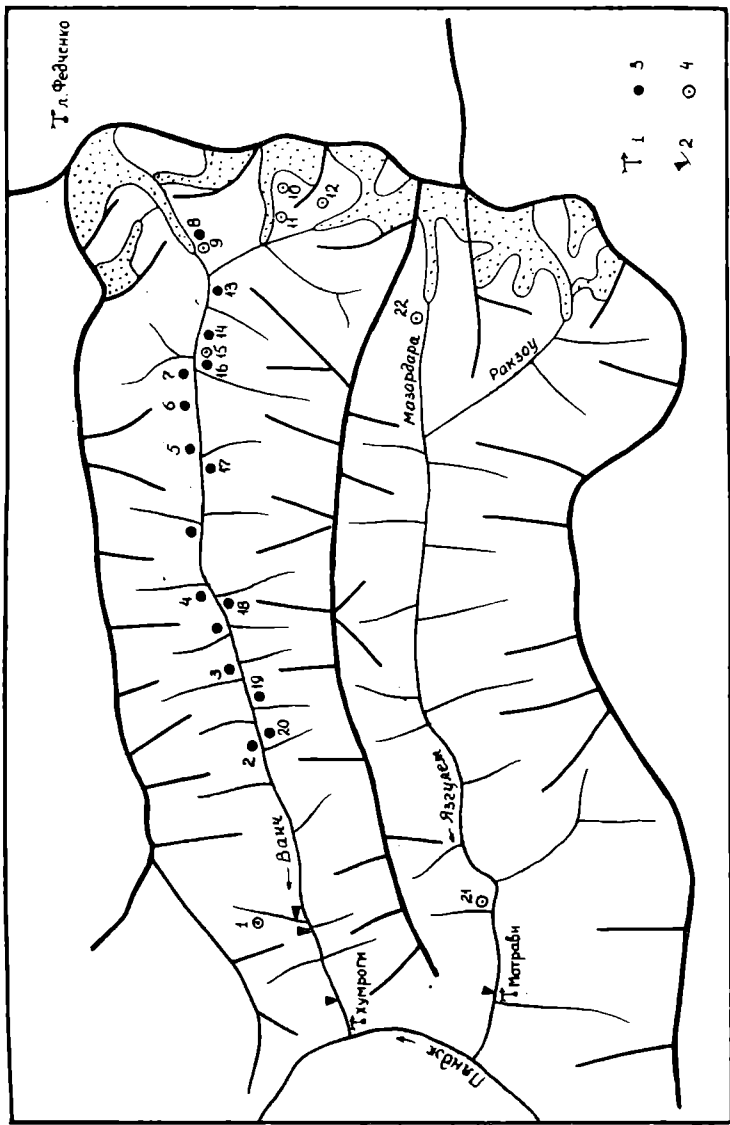


Рис. 32. Схема расположения гидрометеорологических станций, постов и суммарных осадков в районе ледников.
1 — действующие метеорологические станции и посты;
2 — действующий гидрологический пост, 3 — слегомерный пункт, 4 — суммарный осадкометр.

ТАБЛИЦА II

СПИСОК ГИДРОМЕТЕОРОЛОГИЧЕСКИХ СТАНЦИЙ И ПОСТОВ В РАЙОНЕ ЛЕДНИКОВ

№	Название реки, в бассейне которой расположена станция	Название станции или поста	В чём ведении находится	Абсолютная высота, м	Дистанция от озера, км	Период наблюдений, годы						дополнительные	
						уровень воды		сток воды		сток насосов		толщина снега	
						4	3	5	6	7	8	11	14
1	Ванс	гп Ванс	УГМС ТаджССР	1750	1920	1932—1962	1934—1962	1940, 1942, 1943, 1947, 1948, 1950—1962	1951—1962	1953—1976	1955—1976	1956—1976	—
2	Гуфуф	гп Рокарв	УГМС ТаджССР	1750	59,8	1951—1962	—	1963—1976	—	1963—1976	1963—1976	1956—1976	—
3	Ванс	гмсг Хумроги	УГМС ТаджССР	1740	2060	1936—1976	1963—1976	1940, 1962, 1976	—	1938, 1940, 1962, 1976	—	1947—1950, 1952—1976	—
4	Ягулем	мп, гп Могравин	УГМС ТаджССР	1710	1940	1934—1976	1940—1976	—	—	—	—	1942—1943, 1950—1976	—
5	Ледник	гмсг Ледник Федченко	УГМС ТаджССР	4170	—	—	—	—	—	—	1933—1976	1933—1976	Радиационный баланс с актинометрическими наблюдениями: 1934—1976

ТАБЛИЦА III
СПИСОК СУММАРНЫХ ОСАДКОМЕРОВ И СНЕГОМЕРНЫХ ПУНКТОВ В РАЙОНЕ ЛЕДНИКОВ

№ п/п	Название бассейна и номер осадкомера или снегопункта	Местоположение	Абсо- лютная высота, м	Экспозиция склона	Период наблюдений, годы
					1
2	3	4	5	6	
1	Чапдара (бассейн р. Гуфуфа, Ванч), ос 87	Правый берег р. Чапдара, у летника	2800	В	1965—1976
2	Ванч, сп 4а	В верхней части кишл. Потов	1970	гориз.	1957—1976
3	Ванч, сп 5	В 0,6 км ниже кишл. Техарв	2040	гориз.	1952—1976
4	Ванч, сп 6(две площадки)	кишл. Ширговад	2070	гориз.	1952—1976
5	Ванч, сп 10	В 0,2 км ниже кишл. Мургутга	2200	гориз.	1952—1976
6	Ванч, сп 11	кишл. Вань-Вань	2260	гориз.	1952—1976
7	Ванч, сп 12	кишл. Вань-Вань-Боло	2300	гориз.	1952—1976
8	Ванч, сп 17	Левая боковая морена ледника Географического общества	2660	гориз.	1962—1976
9	Ванч, ос 47	Левая боковая морена ледника Географического общества, в 0,8 км ниже его конца	2620	С	1958—1976
10	Абдукагор (бассейн р. Ванча), ос 58	На склоне у левого притока ледника Медвежий	3640	С	1961—1976
11	Абдукагор (бассейн р. Ванча), ос 57	На левой боковой морене ледника Медвежий в 2,2 км выше устья р. Дустироза	3300	С	1961—1976
12	Абдукагор (бассейн р. Ванча), ос 178	На правой боковой морене ледника Шумный	4500	Ю	1965—1976
13	Ванч, сп 16	Летник Равак	2520	гориз.	1962—1976
14	Ванч, сп 15	В 0,5 км выше кишл. Поймазар	2430	гориз.	1952—1976
15	Ванч, ос 16	кишл. Поймазар	2420	гориз.	1954—1976
16	Ванч, сп 14	кишл. Поймазар	2360	гориз.	1952—1976
17	Ванч, сп 9а	кишл. Рованд	2190	гориз.	1963—1976
18	Ванч, сп 8	кишл. Гумаст	2150	гориз.	1952—1976
19	Ванч, сп 5а	кишл. Чихох	1990	гориз.	1963—1976
20	Ванч, сп 4	кишл. Джовид	1960	гориз.	1957—1976
21	Язгулем, ос 17	кишл. Джамак	2030	гориз.	1955—1976
22	Мазардара (бассейн р. Язгулема), ос 104	В 1 км ниже конца Язгулемского ледника	3600	Ю	1968—1976

ТАБЛИЦА IV

ЭКСПЕДИЦИОННЫЕ И СТАЦИОНАРНЫЕ ИССЛЕДОВАНИЯ ЛЕДНИКОВ

№ п/п	Номер ледника по схеме	Время про- ведения работ	Характеристика (состав) provеденных исследований	Организация, произ- водившая работы	№ источ- ника по табл. V
1	2	3	4	5	6
1	84—94 (Язгулем)	1909	Отряд Н. И. Косиненко из долины Бартанга перевалил в долину р. Ракзоу и впервые посетил ледник Ракзоу	РГО	34
2	84—94 (Язгулем)	1915	Посещение и описание ледника Ракзоу	»	9
3	96—99 (Ванч)	1916	Описание ледника Географического общества и верховьев долины р. Ванча	»	4, 7
4	96—99, 118, 123—126 (Ванч), 62, 84—94 (Язгулем)	1928	Полуинструментальная съемка ледников Географического общества и Красноармейский (Ванч) и глазомерная съемка ледников Медвежьего, Абдукагорского, (Ванч) и Язгулемского и Ракзоу (Язгулем)	АН СССР	5
5	Долины рек Ванча и Яз- гулема, ледники 96— 99, 118 (Ванч) и 62, 84—94 (Язгулем)	1948—1949, 1950	Маршрутное исследование и со- ставление карты-схемы оледенения бассейнов, полустационарные иссле- дования на отдельных ледниках (по- верхностное таяние, движение, изу- чение микроклиматических условий ледников и ледниковых районов)	Геогр. фак-т МГУ	21, 22 23, 24, 25
6	118 (Ванч)	VII 1961— —X 1962	Тахеометрическая съемка конца ледника, измерения скорости движе- ния льда, аблации, гидрологические измерения	УГМС ТаджССР	50
7	123—126 (Ванч)	IX 1961	Отбор проб по многолетнему раз- резу фирновой толщи в районе пе- ревала на ледник Федченко для изотопного анализа	Отдел гляциол. ИМАН УзССР	28
8	96—99 (Ванч)	IX 1961	Тахеометрическая съемка фрон- тальной линии ледникового языка	Отдел гляциол. ИМАН УзССР	
9	96—99, 118 (Ванч)	1962—1976	Ежегодные теодолитные съемки положения фронта ледников	УГМС ТаджССР	33, 46
10	118 (Ванч)	V—VII 1963	Гидрологические работы в связи с быстрой подвижкой ледника и обра- зованием подпрудного озера, изме- рения скорости продвижения фронта ледника	»	51
11	(118 (Ванч))	V, IX 1963	Рекогносцировочное обследование ледника в период подвижки, изме- рение скорости движения льда	Отдел гляциол. ИГАН	12, 53 56
12	118 (Ванч)	1964—1967	Ежегодные полустационарные гля- циологические и геоморфологические исследования (измерения скорости движения льда и аблации, фототео- долитные съемки, эпизодические из- мерения температуры льда, опыты по искусенному усилению таяния льда и снега, балансовые наблюде- ния в фирновой области (1965 г.) и др.)	То же	1, 2, 13, 16, 19, 31, 45
13	96—99, 109 (Ванч)	1965	Аэровизуальные и маршрутные ис- следования, гидрометеорологические наблюдения, измерение скоростей движения льда	»	14, 42, 60
14	Реки Абдукагор и Ванч	1964, 1965	Гидрологические наблюдения на р. Абдукагор и на замыкающем створе ледника Географического об- щества	Отдел гляциол. ИГАН	36, 37
15	р. Дараймотравн (бас- сейн р. Язгулема)	1967	Гидрологические наблюдения	Памирский гидролог. отряд ИГАН	35, 37
16	118 (Ванч)	1968—1976	Комплексные полустационарные исследования: гляцио-геоморфологи- ческие, гидрологические, актиномет- рические и метеорологические на- блюдения, повторные фототеодолит- ные съемки, измерения скорости дви- жения льда и аблации, плотности льда, толщины ледника гравиметри- ческим методом (1969 г.)	Памирская высоко- горная экспед. отдела гляциол. ИГАН	6, 10, 16, 17, 19, 20, 49
17	96—99 (Ванч)	VII—IX 1968, VII—IX 1969	Комплексные гляциологические ис- следования: балансово-градиентные, гидрологические измерения, альбе- досъемка, теплофизические измере-	Лаборатория гля- циол. ИГиГАН УзССР	29, 47, 48, 54, 59

Продолжение таблицы IV

№ п/п 1	Номер ледника по схеме 2	Время про- ведения работ 3	Характеристика (состав) provеденных исследований 4	Организация, произ- водившая работы 5	№ источ- ника по табл. V 6
18	Верховья долин рек Ван- ча и Язгулема	IX 1968	ния на контакте лед—морена, на- блюдения за движением ледника, таянием, испарением и фильтрацией в снежно-фирновой толще, шаропи- лотные и др. наблюдения Аэрофотосъемка	По заказу отдела гляциол. ИГАН	
19	118 (Ванч)	VIII 1969	Определение теплофизических свойств и литологического состава моренного покрова Аэровизуальное дешифрирование аэрофотоснимков с целью каталоги- зации ледников	Лаборатория гля- циол. ИГиГАН УзССР Памирская высо- когорная экспед. отдела гляциол. ИГАН	
20	Оледенение бассейнов рек Ванча и Язгулема	VIII 1972		To же	
21	Ледники бассейнов рек Абдулагора, Дустироза, Дараисунгата и Даран- седа	1972, 1974	Маршрутное обследование и на- земное дешифрирование аэрофото- снимков ледников		
22	118 (Ванч)	V—IX 1973	Аэровизуальные и наземные на- блюдения за подвижкой ледника, по- вторные фототеодолитные съемки, измерения скоростей движения льда и фронта ледника, гидрологические наблюдения	»	18, 20
23	118 (Ванч)	V—IX 1973	Гидрологические наблюдения на подпруженном ледником Медвежьим озере и на р. Абдулагоре ниже лед- ника	УГМС ТаджССР	1, 52, 57
24	96—99 (Ванч)	VI—VIII 1974	Измерения скорости движения льда и изменений высоты поверхно- сти языка ледника	Отдел гляциол. Ин-та геол. АН ТаджССР	30
25	96—99 (Ванч)	VI—VIII 1975, VI—IX 1976	Измерения скорости движения льда и изменения высоты поверхно- сти языка ледника, изучение темпе- ратурного режима воздуха и тая- ния льда под моренным покровом	Лаборатория гля- циол. Отдела ох- раны и рациональ- ного использова- ния природных ресур- сов АН ТаджССР	58
26	123—126 (Ванч)	VII—IX 1976	Измерения скорости движения концевой части ледника	To же	

ТАБЛИЦА V

СПИСОК РАБОТ, СОДЕРЖАЩИХ СВЕДЕНИЯ О ЛЕДНИКАХ

№ п/п	Номер ледника по схеме и название бассейна	Автор и наименование работы	Место издания работы	Краткая аннотация
1	2	3	4	5
1	98, 118 (Ванч)	Бажев А. Б. Закономерности таяния искусственно запыленной поверхности ледника	«Материалы гляциол. исслед. Хроника, обсуждения», 1973, вып. 21	Результаты опытов в фирновых областях ледников Медвежьего и Кашал-Аяк
2	Оледенение Памиро-Алая	Проблемы современного оледенения Памиро-Алая. Авт.: А. Б. Бажев, Г. М. Варнакова, В. М. Котляков, О. В. Рототаева	«Труды САНИГМИ», 1974, вып. 14 (95)	
3	Оледенение Язгулем-Рушанского района	Бархатов Б. П. Рельеф и современное оледенение Язгулем-Рушанского района (Западный Памир)	«Изв. ВГО», май—июнь 1950, т. 82, вып. 3	Описание маршрута в верховья р. Ванча
4	Верховья долины р. Ванча	Беляев Я. И. На ледниках Гармо	«Изв. РГО», 1923, т. 5, вып. 1	То же
5	Верховья долины р. Ванча	Беляев Я. И. Схематическая карта реки и ледника Гармо и истоков р. Ванч	«Изв. ВГО», 1928, вып. 1	
6	118 (Ванч)	Берикашвили В. Ш., Мачерет Ю. Я. Определение мощности льда и рельефа подледного ложа горных ледников методом подбора с помощью ЭВМ по данным гравиметрических измерений	«Материалы гляциол. исслед. Хроника, обсуждения», 1974, вып. 24	Определение толщины льда на леднике Медвежьем на трех поперечных профилях гравиметрическим методом
7	96—99, 118	Беседин П. И. Дарваз	«Изв. РГО», 1923, т. 5, вып. 1	
8	Средняя Азия	Бугаев В. А. [и др.]. Синоптические процессы Средней Азии	Ташкент, Изд. АН УзССР, 1957	
9	84—94 (Язгулем)	Букинич В. А. Путь из долины Бартанга в долину Язгулема через перевал Карбуфордж	«Изв. Турк. отд. РГО», 1916, т. 12, вып. 2	Первое посещение и описание ледника Ракзоу
10	118 (Ванч)	Волошина А. П. Внешний энергообмен ледника Медвежий на Памире	«Материалы гляциол. исслед. Хроника, обсуждения», 1976, вып. 26	
11	118 (Ванч)	Глазырин Г. Е., Соколов Л. Н. Возможность прогноза характеристик паводков, вызываемых прорывами ледниковых озер	То же	О прорыве озера, образовавшегося при подвижке ледника Медвежьего
12	118 (Ванч)	Долгушкин Л. Д. и др. О периодических быстрых подвижках ледника Медвежьего на Памире	«Изв. АН СССР. Сер. геогр.», 1964, № 5	
13	96—99, 118, 171 (Ванч)	Долгушкин Л. Д., Осипова Г. Б. Новые данные о пульсациях современных ледников	«Материалы гляциол. исслед. Хроника, обсуждения», 1971, вып. 18	О подвижках ледников Географического общества, Медвежьего и Равак
14	Оледенение Средней Азии	Долгушкин Л. Д., Осипова Г. Б., Рототаева О. В. Морфометрическая характеристика современного оледенения Средней Азии	«Материалы гляциол. исслед. Хроника, обсуждения», 1972, вып. 20	
15	118 (Ванч)	Долгушкин Л. Д., Осипова Г. Б. Пульсации современных ледников и проблема их прогнозирования на примере ледника Медвежьего (Западный Памир)	«Изв. АН СССР. Сер. геогр.», 1972, № 2	Режим ледника Медвежьего между подвижками и прогноз его следующей подвижки
16	118 (Ванч)	Долгушкин Л. Д. и др. Влияние золовой запыленности ледников и поверхностной морены на таяние ледников Средней Азии	«Материалы гляциол. исслед. Хроника, обсуждения», 1972, вып. 20	Содержание золового и моренного материала в поверхностном слое ледника Медвежьего
17	118 (Ванч)	Долгушкин Л. Д., Осипова Г. Б. Пульсирующие ледники	«Природа», 1974, № 2	О подвижках ледника Медвежьего и режиме ледника
18	118 (Ванч)	Долгушкин Л. Д., Осипова Г. Б., Стулов В. В. Подвижка ледника Медвежьего в 1973 г. и основные черты предшествовавшей ей эволюции ледника	«Материалы гляциол. исслед. Хроника, обсуждения», 1974, вып. 24	Подвижка ледника Медвежьего в 1973 г. и режим ледника между подвижками 1963 и 1973 гг.

№ п/п	Номер ледника по схеме и название бассейна	Автор и наименование работы	Место издания работы	Краткая аннотация
1	2	3	4	5
19	118 (Ванч)	Долгушин Л. Д., Осипова Г. Б., Рототаева О. В. Опыты по искусственному усилению таяния снега и льда радиационным методом	«Материалы гляциол. исслед. Хроника, обсуждения», 1976, вып. 27	Опыты по искусственноому усилению таяния льда на поверхности ледника Медвежьего
20	118 (Ванч)	Долгушин Л. Д., Осипова Г. Б. Баланс пульсирующего ледника Медвежьего как основа прогнозирования его периодических подвижек	«Материалы гляциол. исслед. Хроника, обсуждения», 1978, вып. 32	Результаты исследований на леднике с 1963 по 1976 г.
21	96—99 (Ванч)	Забиров Р. Д. Ледник Географического общества	«Побежденные вершины. Ежегодник советского альпинизма. 1950». М., Географгиз, 1950	
22	96—99, 118 (Ванч), 62, 84—94 (Язгулем)	Забиров Р. Д. На ледниках истоков Ванча и Язгулема	«Побежденные вершины. Ежегодник советского альпинизма. 1951». М., Географгиз, 1952	Результаты обследования и полустационарных измерений скорости и аблации
23	96—99, 118, 123—126 (Ванч)	Забиров Р. Д. Оледенение верховьев реки Ванч	«Учен. зап. МГУ. Геогр.», 1952, т. 5, вып. 160	
24	Оледенение Памира	Забиров Р. Д. Новые данные о современном и древнем оледенении Памира	«Вестн. МГУ», 1953, № 6	
25	В целом по бассейнам рек Ванча и Язгулема	Забиров Р. Д. Оледенение Памира	М., Географгиз, 1955	Сводка об оледенении Памира с каталогом ледников, описание оледенения бассейна рек Ванча и Язгулема
26	Оледенение Средней Азии	Забиров Р. Д. Современное состояние ледников Средней Азии	«Информ. бюлл. Междунед. комитета по проведению МГГ при Президиуме АН СССР», 1958, № 5	Общие замечания об эволюции ледников Памира, Тянь-Шаня, Алтая
27	Оледенение Средней Азии	Забиров Р. Д. Оледенение Средней Азии	«Работы Тянь-Шаньской высокогорн. физ.-геогр. станции. Гляциол.», 1958, вып. 1	Положение снеговой линии в горах Средней Азии
28	123—126 (Ванч)	Израэль Ю. А. и др. О содержании трития в ледниках	ДАН, 1964, т. 156, № 5	Результаты анализа проб из фирновой толщи Абдукарагорского ледника
29	96—99 (Ванч)	Изучение оледенения в бассейне Амударья (отчет о работах 1968 и 1969 гг.).	Фонды ТашГУ, 1970	Результаты комплексных гляциологических исследований на леднике Географического общества
30	96—99 (Ванч)	Исследование пульсирующих ледников Таджикистана	Фонды АН ТаджССР, 1975	Измерения скорости движения льда и изменения высоты поверхности в 1975 и 1976 гг.
31	118 (Ванч)	Казанский А. Б. Результаты обследования области питания ледника Медвежий	Геофиз. бюлл., 1964, № 15	
32	Оледенение Средней Азии	Калесник С. В. Очерки гляциологии	М., Географгиз, 1963	Возникновение, развитие, деятельность и распространение современных ледников
33	96—99 (Ванч)	Канаев Л. А. и др. Колебания ледников Средней Азии в последние десятилетия	«Труды САНИГМИ», 1974, вып. 14 (95)	Изменение положения конца ледника Географического общества
34	84—94 (Язгулем)	Косиненко Н. И. По тропам, скалам и ледникам Алая, Памира и Дарваза	«Изв. РГО», 1915, т. 1, вып. 1	Описание маршрута на ледник Ракзоу
35	В целом по бассейнам	Кеммерих А. О. Влияние ледников на изменчивость годового стока рек Памира и Памиро-Алая	«Материалы гляциол. исслед. Хроника, обсуждения», 1973, вып. 21	Режим стока рек Ванча и Язгулема
36	Река Абдукарагор и верховья р. Ванча	Кеммерих А. О. Режим стока ледниковых рек Ванча и Абдукарагора	«Материалы гляциол. исслед. Хроника, обсуждения», 1974, вып. 23	
37	В целом по бассейнам	Кеммерих А. О. Реки, ледники, озера	М., «Мысль», 1977	Режим стока рек Ванча и Язгулема
38	118 (Ванч)	Коновалов В. Г. Искусственное усиление таяния снега и льда в горах	«Изв. ВГО», 1963, т. 95, вып. 4	Результаты опытов на леднике Медвежьем
39	118 (Ванч)	Коновалов В. Г. Проблема классификации и пространственная изменчивость альбедо однородной поверхности ледников в период аблации	«Труды САНИГМИ», 1969, вып. 44 (59)	То же

Продолжение таблицы V

№ п/п	Номер ледника по схеме и название бассейна	Автор и наименование работы	Место издания работы	Краткая аннотация
1	2	3	4	5
40	118 (Ванч)	Коновалов В. Г. Измерение абляции ледника на стоковой площадке	«Труды САНИГМИ», 1970, вып. 56 (71)	Результаты измерения абляции на языке ледника
41	хр. Академии Наук	Корженевский Н. Л. О морфологии и гипсометрии хребта Академии Наук СССР	«Труды ин-та геол. УзбАН», 1948, вып. 2	
42	96—99 (Ванч)	Лебедева И. М. Испарение с ледников Средней Азии	«Материалы гляциол. исслед. Хроника, обсуждения», 1972, вып. 20	Результаты наблюдений на языке ледника Географического общества
43	Памир	Морозова М. И., Петровская М. А., Чернышева О. Н. Особенности воздушных течений над Памиром и Западным Тянь-Шанем	«Метеорология и гидрология», 1959, № 9	
44	Памир	Марков К. К. История рельефа и оледенения Памира	В кн.: 5 лет по Памиру. М.—Л., Изд. АН СССР, 1930	
45	118 (Ванч)	Мусоев З. Химический состав талых вод ледника Медвежий на Памире	«Материалы гляциол. исслед. Хроника, обсуждения», 1976, вып. 25	
46	96—99, 118 (Ванч)	Наблюдения за колебаниями ледников	Фонды УГМС ТаджССР	Результаты ежегодных тедолитных съемок положения фронта ледников
47	96—99 (Ванч)	Назаров И. У. Инфильтрация талой воды в снежно-firновую толщу	В кн.: Современное оледенение в бассейне р. Зарафшан. Ташкент, «ФАН», 1972	
48	96—99 (Ванч)	Ни А. А. Некоторые результаты аэрологических наблюдений на леднике РГО в июле-августе 1969 г.	«Труды аспирантов ТашГУ (физика и геология)», Ташкент, 1971	Результаты измерений в фирновой области ледника Географического общества
49	118 (Ванч)	Осипова Г. Б. Скорость движения пульсирующего ледника Медвежий	«Труды САНИГМИ», 1974, вып. 14 (95)	
50	118 (Ванч)	Отчет о гляциологических исследованиях на л. Медвежьем в 1961—1962 гг.	Фонды УГМС ТаджССР, 1963	Тахеометрическая съемка конца ледника, скорость движения, абляция
51	118 (Ванч)	Отчет о работах на леднике Медвежьем, проведенных в связи с быстрым его наступлением в 1963 г.	Фонды УГМС ТаджССР, 1963	Гидрологические измерения, измерения скорости продвижения фронта
52	118 (Ванч)	Отчет о работах на леднике Медвежьем в связи с быстрым его наступлением в 1973 г.	Фонды УГМС ТаджССР, 1973	Результаты гидрологических наблюдений на подпруженном озере, а также до, во время и после его прорыва на р. Абдукаре
53	118 (Ванч)	Рототаев К. П. Ледник Медвежий бунтует	«Побежденные вершины. Ежегодник советского альпинизма, 1961—1964». М., Географиз, 1966	
54	р. Ванч, 96—99 (Ванч)	Садыков К. Г. Баланс морен, твердый сток и рельефообразующая деятельность современных ледников Средней Азии	Автореф. дисс. на соискание учен. степени канд. геогр. наук. М., 1973	
55	Реки Ванч и Яэгулем	Сауков А. А. К геологии и геохимии Яэгулема и Ванча	«Труды Тадж. компл. экспед., 1932 г.», Л., 1934, вып. 14	
56	118 (Ванч)	Сватков Н. М. Перемещение льда в леднике Медвежий (Западный Памир)	«Материалы гляциол. исслед. Хроника, обсуждения», 1964, вып. 10	Измерения скорости движения глыбы льда во время подвижки ледника
57	118 (Ванч)	Соколов Л. Н., Янбулат А. А. Наступление ледника Медвежьего на прорывы подпруженного озера в 1973 г.	«Изв. АН ТаджССР. Отд. физ.-мат. и геол.-хим. наук», 1974, № 3	
58	96—99 (Ванч)	Соколов Л. Н., Янбулат А. А. Движение сложного долинного ледника Русского географического общества (РГО)	В печати	
59	96—99 (Ванч)	Тихановская А. А. К вопросу о таянии льда под моренным покровом	«Труды САНИГМИ», 1970, вып. 56 (71)	Результаты работ на языке ледника Географического общества

№ п/п	Номер ледника по схеме и название бассейна	Автор и наименование работы	Место издания работы	Краткая аннотация
				1 2 3 4 5
60	109 (Ванч)	Хмелевской И. Ф. Измерение глубины колодца на леднике Красноармейский	«Материалы гляциол. исслед. Хроника, обсуждения», 1968, вып. 14	
61	Памир	Чедия О. К. Основные этапы геологического развития Таджикистана в четвертичное время	«Уч. зап. САИГИМС», Ташкент, 1960, вып. 4	
62	118 (Ванч)	Чукалов Б. С. О причинах движения ледника Медвежьего	«Метеорология и гидрология», 1963, № 9	

СОДЕРЖАНИЕ

Предисловие	3
Деление Каталога ледников СССР на тома, выпуски и части	5
Список томов, выпусков и частей Каталога ледников СССР	7
Список принятых сокращений	8
Характеристика географического положения, морфологии, климатических условий и режима ледников	9
Рельеф	—
Гидрографическая сеть	10
Гидрологический режим	11
Климатические условия	12
Оледенение	14
Схемы расположения ледников	33

Основные таблицы Каталога ледников

Таблица I. Основные сведения о ледниках бассейна р. Ванча. Пояснения к таблице I	40
Таблица I. Основные сведения о ледниках бассейна р. Яэгулема. Пояснения к таблице I	58
Таблица II. Список гидрометеорологических станций и постов в районе ледников	76
Таблица III. Список суммарных осадкомеров и снегомерных пунктов в районе ледников	77
Таблица IV. Экспедиционные и стационарные исследования ледников	78
Таблица V. Список работ, содержащих сведения о ледниках	80

Каталог ледников СССР, том 14, вып. 3, части 11, 12

Редактор И. С. Якорь. Техн. редактор М. И. Брайнина. Корректор Г. С. Макарова

ИБ № 1015

Сдано в набор 22.12.77. Подписано в печать 7.07.78. М-09558. Формат 60×90 $\frac{1}{3}$.
Бум. тип. № 1. Лит. гарн. Печать высокая. Печ. л. 10,5. Уч.-изд. л. 13,72.
Тираж 310 экз. Индекс ГЛ-217. Заказ № 47. Цена 95 коп. Заказное. Гидрометеоиздат. 199053, Ленинград, 2-я линия, д. 23.

Типография издательства «Волгоградская правда».
г. Волгоград, Привокзальная площадь, Дом печати.